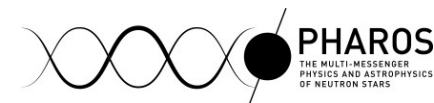


Kompakt csillagok állapotegyenlete

Barnaföldi Gergely Gábor, Jakovác Antal, Pósfay Péter

Támogatók: *NKFIH OTKA K120660, K123815, Wigner GPU Laboratórium
PHAROS CA16214, THOR CA15213 COST*

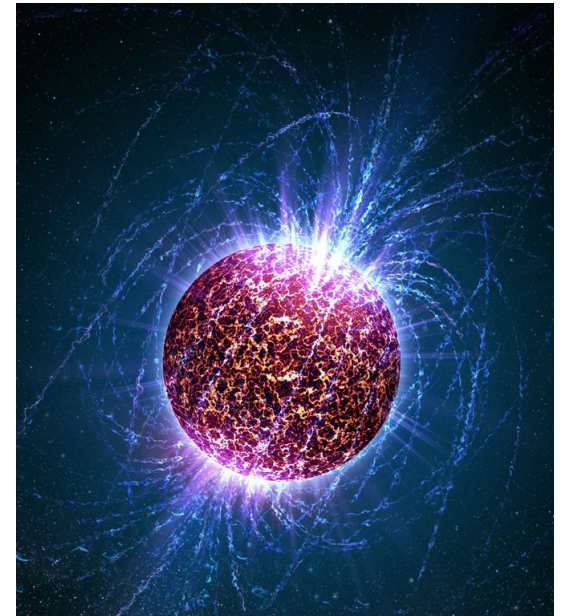
ELFT Részecskefizikai Iskola, Mátraháza, 2018. szeptember 5.



Tartalom

1. Rész: Kompakt csillagok kutatása

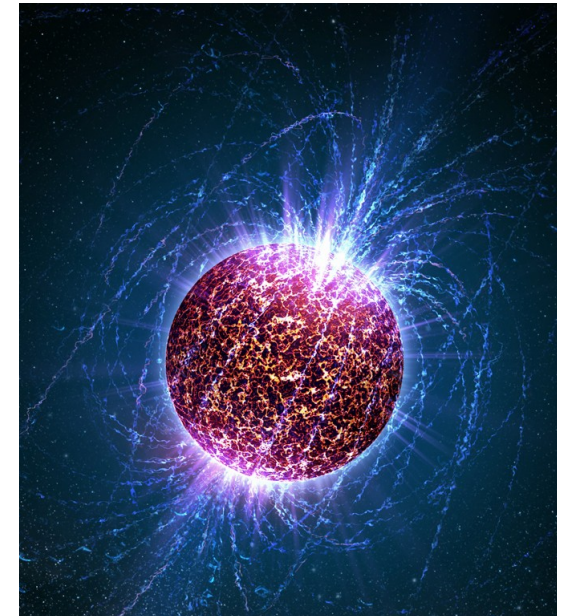
- Bevezető
 - Neutroncsillagok kialakulása, típusai
 - Mérföldkövek: rövid történeti áttekintés
- Kompakt csillagok elmélete
 - Kompakt csillagok megfigyelhető tulajdonságai
 - Az állapotegyenlet kapcsolata a tömeg-sugár diagrammal
- A szupersűrű anyag kutatása
 - Neutroncsillag modellek
 - Az erősen kölcsönható anyag fázisszerkezete
- A kompakt csillag kutatás jövője



Tartalom

2. Rész: Saját kutatások

- Kompakt csillagok anyagának vizsgálata FRG módszerrel
 - Bevezető, rövid elméleti áttekintés
 - Kölcsönható fermion-gáz modell
 - Az állapotegyenlet hatása a megfigyelhető mennyiségekre
 - Vizsgálatok Walecke modelleiben
- Kompakt csillagok vizsgálata Kaluza-Klein téridőben
 - Elméleti háttér, közelítések
 - Nem-kölcsönható és kölcsönható extra dimenziós modellek
 - Relevanciák, nem-Newtoni gravitációs modellek



1. Rész: Kompakt csillagok kutatása

Motiváció

Kezdetben valnának: tudományterületek

Gravitáció

- Numerikus gravitációs modellek
- Bespiráló kettősök
- Fekete lyukak
- Gravitációs hullámok

Asztrofizika

- Csillagfejlődés
- Elemek szintézis
- Rádiócsillagászat, pulzárok
- Röntgen/Gamma csillagászat
- Szupernovák

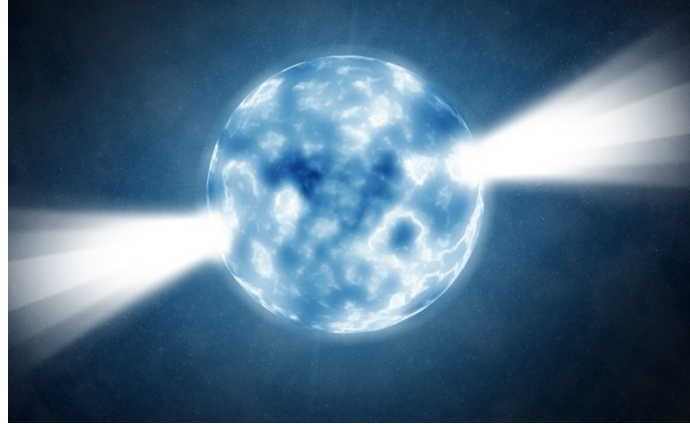
Magfizika

- Magmodellek
- Mag állapotegyenlet
- QCD anyag fázisai
- Kritikus pont keresése (BES)
- Nem-perturbatív modellek

...felfedezték a pulzárokat...

Gravitáció

- Numerikus gravitációs modellek
- Bespiráló kettősök
- Fekete lyukak
- Gravitációs hullámok



Asztrofizika

- Csillagfejlődés
- Elemek szintézis
- Rádiócsillagászat, pulzárok
- Röntgen/Gamma csillagászat
- Szupernovák

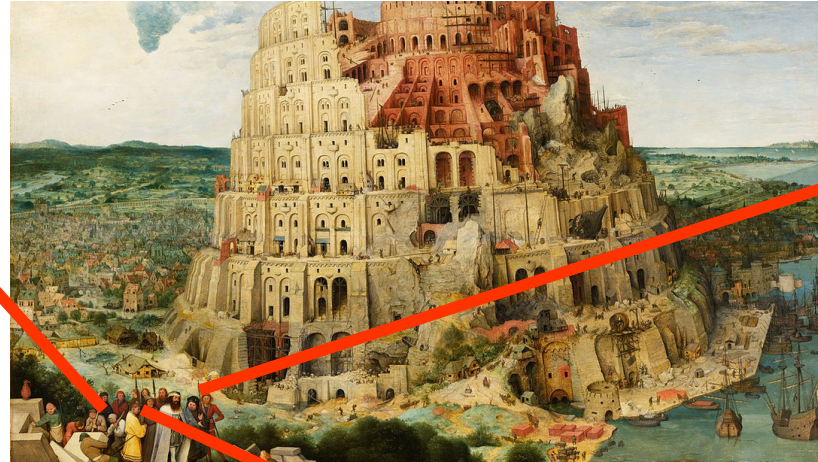
Magfizika

- Magmodellek
- Mag állapotegyenlet
- QCD anyag fázisai
- Kritikus pont keresése (BES)
- Nem-perturbatív modellek

Bábeli zűrzavar

Gravitáció

- Numerikus gravitációs modellek
- Bespiráló kettősök
- Fekete lyukak
- Gravitációs hullámok



Asztrofizika

- Csillagfejlődés
- Elemek szintézis
- Rádiócsillagászat, pulzárok
- Röntgen/Gamma csillagászat
- Szupernovák

Magfizika

- Magmodellek
- Mag állapotegyenlet
- QCD anyag fázisai
- Kritikus pont keresése (BES)
- Nem-perturbatív modellek

Égi segítség...

Gravitáció

- Numerikus gravitációs modellek
- Bespiráló kettősök
- Fekete lyukak
- Gravitációs hullámok



Asztrofizika

- Csillagfejlődés
- Elemek szintézis
- Rádiócsillagászat, pulzárok
- Röntgen/Gamma csillagászat
- Szupernovák

Magfizika

- Magmodellek
- Mag állapotegyenlet
- QCD anyag fázisai
- Kritikus pont keresése (BES)
- Nem-perturbatív modellek

Égi segítség...

ESF: 2009-2013, COST: 2013-2017

Gravitáció

- Numerikus gravitációs modellek
- Bespiráló kettősök
- Fekete lyukak
- Gravitációs hullámok



Asztrofizika

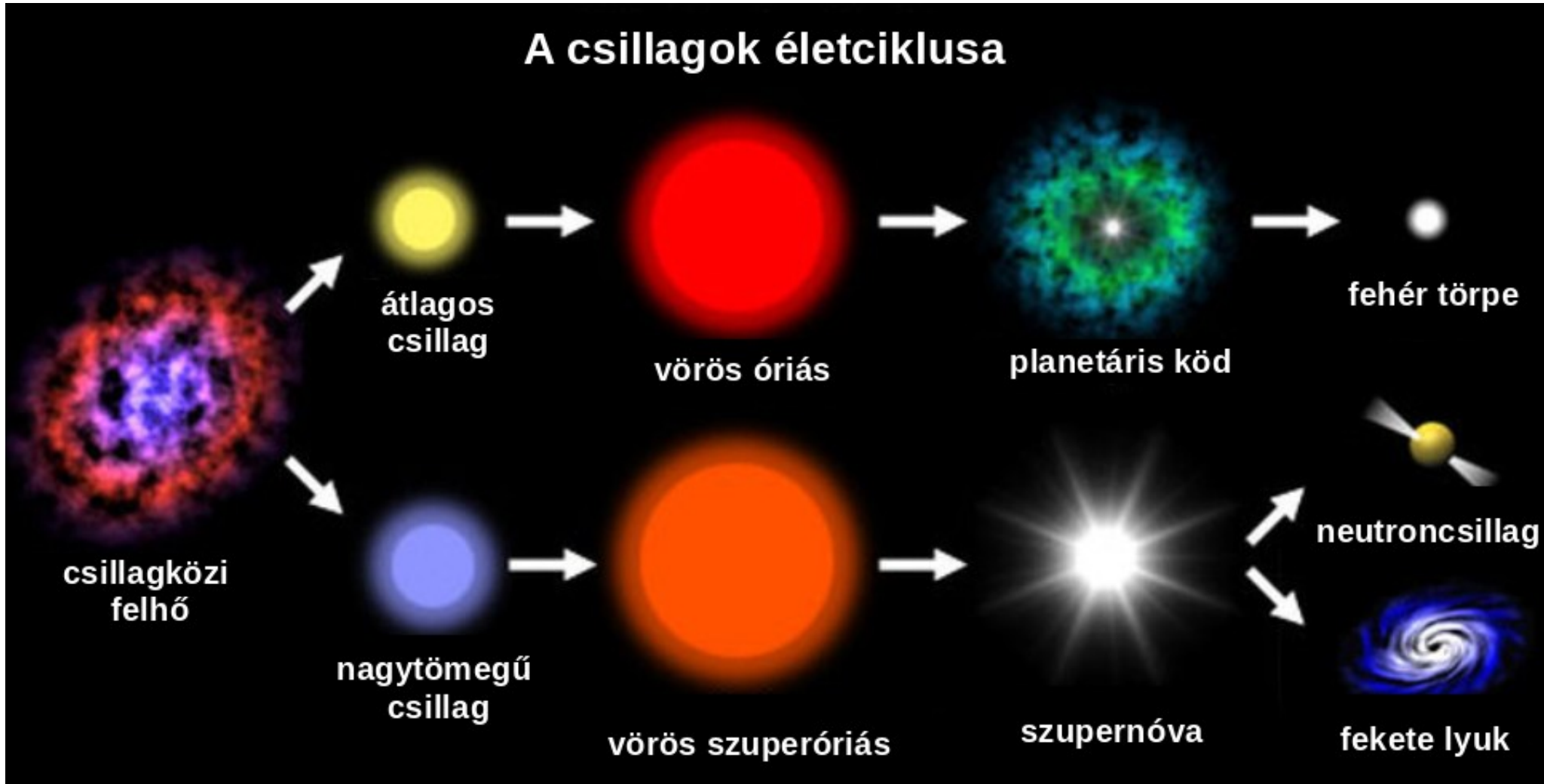
- Csillagfejlődés
- Elemek szintézis
- Rádiócsillagászat, pulzárok
- Röntgen/Gamma csillagászat
- Szupernovák

Magfizika

- Magmodellek
- Mag állapotegyenlet
- QCD anyag fázisai
- Kritikus pont keresése (BES)
- Nem-perturbatív modellek

Bevezető

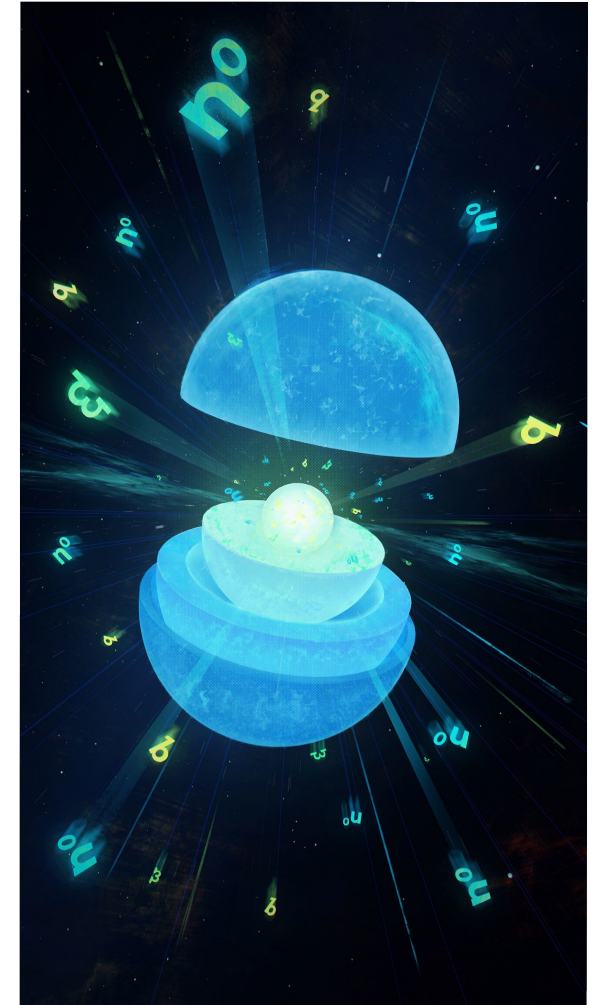
Kompakt csillag: a csillagélet végállapota



A kompakt csillag „állatkert”

Kompakt csillagok: a csillagélet végállapotai

- Fehér törpe (WD): fősorozati csillag magja, C & O, és degenerált e^-
- Pulzár/neutron csillagok (NS): magjuk maganyag (p^+, n, e^-)
- Magnetárok: nagy mágneses mezejű pulzárrok
- Hibrid neutroncsillagok: magjukban szabad kvarkok vannak
- Furcsa/ritka csillagok (Strange Star): neutroncsillag szabad ritka kvarkokkal vagy ritkaság tartalmú barionokkal (pl. Λ , etc...).
- Hibrid csillagok: neutron csillag magjában szabad kvarkokkal
- Bozon-csillagok: neutron csillag pion vagy kaon kondenzátummal
- Kvark csillagok: szabad kvarkokból álló csillag
- Preon csillag: (Standard model vagy SUSY részecskéket tartalmazó)
- DM csillag: sötét anyagot tartalmazó neutron csillag
- Extra dimenziós csillagok, Q-csillagok, fekete lyukak stb...



Mérföldkövek: rövid történeti áttekintés

(1915) Einstein: általános relativitáselmélet

(1916) Schwarzschild megoldás

(1932) Chadwick: neutron felfedezése:

(1933) W. Baade & F. Zwicky & L.D. Landau: neutroncsillag koncepció

(1939) Tollman–Oppenheimer–Volkov megoldás degenerált fermi gázra (p,n,e)

(1967) A. Hewish & J. Bell pulzárak felfedezése

(1974) A. Hewish & M. Ryle Nobel díj

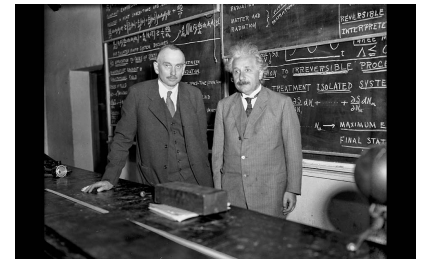
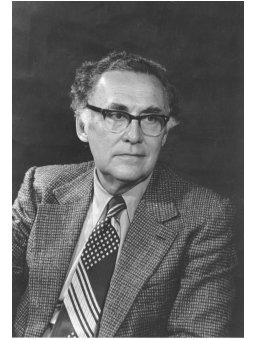
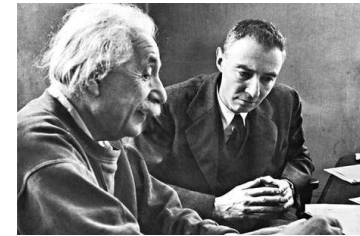
(1993) R.A. Hulse & J.H. Taylor Nobel díj (PSR1913+16)

(1999) HST neutroncsillag vizuális megfigyelése

(2010) Demorest (PSR J1614-2230), van Kerkwijk (PSR B1957+20)

(2014) Gyémánt WD vagy NS (PSR J2222-0137)

(2017) NSNS (GW170817) LIGO/VIRGO megfigyelés, Au & Pt

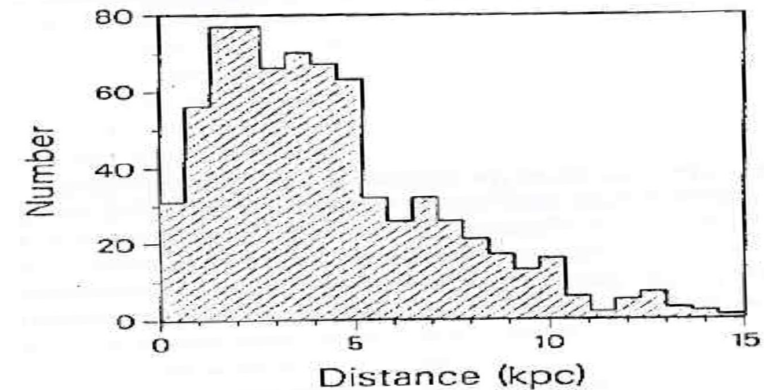
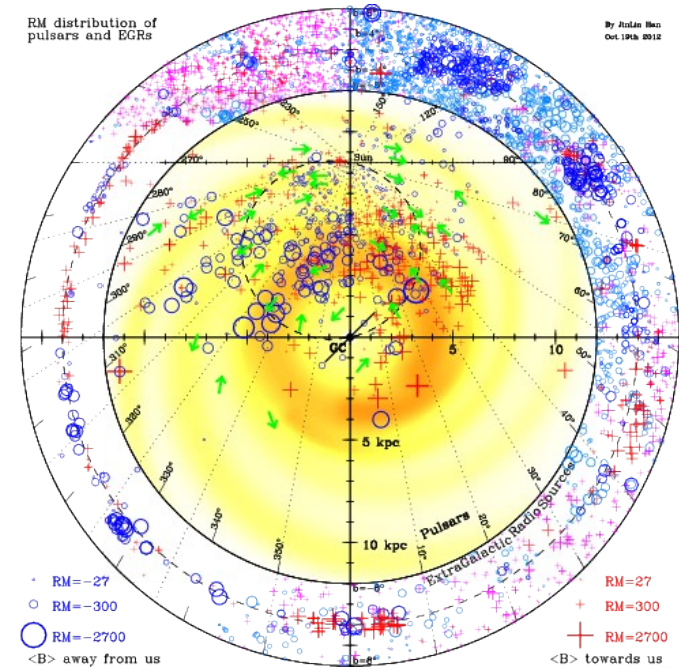
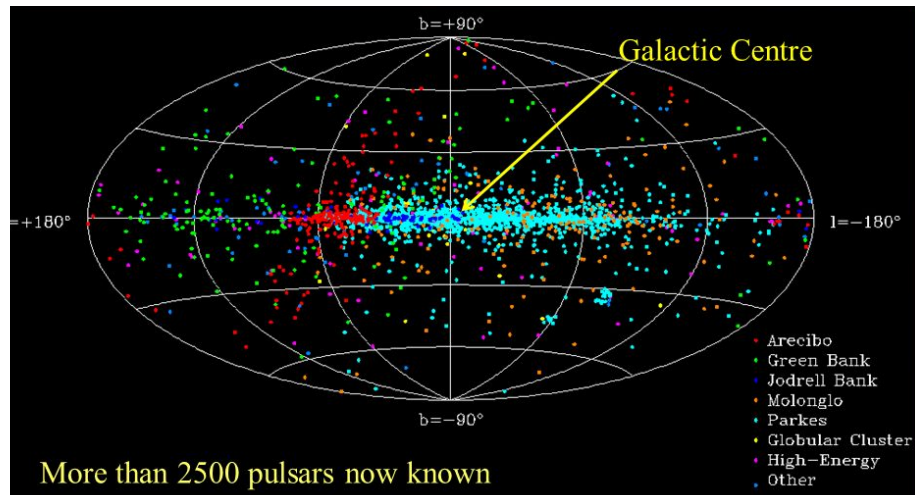


Kompakt csillagok elmélete

Pulzárak térbeli eloszlása

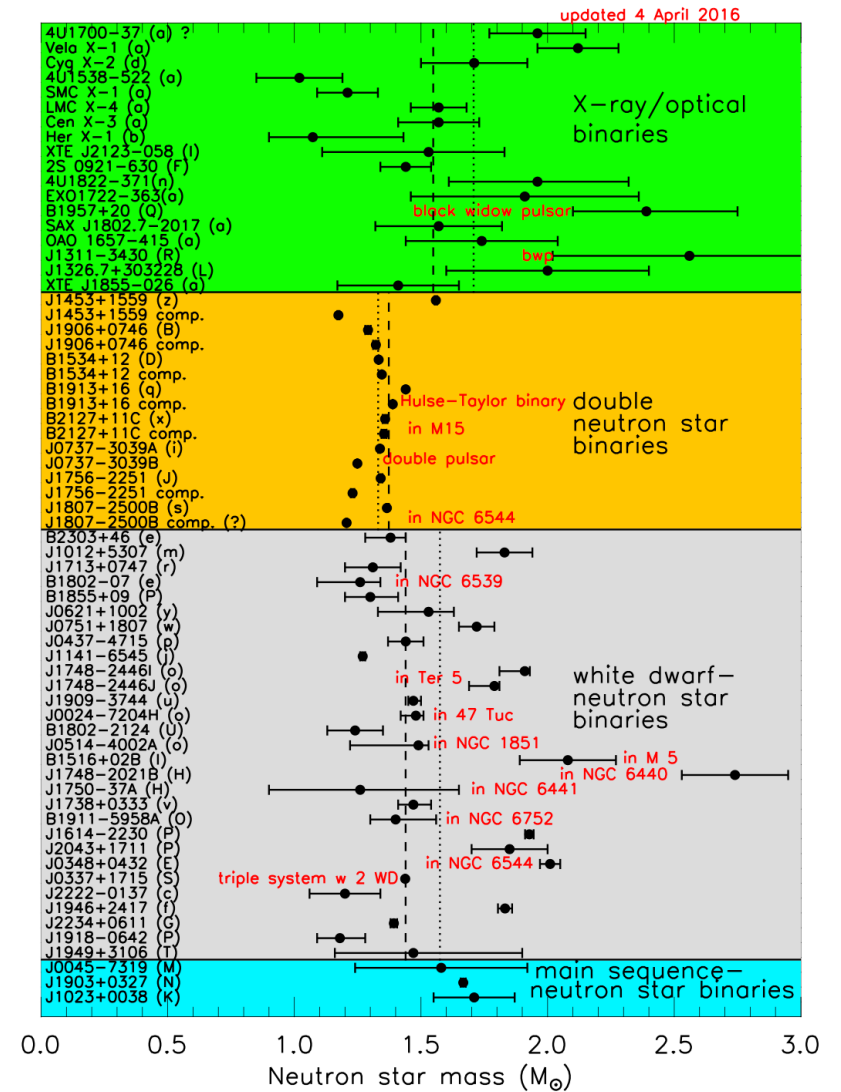
A Föld helyzetéből nézve

- a Galaxis sugarának 2/3 részénél
- az eloszlás korrelál a 10^{11} csillaggal
- becsülhetően 10^5 aktív pulzár van
- mintegy 2500 pulzár látszik
- elnyelődés a csillagközi anyagban



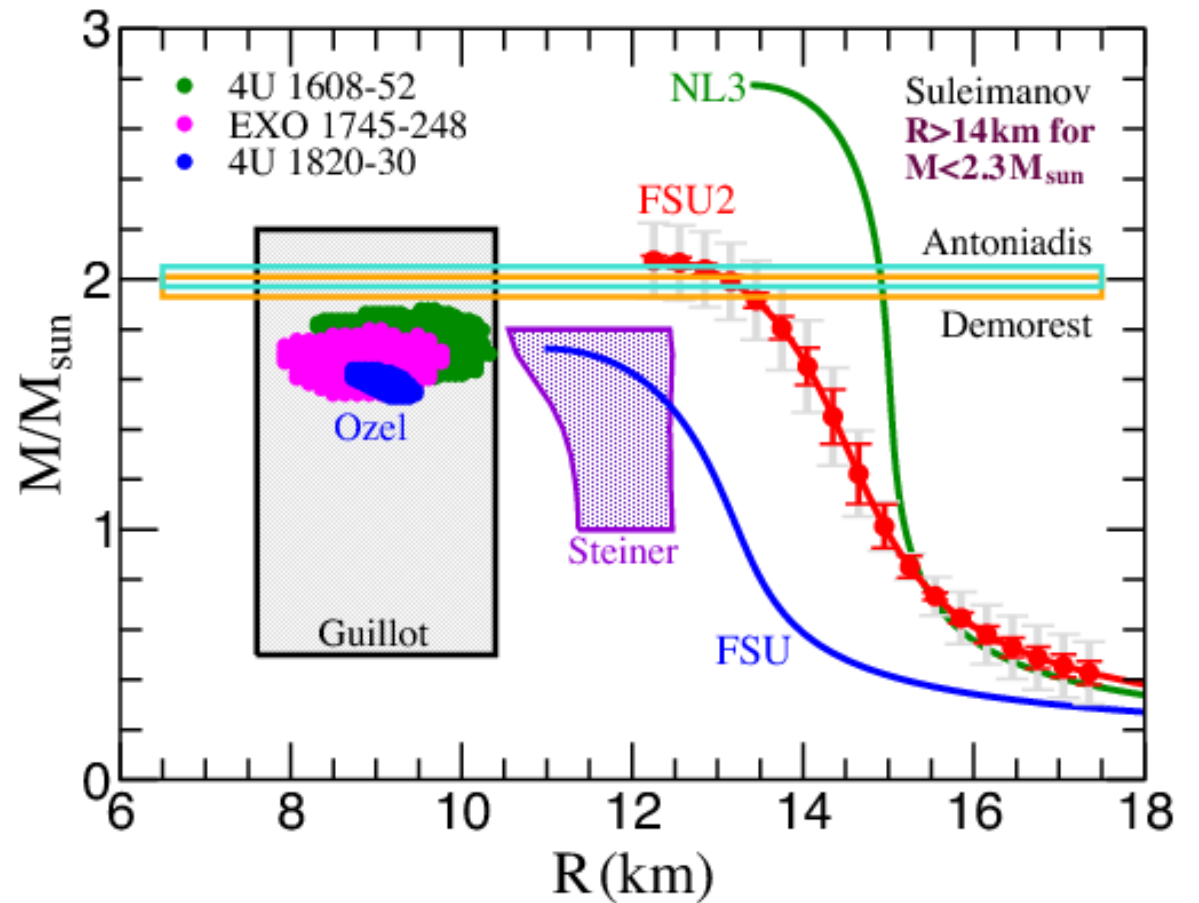
Megfigyelhető mennyiségek

- Kompakt csillagok tömege
 - Tipikus tömeg $\sim 1.4 M_{\odot}$
 - Legnagyobb tömeg: $\sim 2.0 - 2.4 M_{\odot}$



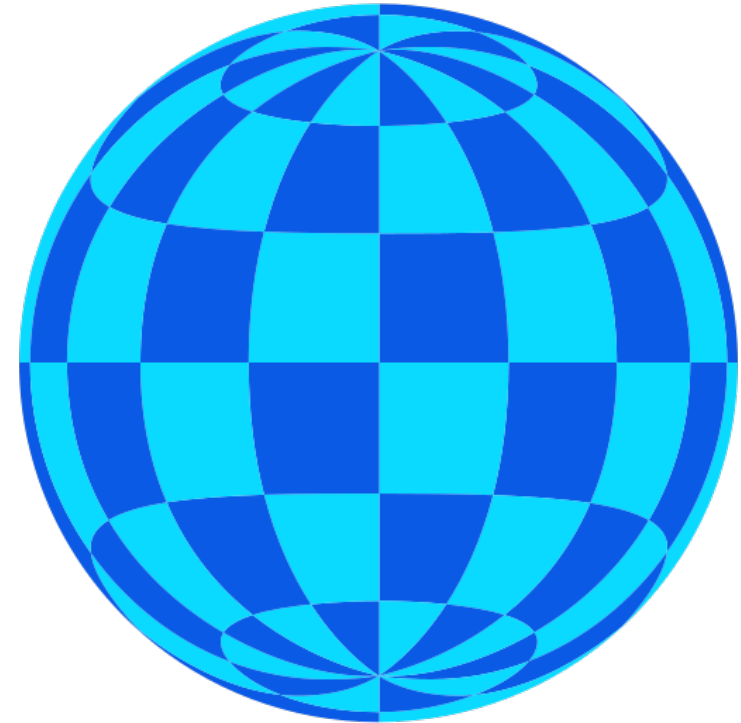
Megfigyelhető mennyiségek

- Kompakt csillagok tömege
 - Tipikus tömeg $\sim 1.4 M_{\text{sun}}$
 - Legnagyobb tömeg: $\sim 2.0 - 2.4 M_{\text{sun}}$
- Kompakt csillag mérete
 - Sugár $R \sim 10 \text{ km}$



Megfigyelhető mennyiségek

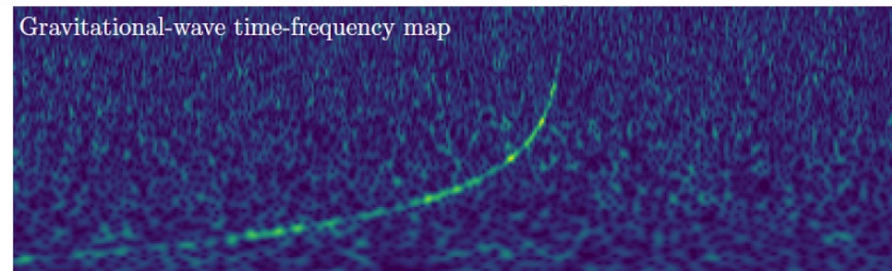
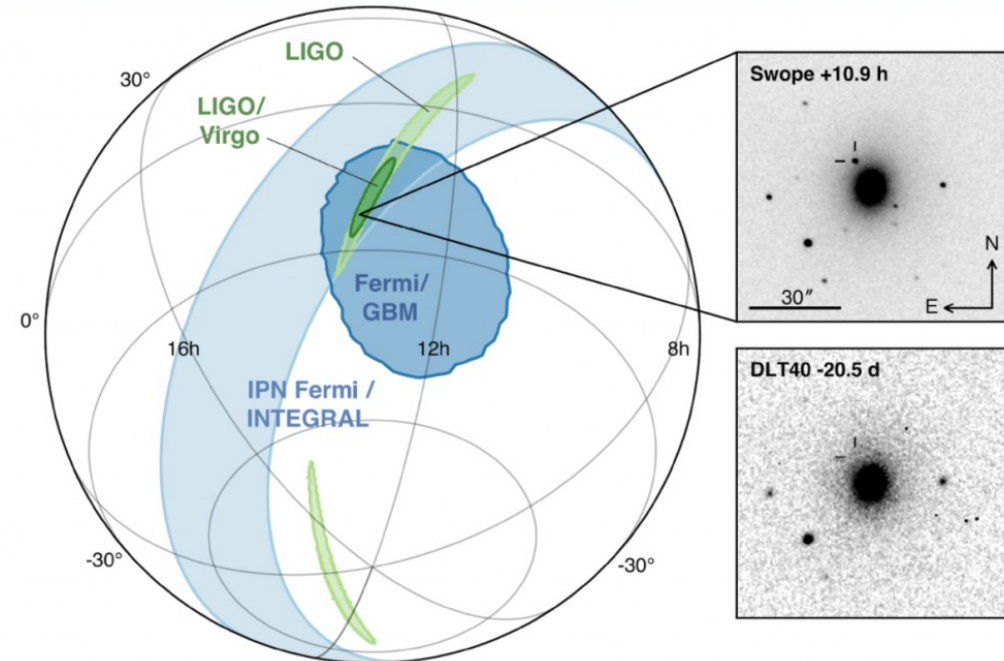
- Kompakt csillagok tömege
 - Tipikus tömeg $\sim 1.4 M$
 - Legnagyobb tömeg: $\sim 2.0 - 2.4 M$
- Kompakt csillag mérete
 - Sugár $R \sim 10 \text{ km}$
- Erősen gravitáló objektum
 - Schwarzschild sugár \sim méret
 - Felszíni gyorsulás $2 \times 10^{11} \text{ g}$



Name	M/M_{\odot}	R (km)	r_s (km)	$\bar{\rho}$ (g/cm ³)
N.s.	2	10	6	5×10^{14}
W.d.	1	5400	3	3×10^6
Sun	1	7×10^5	3	1.4
Jupiter	10^{-3}	7×10^4	3×10^{-3}	1.3
Earth	3×10^{-6}	6000	9×10^{-6}	5.5

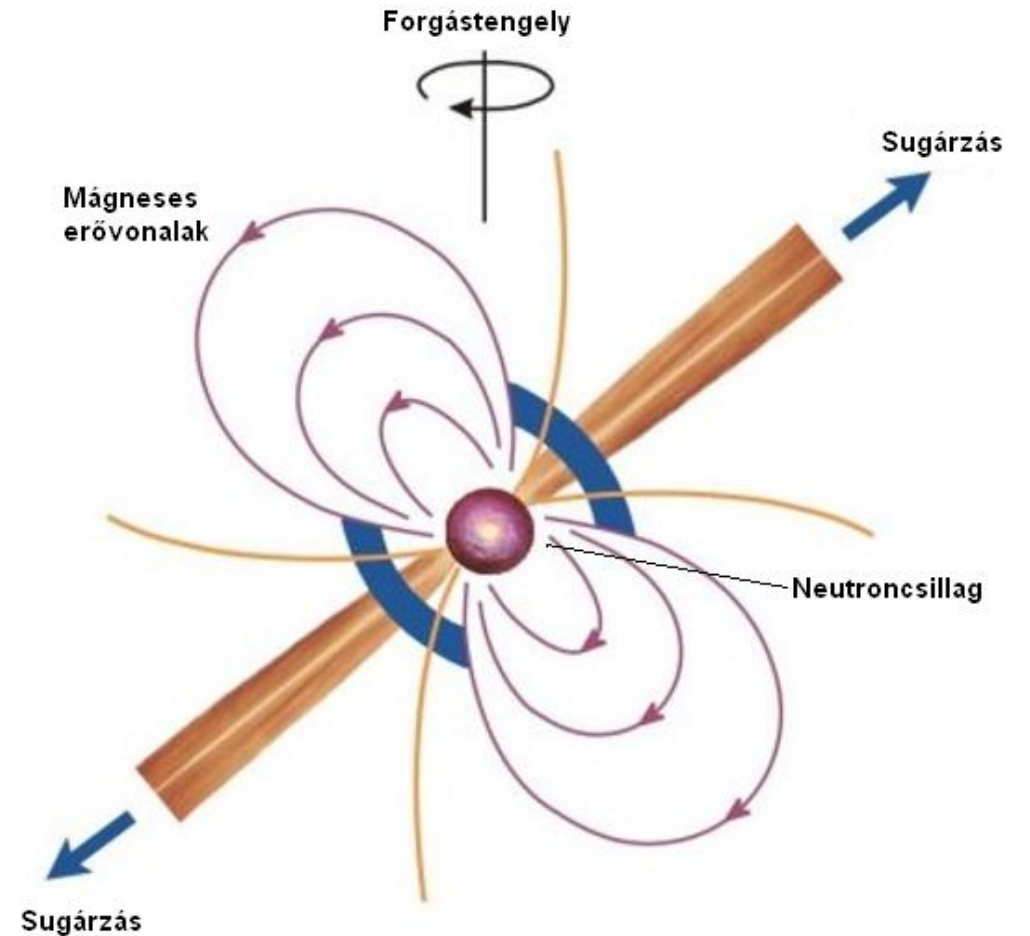
Megfigyelhető mennyiségek

- Kompakt csillagok tömege
 - Tipikus tömeg $\sim 1.4 M$
 - Legnagyobb tömeg: $\sim 2.0 - 2.4 M$
- Kompakt csillag mérete
 - Sugár $R \sim 10 \text{ km}$
- Erősen gravitáló objektum
 - Schwarzschild sugár \sim méret
 - Felszíni gyorsulás $2 \times 10^{11} g$
 - Gravitációs hullámok (GW)



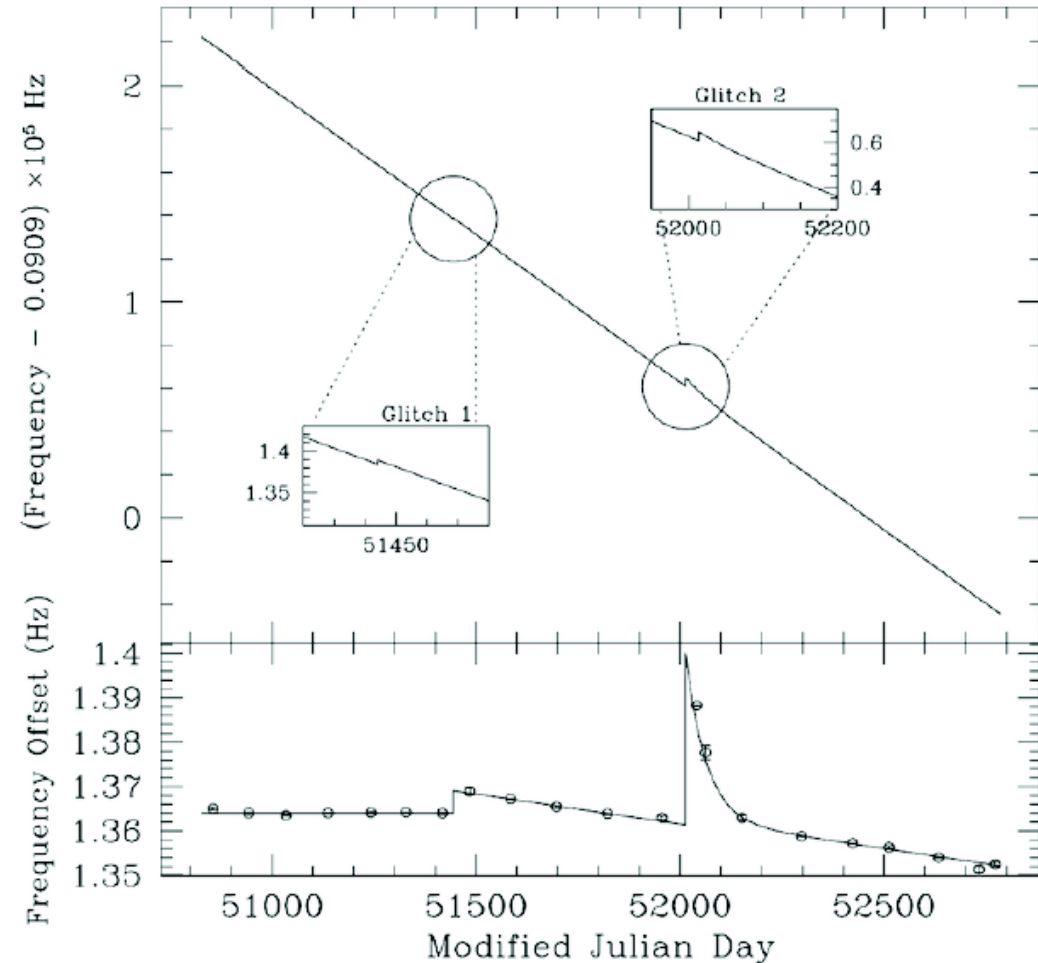
Megfigyelhető mennyiségek

- Kompakt csillagok tömege
 - Tipikus tömeg $\sim 1.4 M$
 - Legnagyobb tömeg: $\sim 2.0 - 2.4 M$
- Kompakt csillag mérete
 - Sugár $R \sim 10 \text{ km}$
- Erősen gravitáló objektum
 - Schwarzschild sugár \sim méret
 - Felszíni gyorsulás $2 \times 10^{11} \text{ g}$
 - Gravitációs hullámok (GW)
- Gyors forgás
 - Periódus $1 \text{ s} - 1 \text{ ms}$, változása: glitch
 - Erős mágneses tér $\sim 10^8 - 10^{14} \text{ G}$



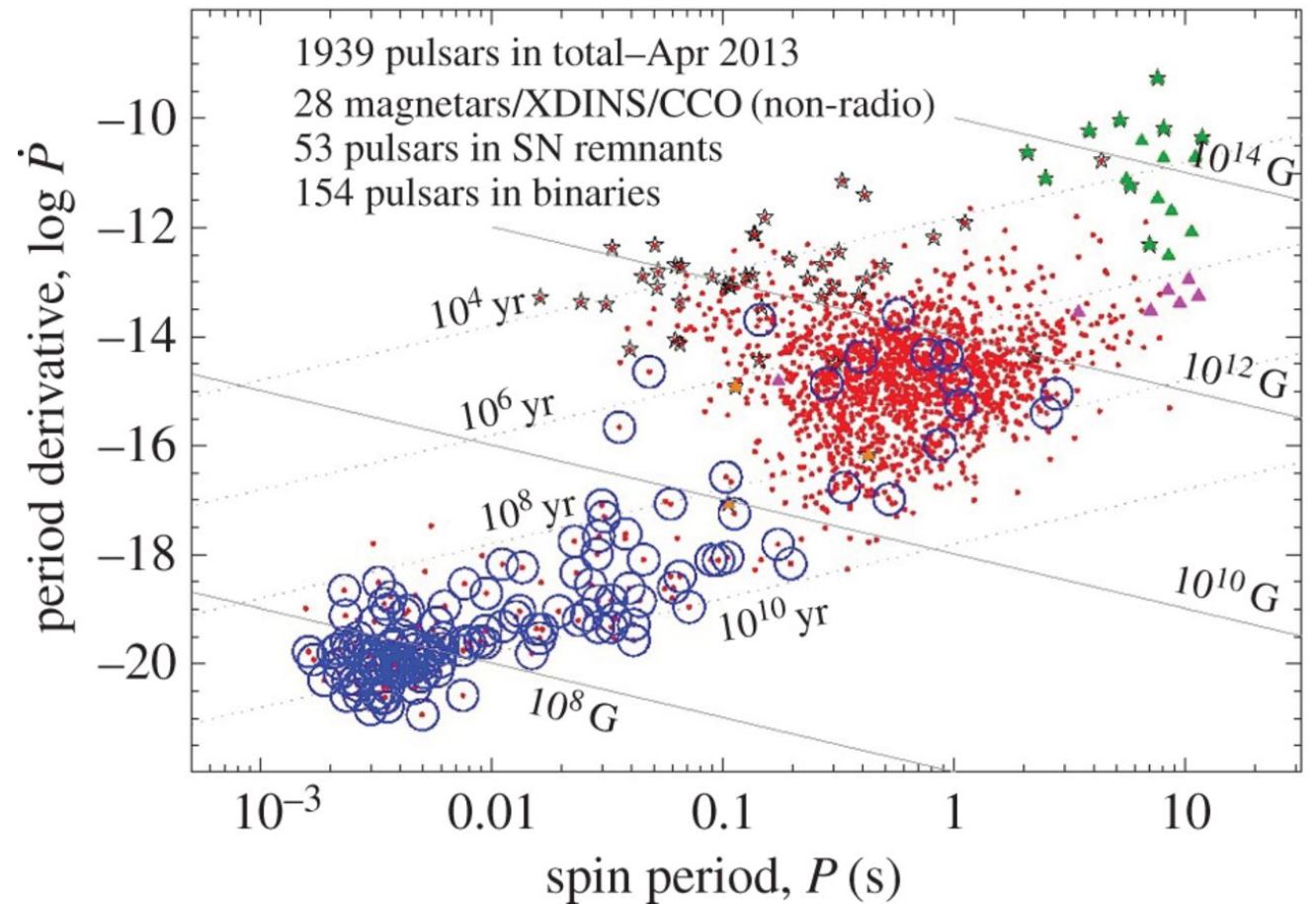
Megfigyelhető mennyiségek

- Kompakt csillagok tömege
 - Tipikus tömeg $\sim 1.4 M$
 - Legnagyobb tömeg: $\sim 2.0 - 2.4 M$
- Kompakt csillag mérete
 - Sugár $R \sim 10 \text{ km}$
- Erősen gravitáló objektum
 - Schwarzschild sugár \sim méret
 - Felszíni gyorsulás $2 \times 10^{11} \text{ g}$
 - Gravitációs hullámok (GW)
- Gyors forgás
 - Periódus $1 \text{ s} - 1 \text{ ms}$, változása: glitch
 - Erős mágneses tér $\sim 10^8 - 10^{14} \text{ G}$



Megfigyelhető mennyiségek

- Kompakt csillagok tömege
 - Tipikus tömeg $\sim 1.4 M$
 - Legnagyobb tömeg: $\sim 2.0 - 2.4 M$
- Kompakt csillag mérete
 - Sugár $R \sim 10 \text{ km}$
- Erősen gravitáló objektum
 - Schwarzschild sugár \sim méret
 - Felszíni gyorsulás $2 \times 10^{11} \text{ g}$
 - Gravitációs hullámok (GW)
- Gyors forgás
 - Periódus $1 \text{ s} - 1 \text{ ms}$, változása: glitch
 - Erős mágneses tér $\sim 10^8 - 10^{14} \text{ G}$



Az Univerzum legnagyobb atommagjai

- Neutroncsillag tömege

- Egy nukleon sugara: $r_0 \approx 0.5 \times 10^{-13}$ cm.

- Nukleon tömeg:

$$m \approx 939 \text{ MeV} = 1.7 \times 10^{-24} \text{ g} = 1.2 \times 10^{-52} \text{ cm}.$$

- Atommag térfogata és tömege:

$$R \approx r_0 A^{1/3}, \quad M \approx Am.$$

- Schwarzschild sugárnál: $R = 2M,$

→ Neutroncsillag mérete:

$$A = 2.6 \times 10^{57},$$

$$R = r_0 A^{1/3} = 7 \text{ km},$$

$$M = R/2 = 3.5 \text{ km} = 2.3 M_{\odot}.$$

Az Univerzum legnagyobb atommagjai

- Neutroncsillag tömege

- Egy nukleon sugara: $r_0 \approx 0.5 \times 10^{-13}$ cm.

- Nukleon tömeg:

$$m \approx 939 \text{ MeV} = 1.7 \times 10^{-24} \text{ g} = 1.2 \times 10^{-52} \text{ cm}.$$

- Atommag térfogata és tömege:

$$R \approx r_0 A^{1/3}, \quad M \approx Am.$$

- Schwarzschild sugárnál: $R = 2M$,

→ Neutroncsillag mérete:

$$A = 2.6 \times 10^{57},$$

$$R = r_0 A^{1/3} = 7 \text{ km},$$

$$M = R/2 = 3.5 \text{ km} = 2.3 M_{\odot}.$$

- Neutroncsillag semlegessége

- Gravitációsan kötött:

$$\frac{(Z_{\text{net}}e)e}{R^2} \leq \frac{GMm}{R^2} < \frac{G(Am)m}{R^2}$$

- A nukleon sugár és tömeg alapján:

$$A^{2/3} = r_0/(2m) = 1.9 \times 10^{38}$$

- A nettó töltésre a feltétel

$$Z_{\text{net}}/A < (m/e)^2$$

- A mértékegységeket használva:

$$\left(\frac{m}{e}\right)^2 \sim \frac{(938 \text{ MeV})^2}{1.44 \text{ MeV fm}} \sim 10^{-36}$$

→ Nettó töltés: $Z_{\text{net}} < 10^{-36} A$

Neutroncsillag belső modellje

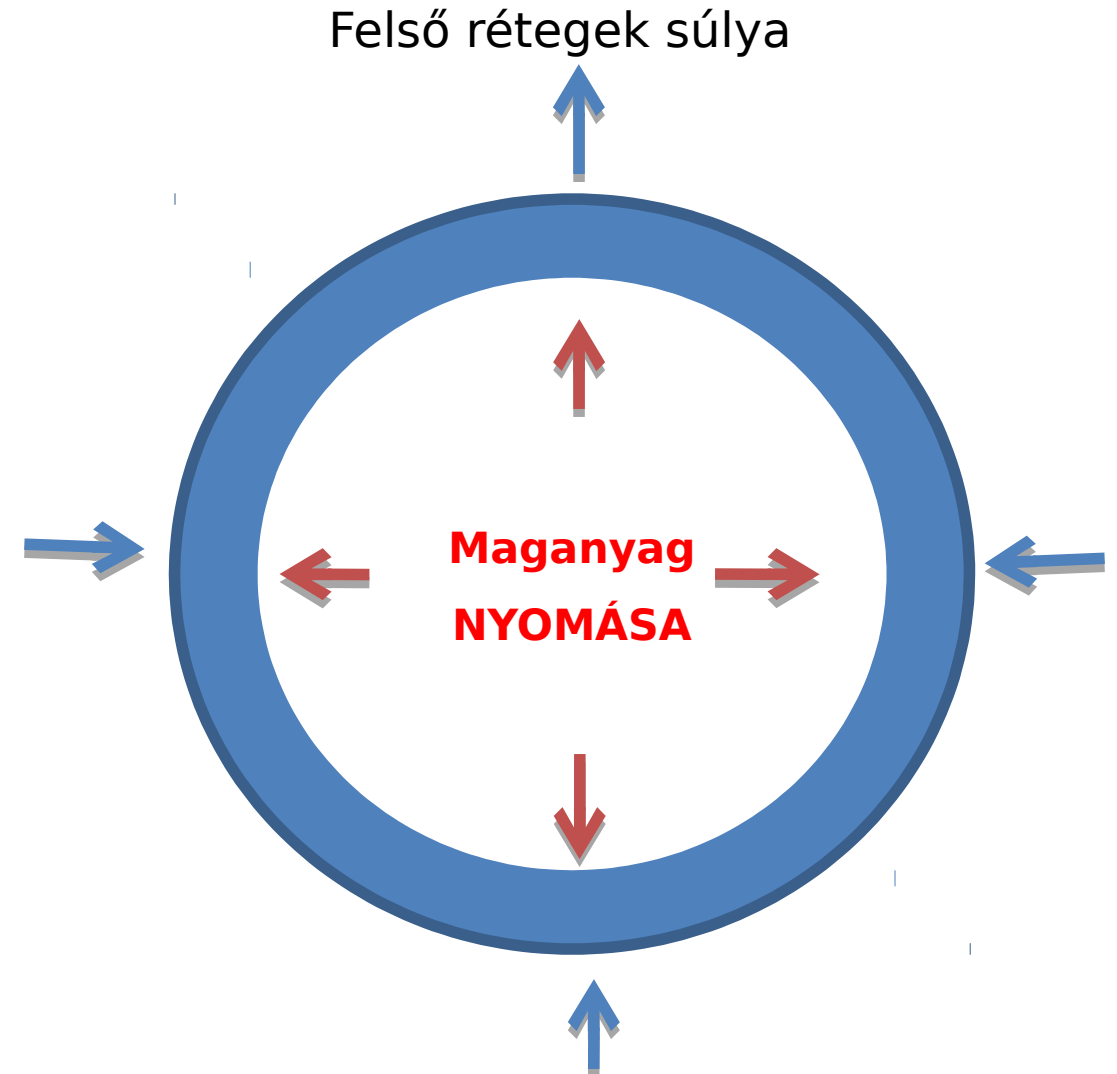
- Nem relativisztikus gáz vagy folyadékgyömb egyensúlya

- Kontinuitási egyenlet:

$$\frac{dm}{dr} = 4\pi r^2 \varepsilon(r)$$

- Gravitáció:

$$\frac{dP}{dr} = -\frac{G\varepsilon(r)m(r)}{r^2}$$



Neutroncsillag belső modellje

- Tolman-Oppenheimer-Volkov egyenlet

- Schwarzschild metrika } $d\tau^2 = \left(1 - \frac{2GM}{r}\right) dt^2 - \left(1 - \frac{2GM}{r}\right)^{-1} dr^2 - r^2 d\theta^2 - r^2 \sin^2 \theta d\phi^2$
 homogén izotróp anyag $t = x^0, r = x^1, \vartheta = x^2, \varphi = x^3,$
 $g_{ik} = \text{diag} (e^{2\nu}, -e^{2\lambda}, -r^2, -r^2 \sin^2 \vartheta)$
 $T_{ik} := \epsilon u_i u_k - p (g_{ik} - u_i u_k)$
- Einstein egyenlet: $R_{ik} - \frac{1}{2} R g_{ik} = -\gamma T_{ik},$ ahol $\gamma = \frac{8\pi G}{c^4}$

Kírva az Einstein egyenlet komponenseit:

$$-\gamma \epsilon = e^{-2\lambda} \left[-\frac{2\lambda'}{r} + \frac{1}{r^2} \right] - \frac{1}{r^2},$$

$$-\gamma p = e^{-2\lambda} \left[\frac{2\nu'}{r} - \frac{1}{r^2} \right] + \frac{1}{r^2},$$

$$-\gamma p = e^{-2\lambda} \left[-\nu'' - \nu'^2 + \nu' \lambda' - \frac{\nu'}{r} + \frac{\lambda'}{r} \right],$$

Neutroncsillag belső modellje

- Tolman-Oppenheimer-Volkov egyenlet

- Schwarzschild metrika
homogén izotróp anyag
- Állapotegyenlet
- Kezdőfeltételek



$$\frac{dP}{dr} = -\frac{G\varepsilon(r)m(r)}{r^2} \underbrace{\left[1 + \frac{P(r)}{\varepsilon(r)}\right] \left[1 + \frac{4\pi r^3 P(r)}{m(r)}\right] \left[1 - \frac{2Gm(r)}{r}\right]^{-1}}_{\text{Relativisztikus korrekciók}}$$

Relativisztikus korrekciók

Neutroncsillag belső modellje

- Tolman-Oppenheimer-Volkov egyenlet

- Schwarzschild metrika
homogén izotróp anyag

$$\frac{dP}{dr} = -\frac{G\varepsilon(r)m(r)}{r^2} \left[1 + \frac{P(r)}{\varepsilon(r)} \right] \left[1 + \frac{4\pi r^3 P(r)}{m(r)} \right] \left[1 - \frac{2Gm(r)}{r} \right]^{-1}$$

Relativisztikus korrekciók

- Állapotegyenlet
(Legegyszerűbb: nem-kölcsönható fermi gáz → összetett EoS)

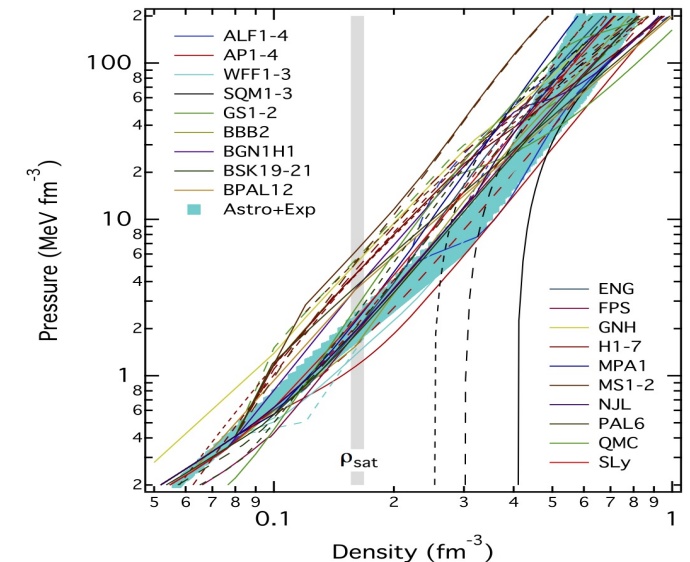
$$\mu_e + \mu_\nu = \mu_n$$

$$\mu = (m^2 + k^2)^{1/2}$$

$$\varepsilon = \frac{1}{4\pi^2} \left[\mu k \left(\mu^2 - \frac{1}{2} m^2 \right) - \frac{1}{2} m^4 \ln \left(\frac{\mu + k}{m} \right) \right],$$

$$\rho = \frac{1}{12\pi^2} \left[\mu k \left(\mu^2 - \frac{5}{2} m^2 \right) + \frac{3}{2} m^4 \ln \left(\frac{\mu + k}{m} \right) \right],$$

$$\rho = \frac{k^3}{3\pi^2},$$



Neutroncsillag belső modellje

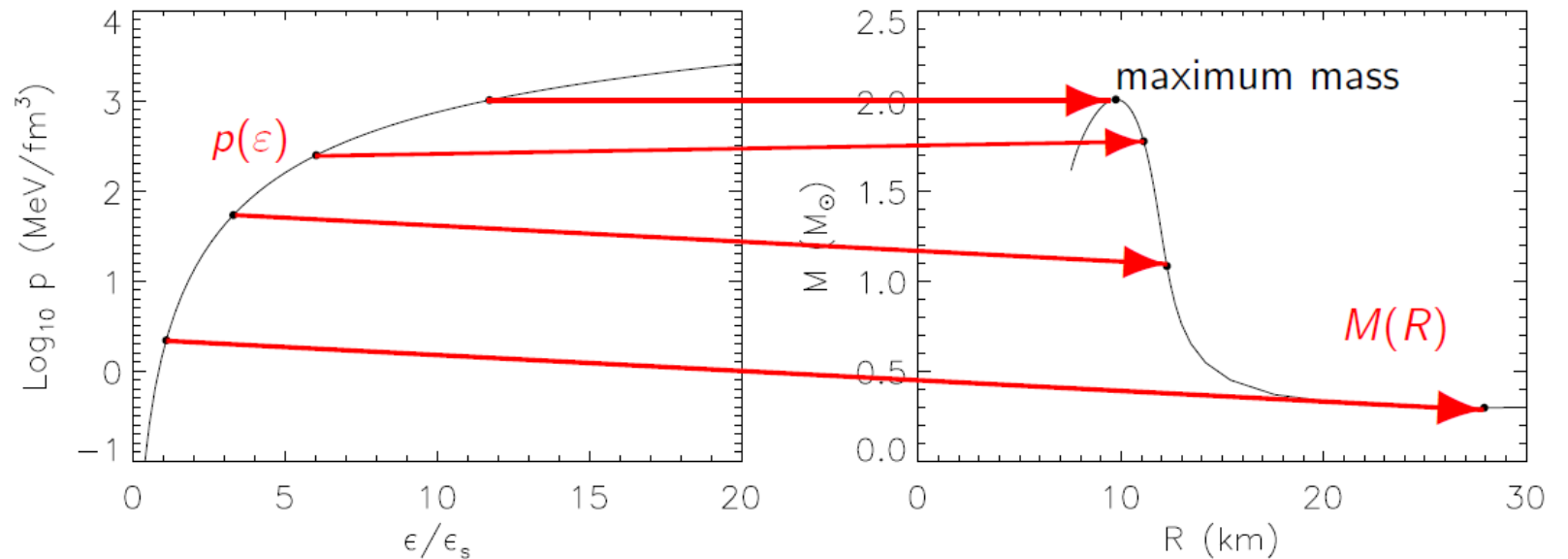
- Tolman-Oppenheimer-Volkov egyenlet

- Schwarzschild metrika
homogén izotróp anyag
- Állapotegyenlet
- Kezdőfeltételek

$$\frac{dP}{dr} = -\frac{G\varepsilon(r)m(r)}{r^2} \underbrace{\left[1 + \frac{P(r)}{\varepsilon(r)}\right] \left[1 + \frac{4\pi r^3 P(r)}{m(r)}\right] \left[1 - \frac{2Gm(r)}{r}\right]^{-1}}_{\text{Relativisztikus korrekciók}}$$



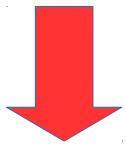
M(R) diagram



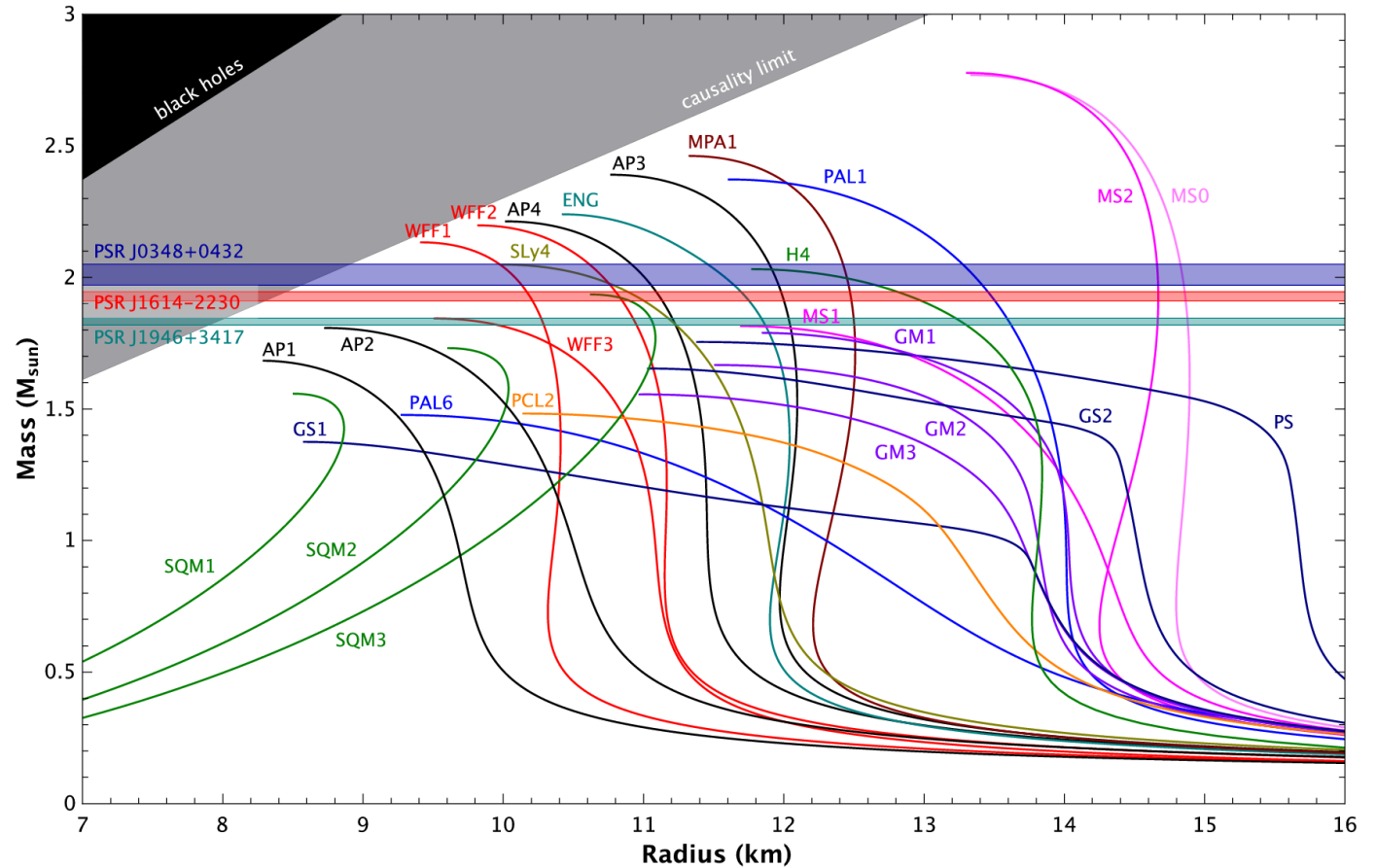
Neutroncsillag belső modellje

- Tolman-Oppenheimer-Volkov egyenlet

- Schwarzschild metrika
homogén izotróp anyag
- Állapotegyenlet
- kezdőfeltételek

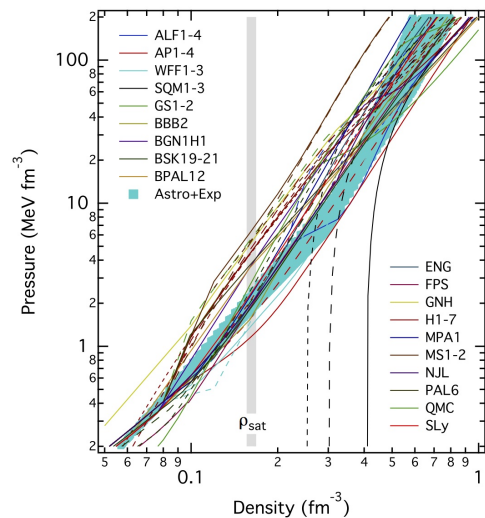
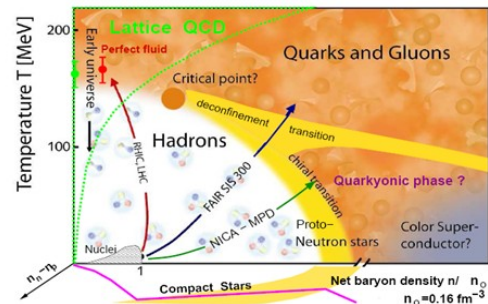


M(R) diagram

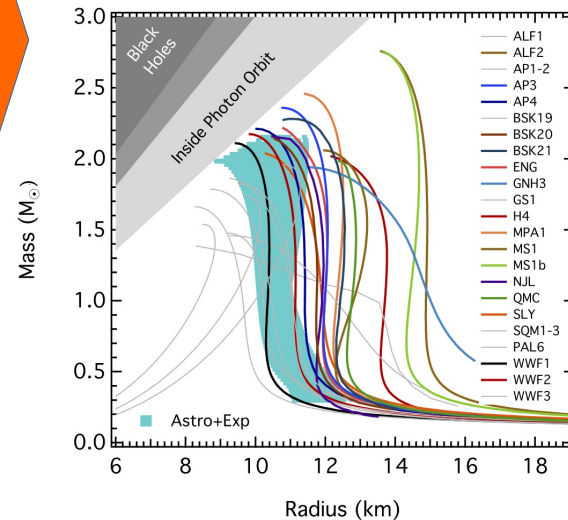
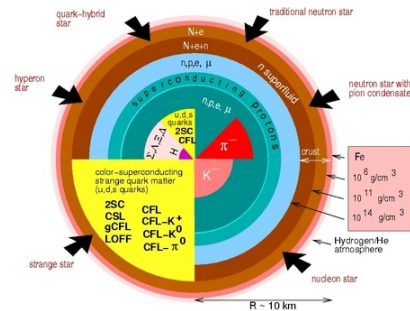


A neutroncsillag anyagának vizsgálata

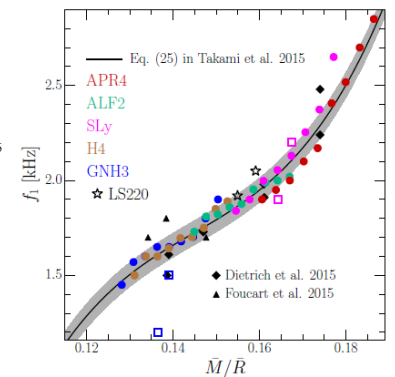
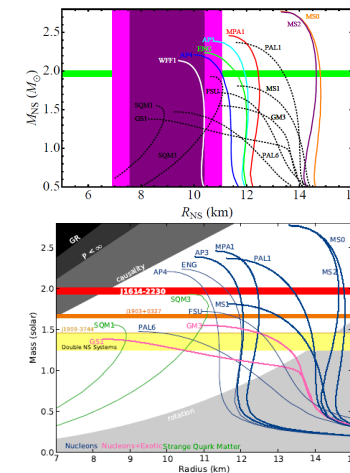
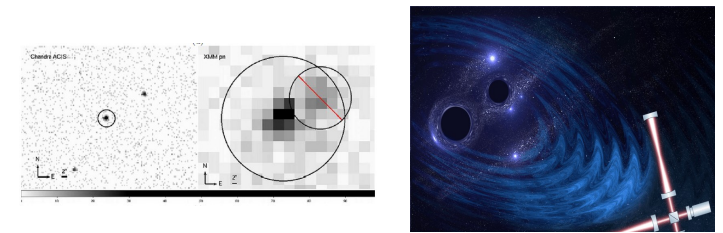
Állapotegyenlet kísérlet & elméleti



Alkalmazás kompakt csillagokra

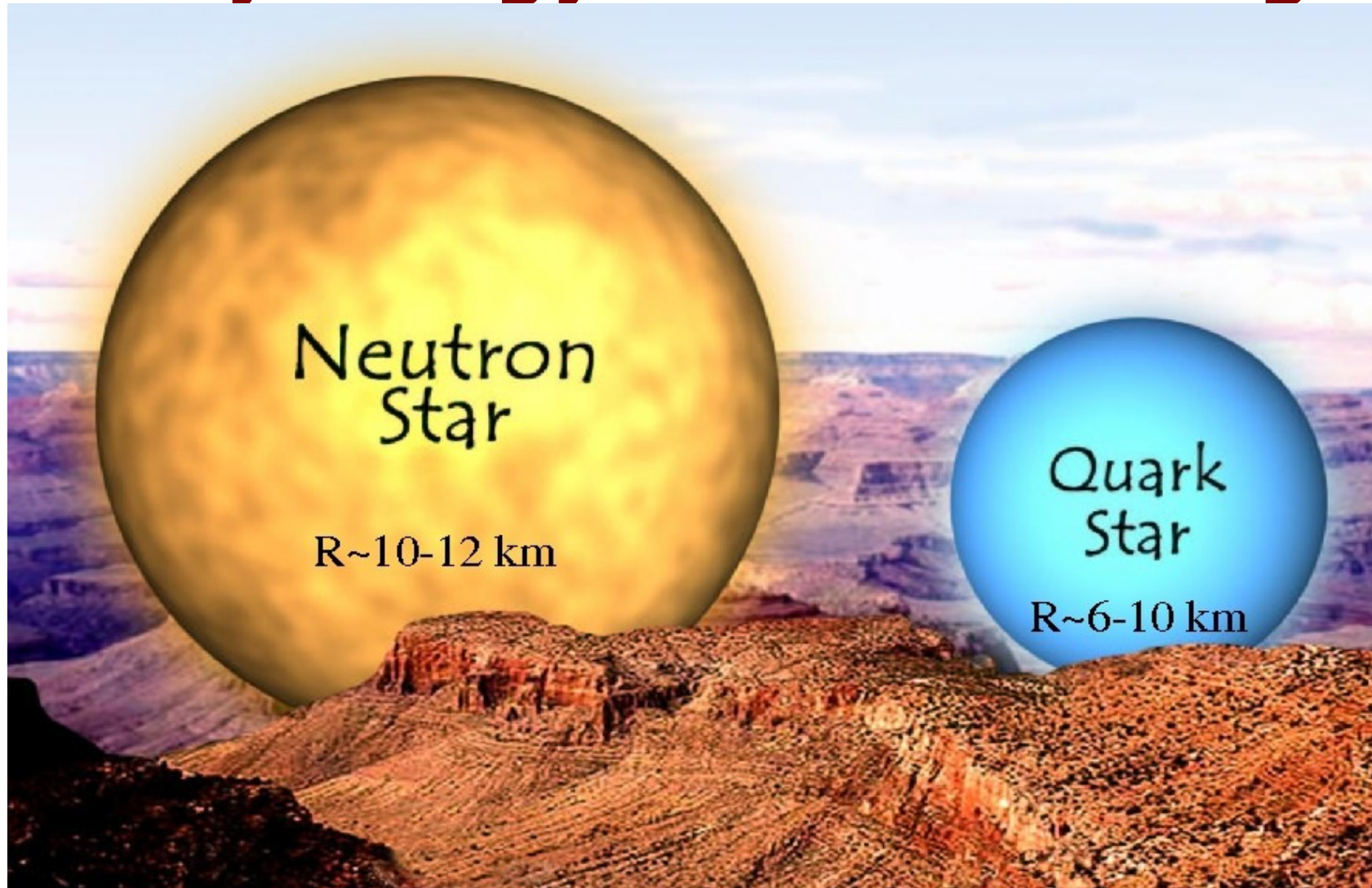


Megszorítások asztrofiz. megfigyelések

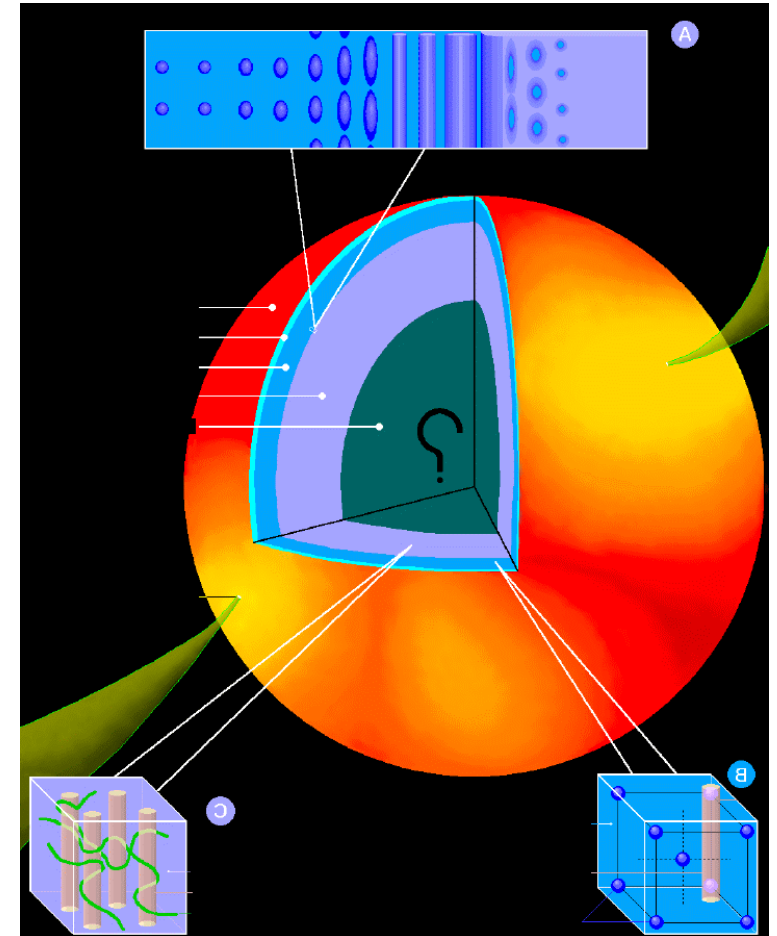
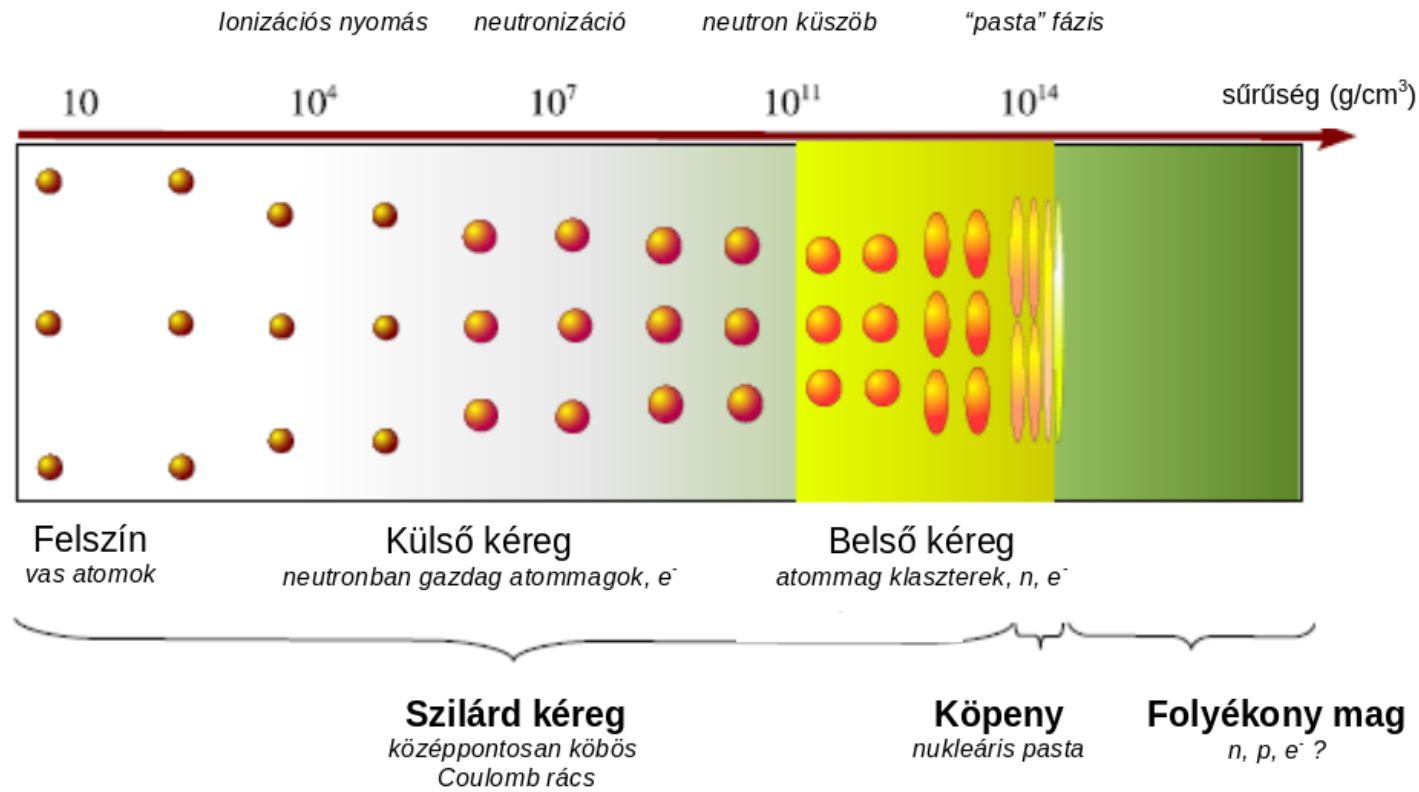


A szupersűrű maganyag kutatása

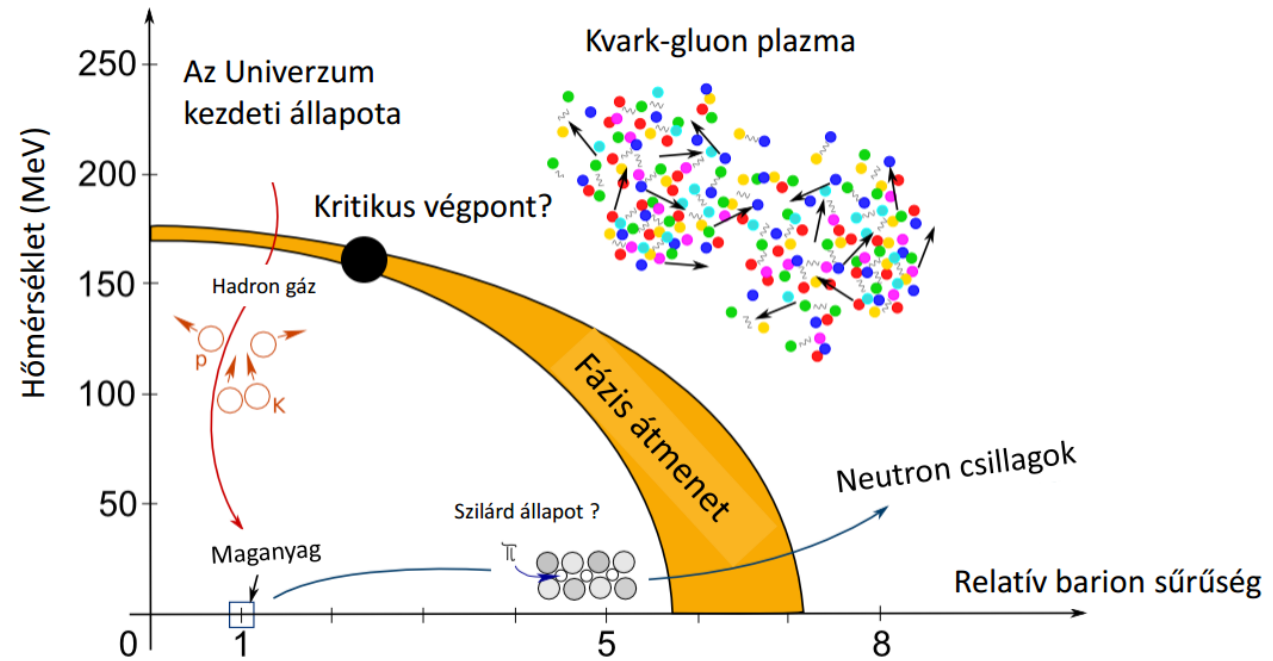
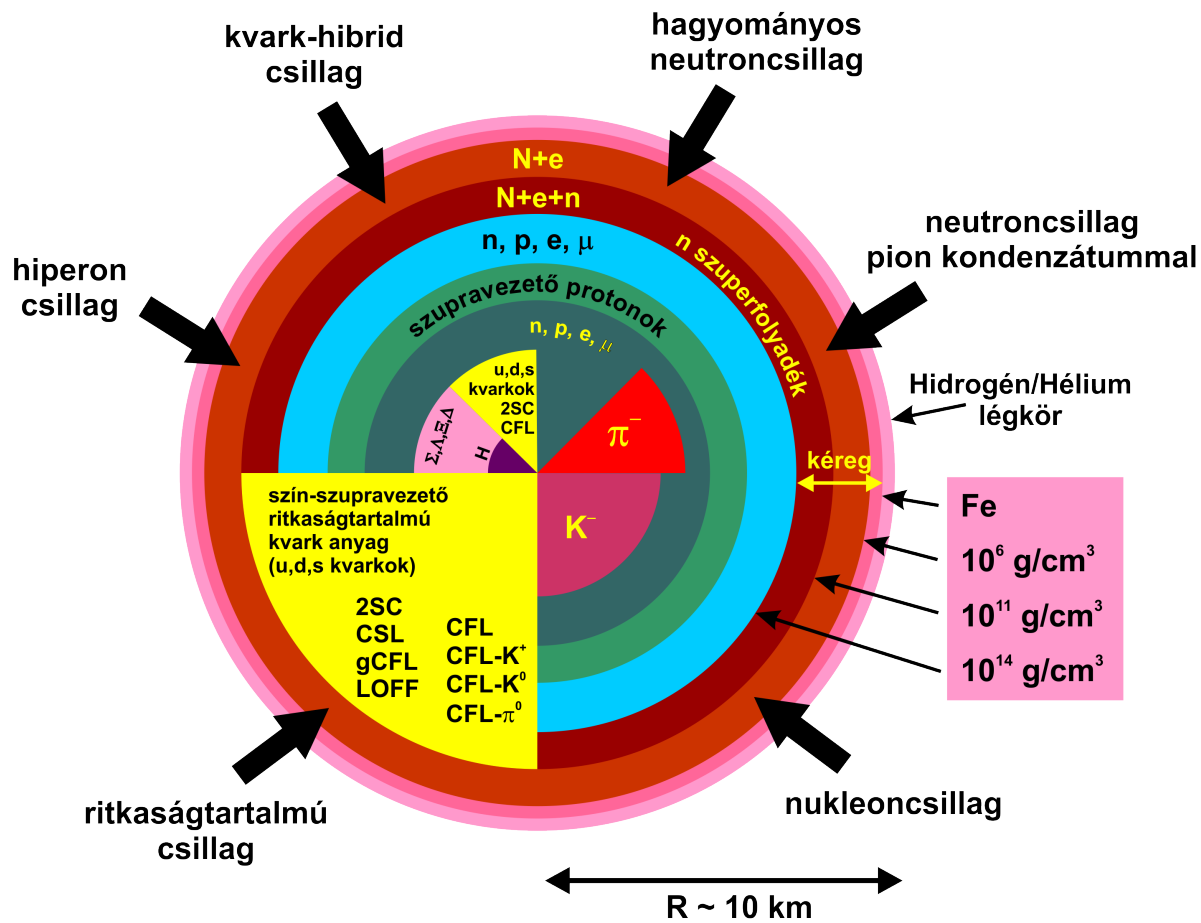
Milyen egy neutroncsillag?



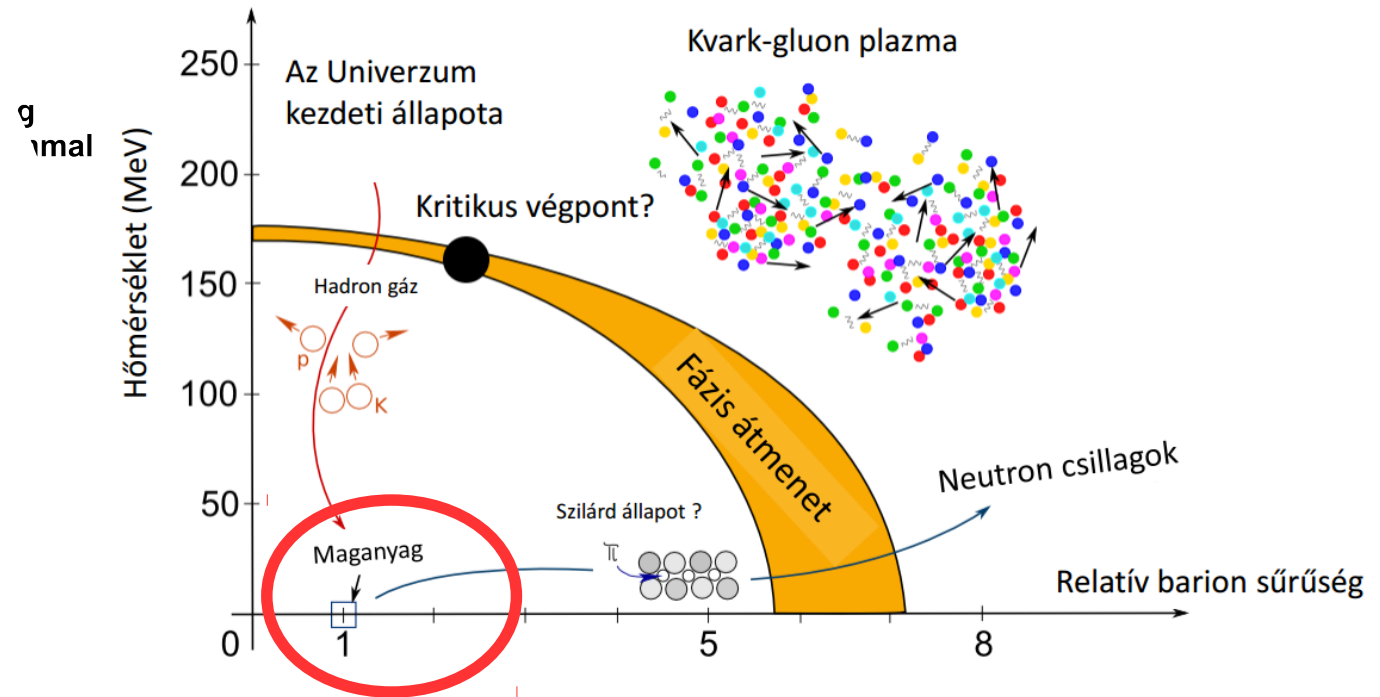
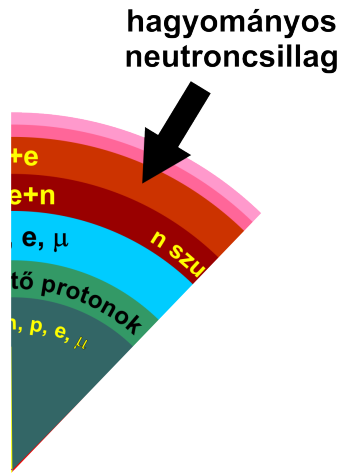
A neutroncsillag kérge



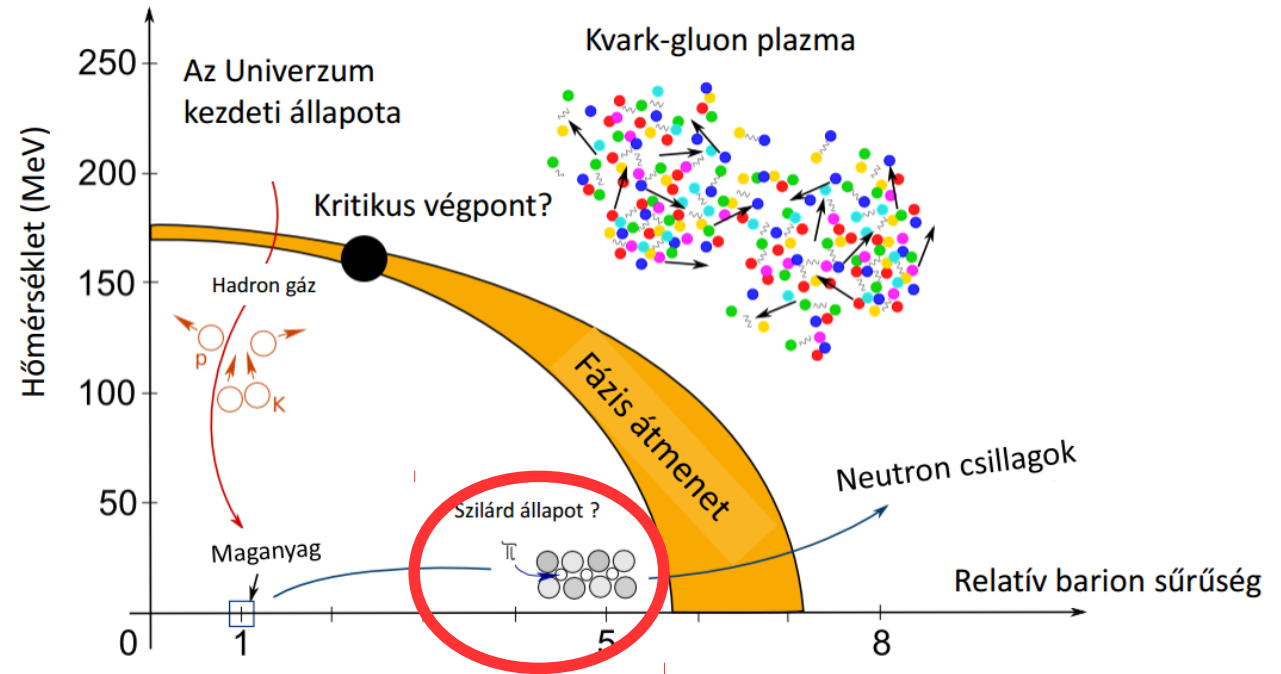
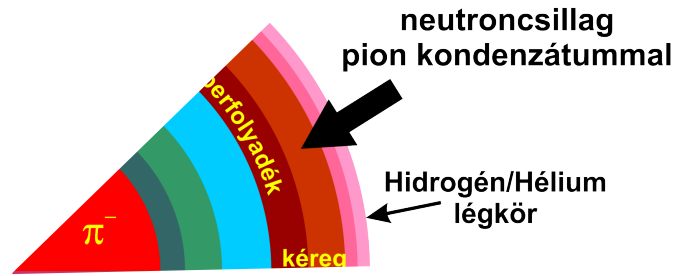
Kompakt csillagbelső modellek



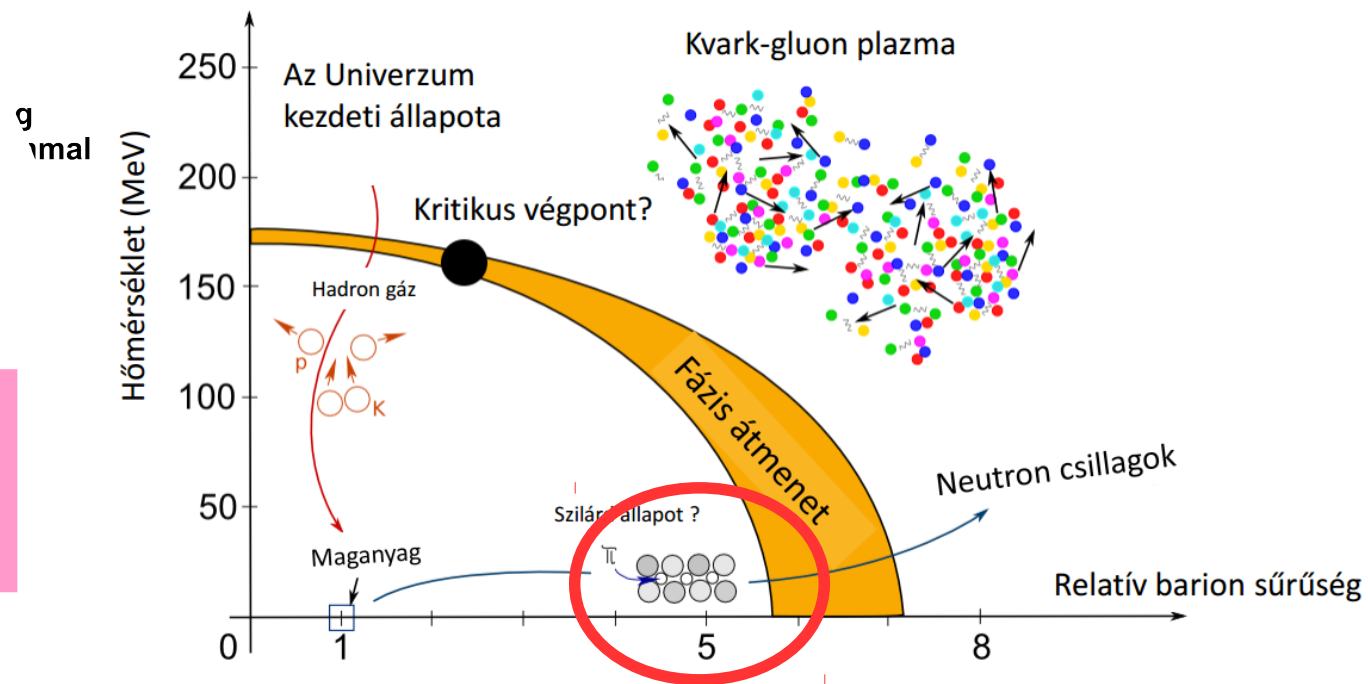
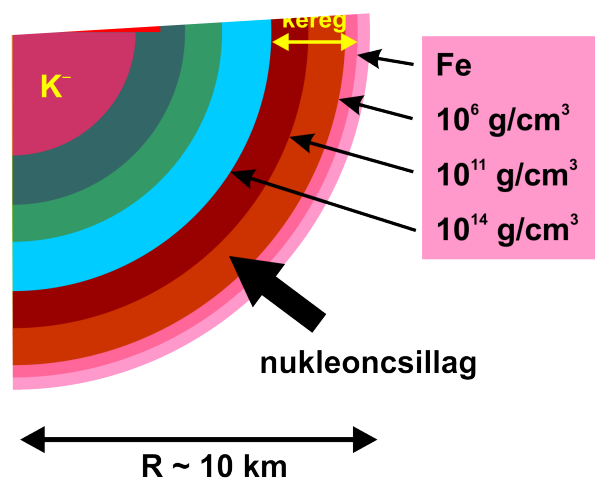
Kompakt csillagbelső modellek



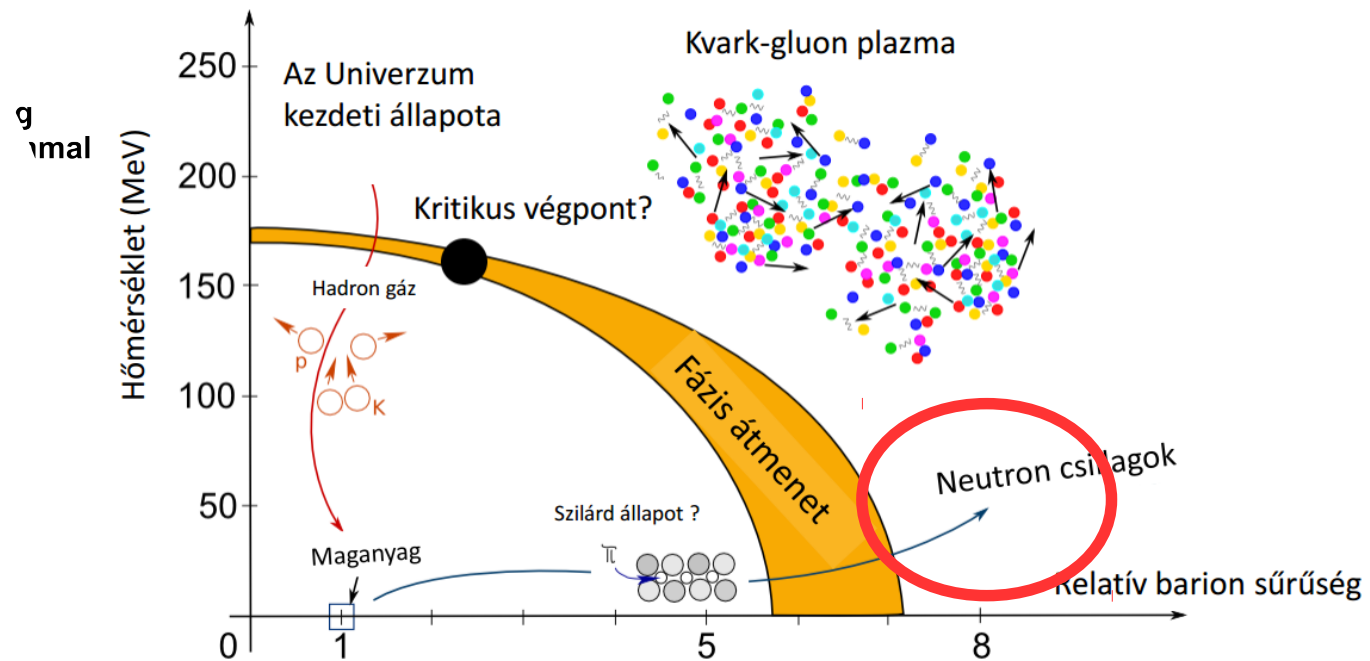
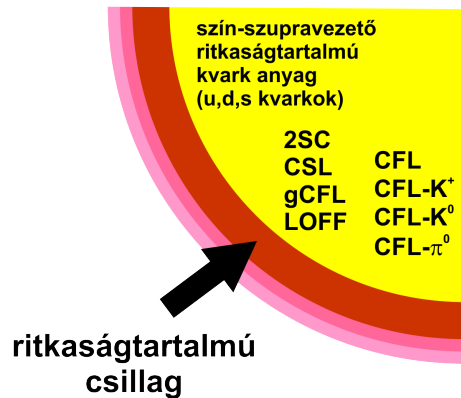
Kompakt csillagbelső modellek



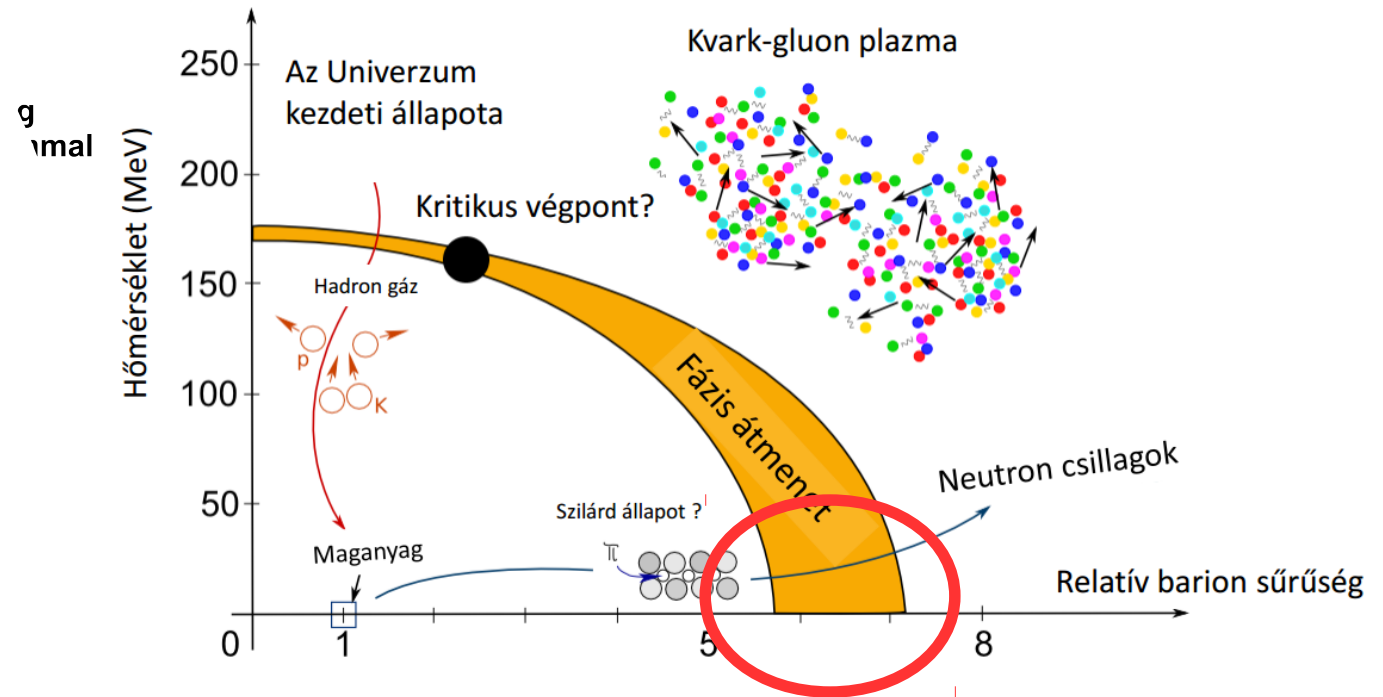
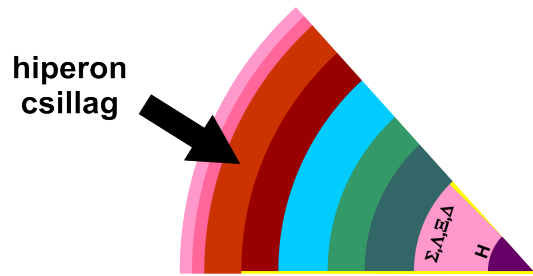
Kompakt csillagbelső modellek



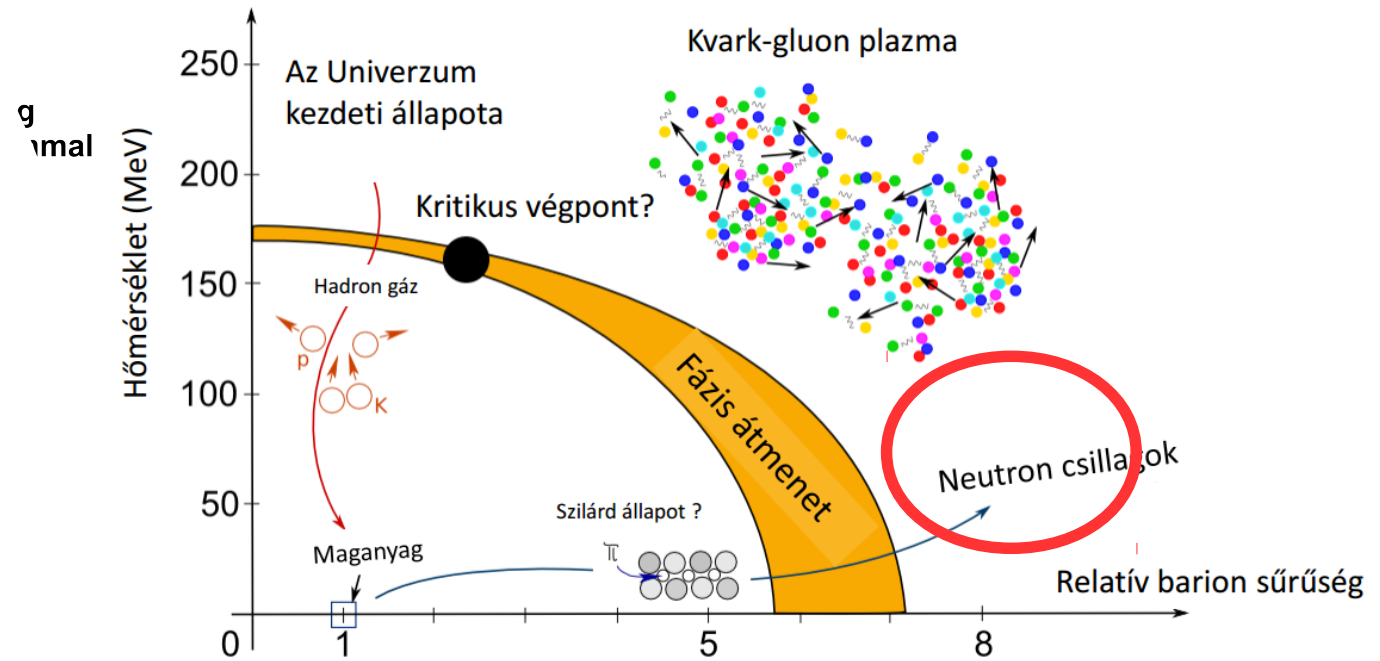
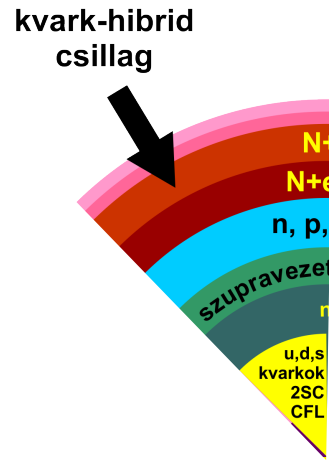
Kompakt csillagbelső modellek



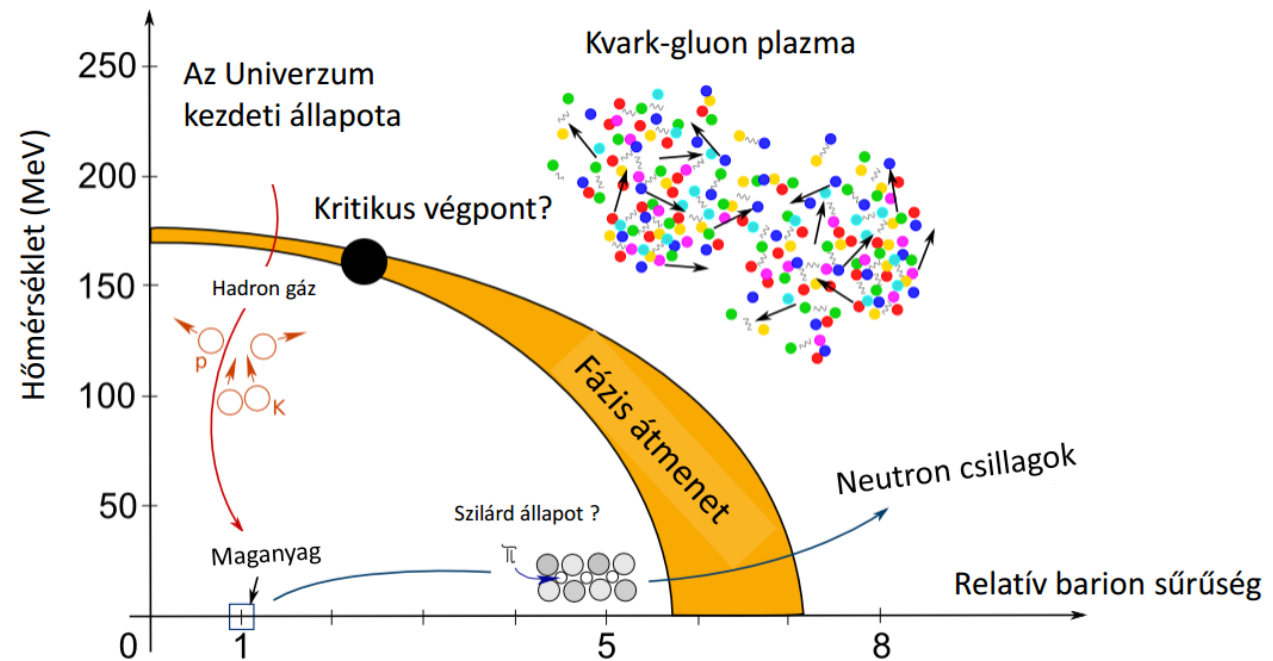
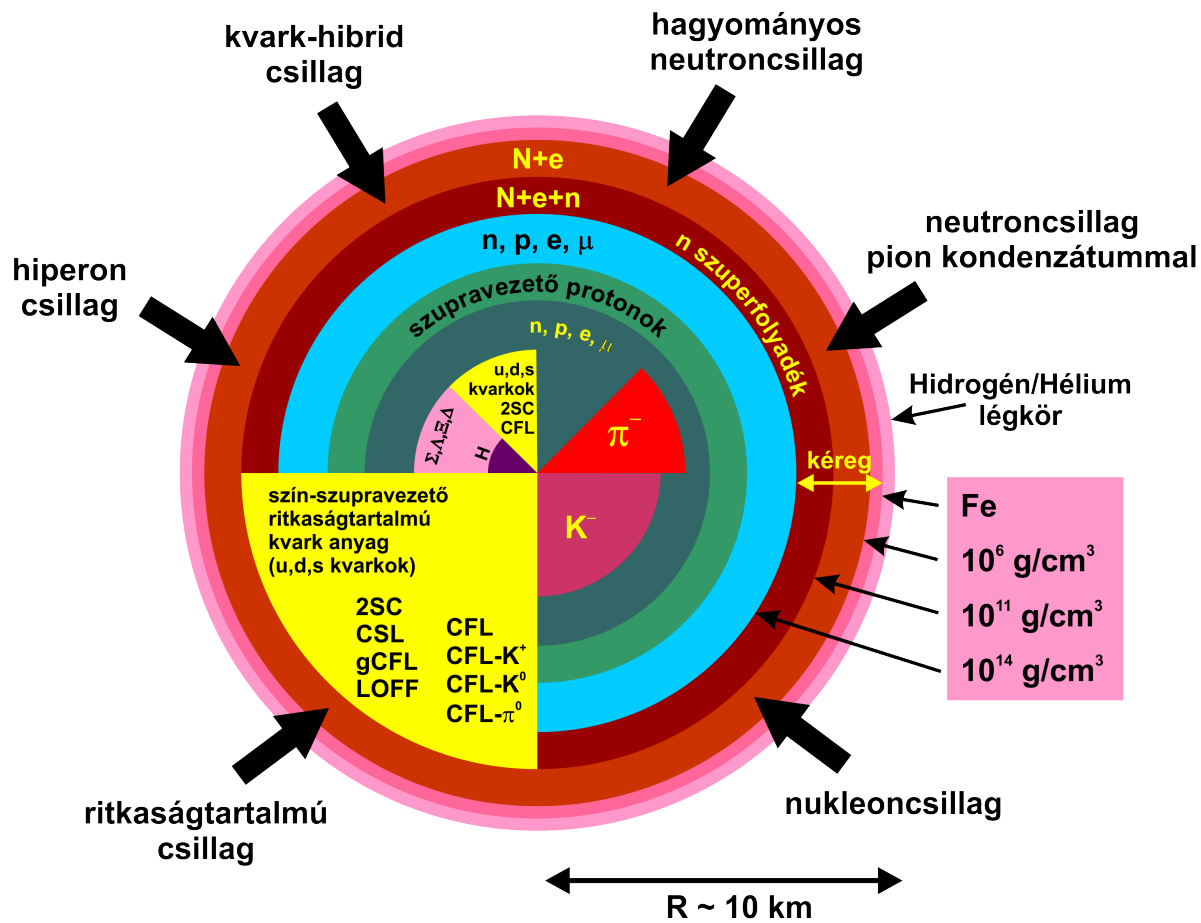
Kompakt csillagbelső modellek



Kompakt csillagbelső modellek

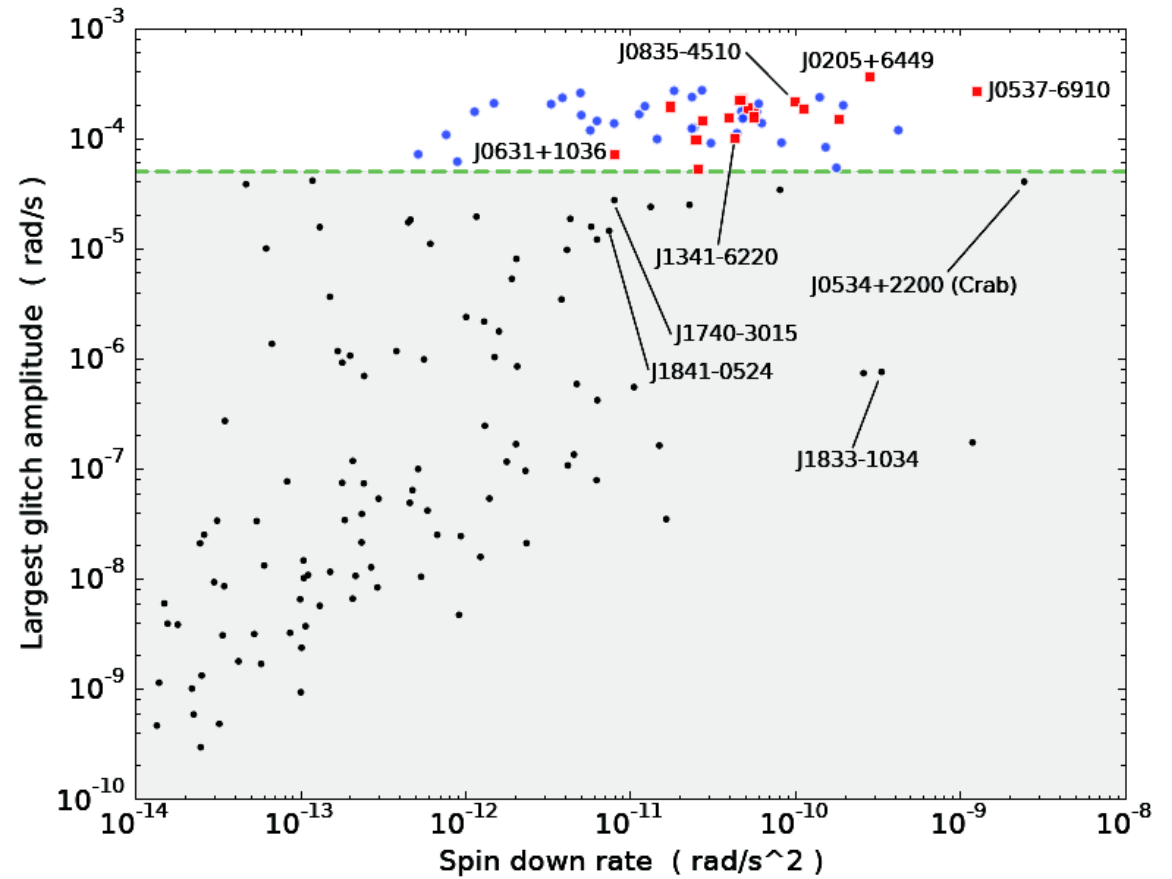
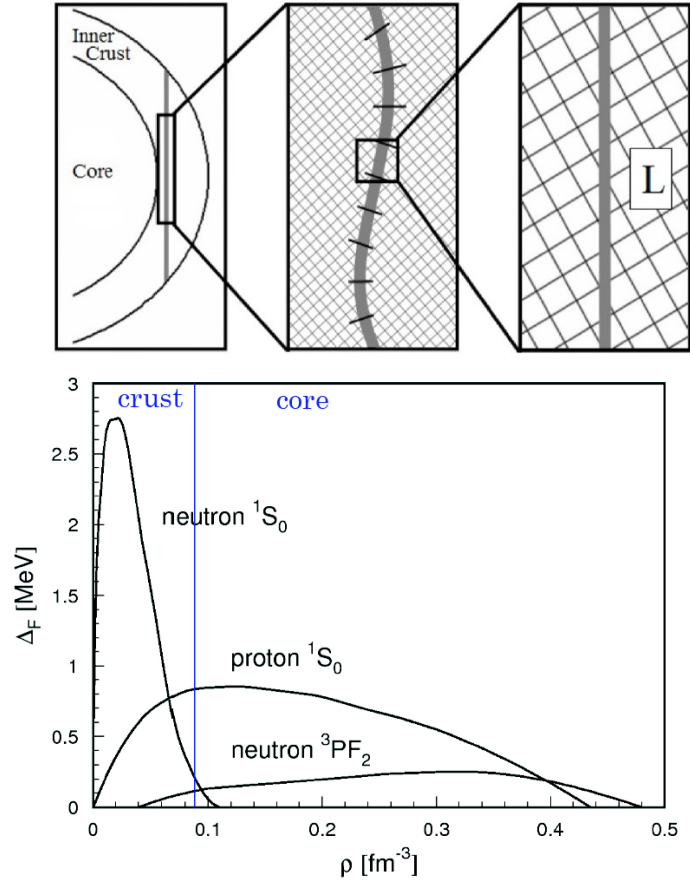


Kompakt csillagbelső modellek



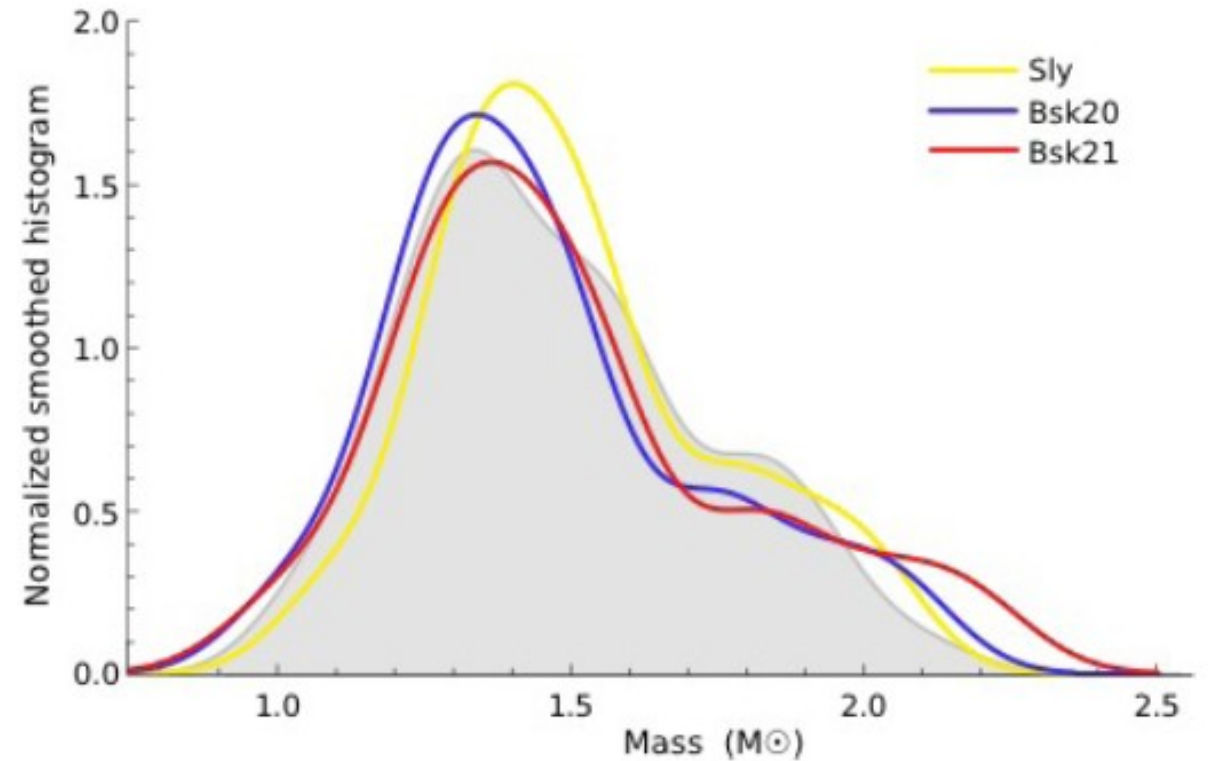
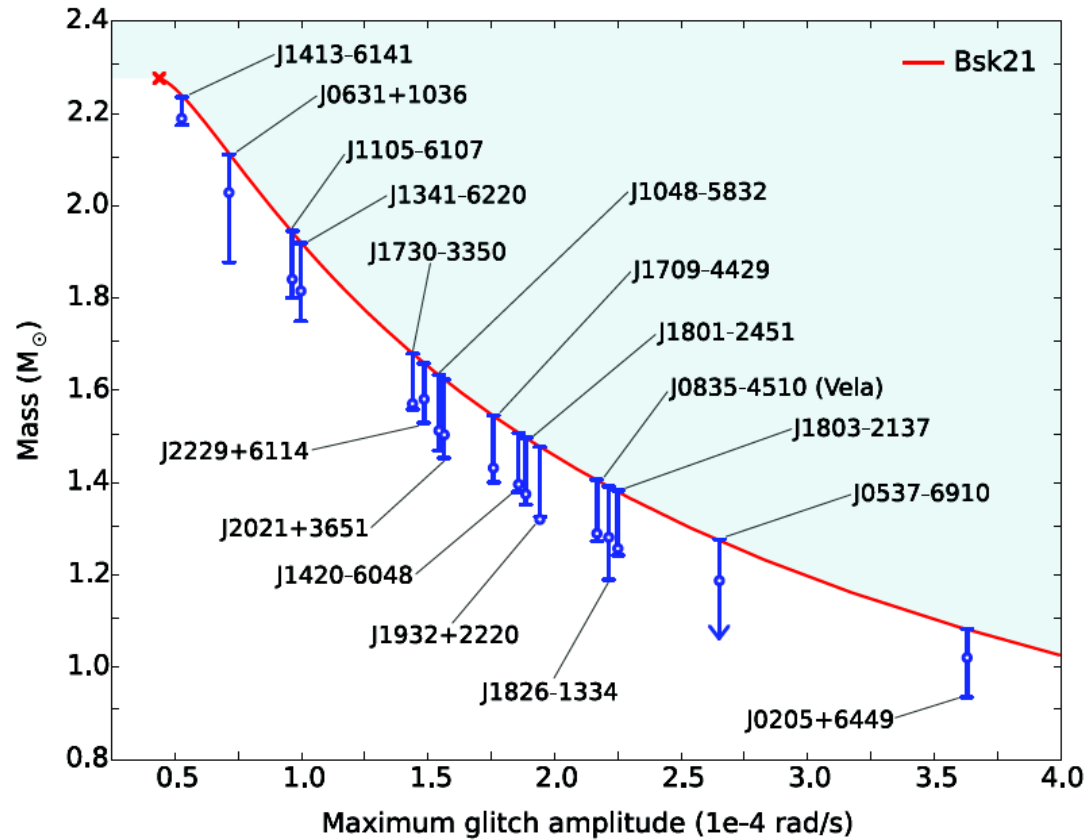
Mag+kéreg modellek

- Örvények a szupervezető kéregben.



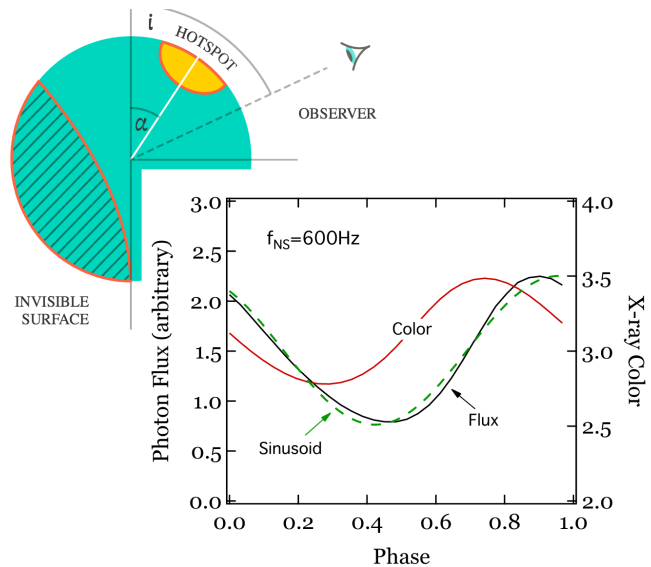
Mag+kéreg modellek

- Megszorítás a maximális amplitúdóból



Röntgen fénygörbék vizsgálata

- Kompakt csillagra hülló anyag
 - A mágneses tengelynél 'hotspot'
 - Forgás → mérhető a fénygörbe

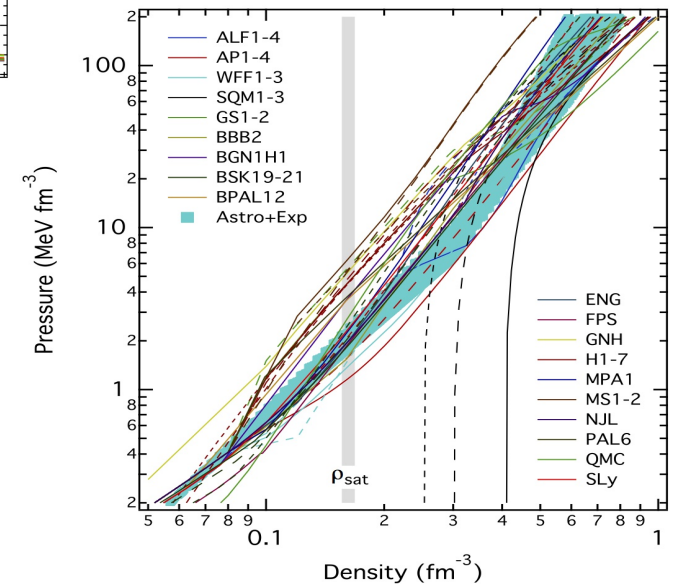
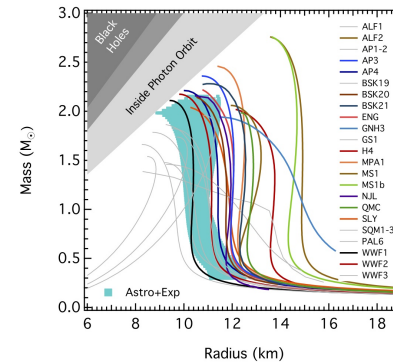
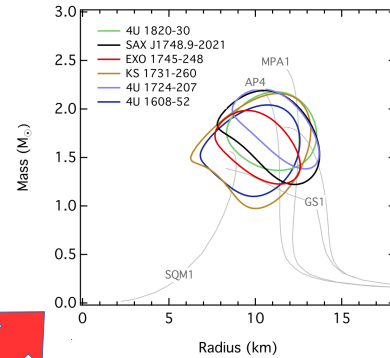
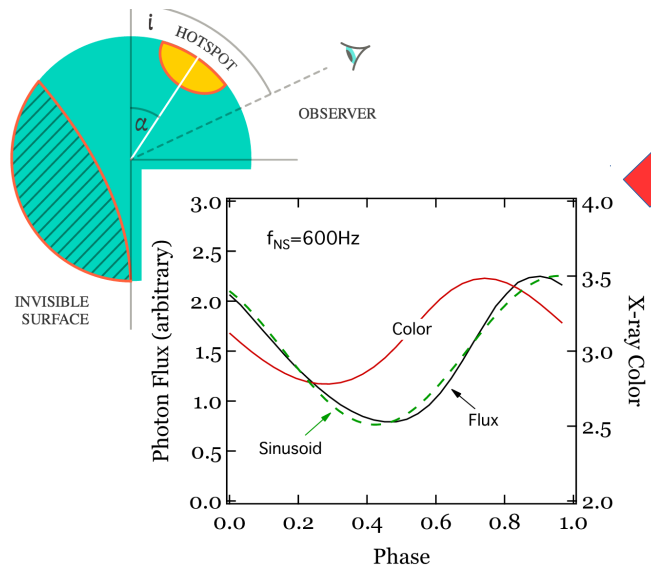


→ Kellően sok fénygörbe alapján statisztikusan behatárolható az $M(R)$

Röntgen fénygörbék vizsgálata

- Kompakt csillagra hülló anyag

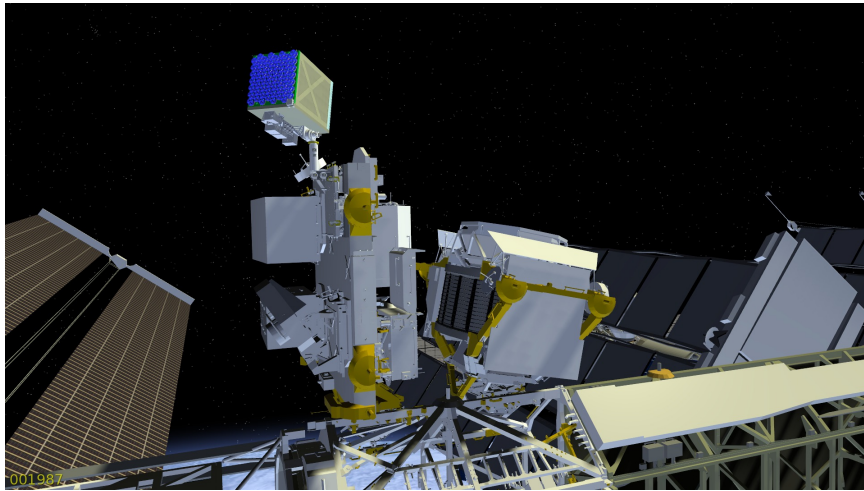
- A mágneses tengelynél 'hotspot'
- Forgás → mérhető a fénygörbe



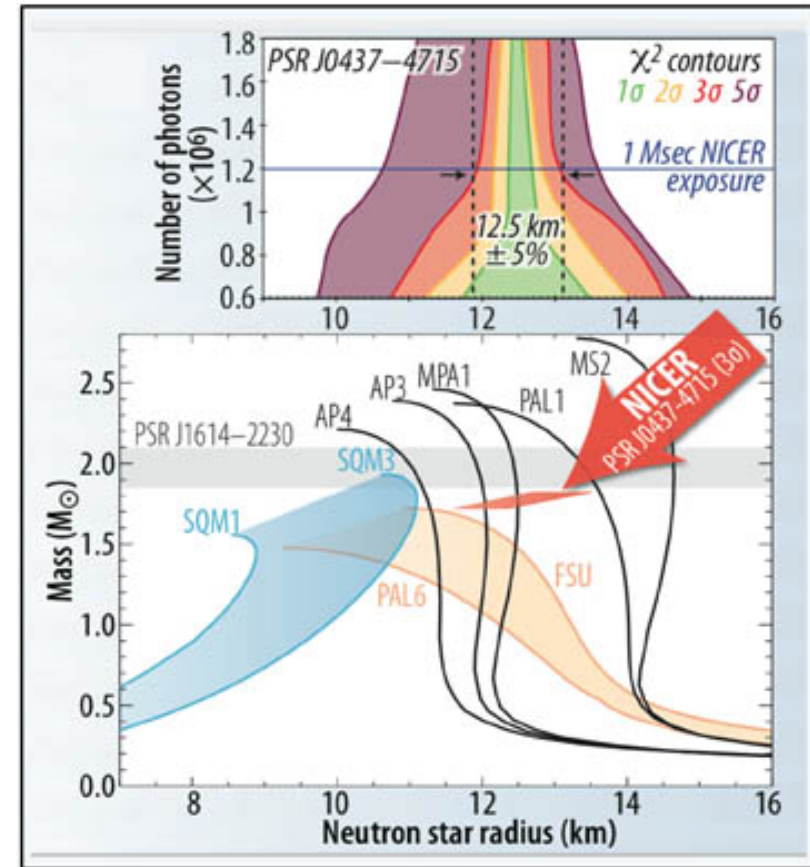
→ Kellően sok fénygörbe alapján statisztikusan behatárolható az $M(R)$

Röntgen fénygörbék vizsgálata

- Kompakt csillagra hülló anyag
 - A mágneses tengelynél 'hotspot'
 - A forgás miatt mérhető a fénygörbe

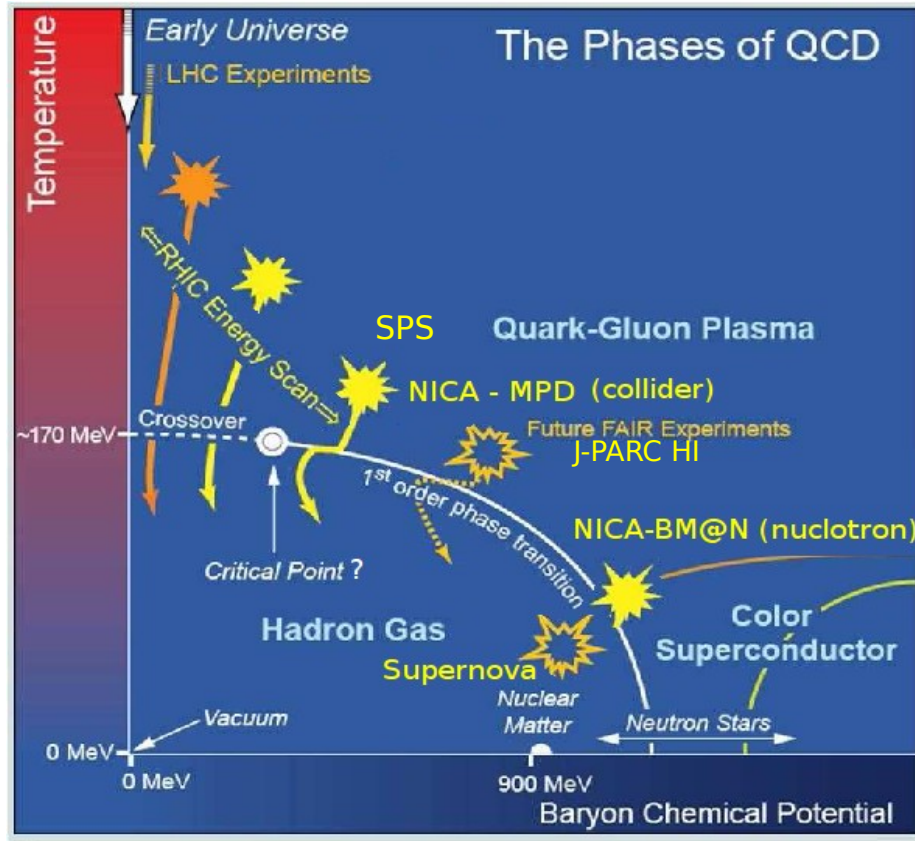


→ NICER (2017 május óta mér az ISS-en)

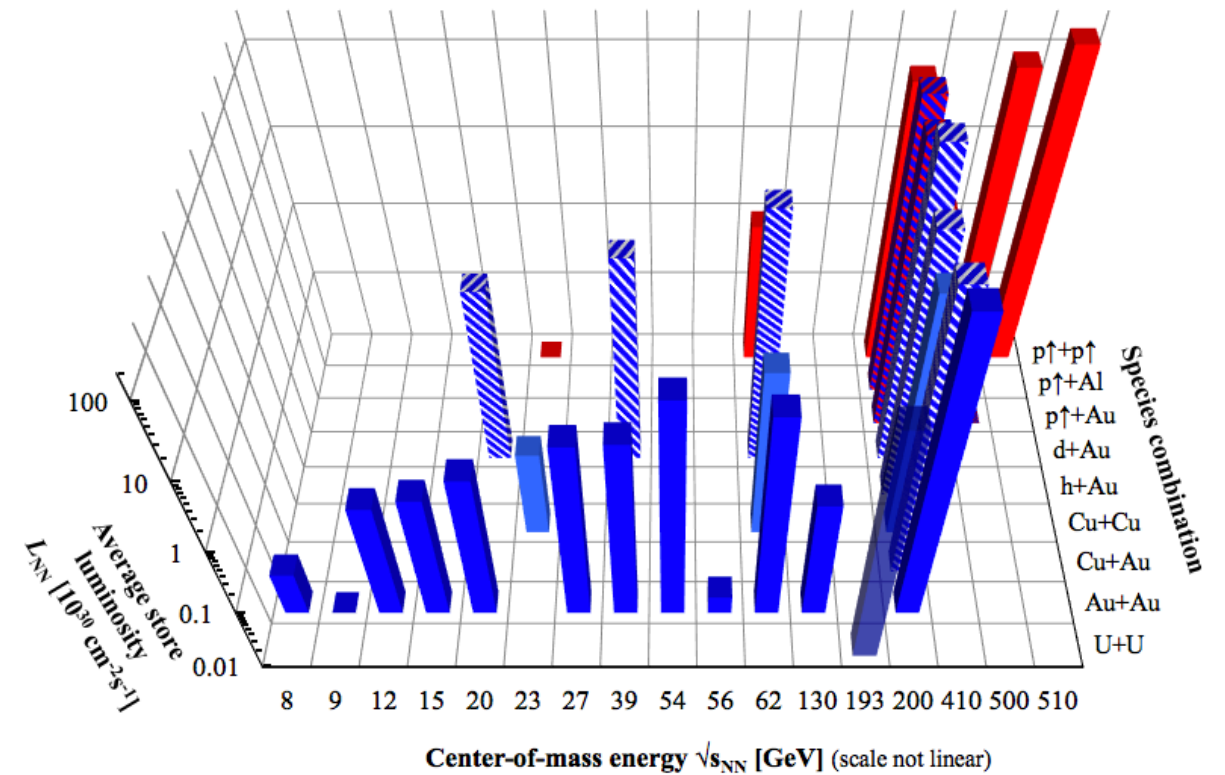


Nehézionfizikai kísérletek

- BES: Beam-Energy Scan

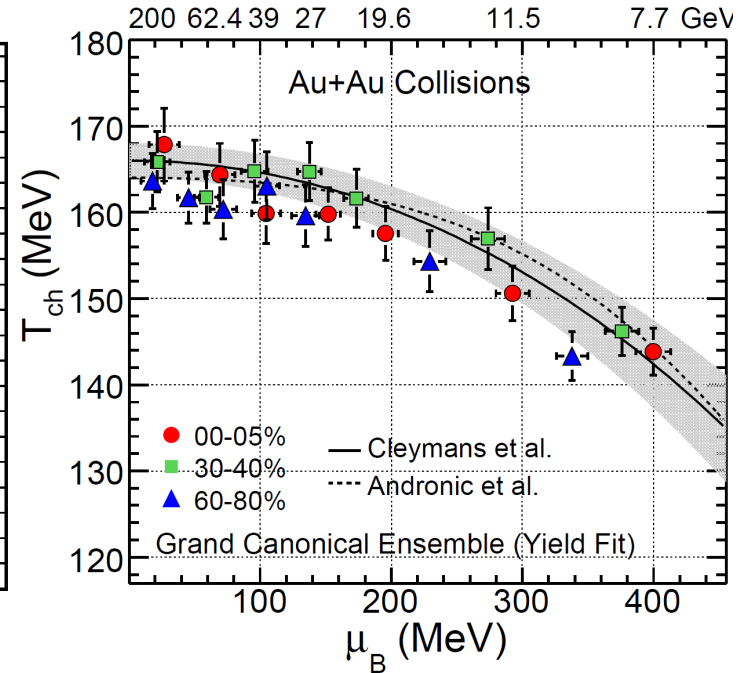
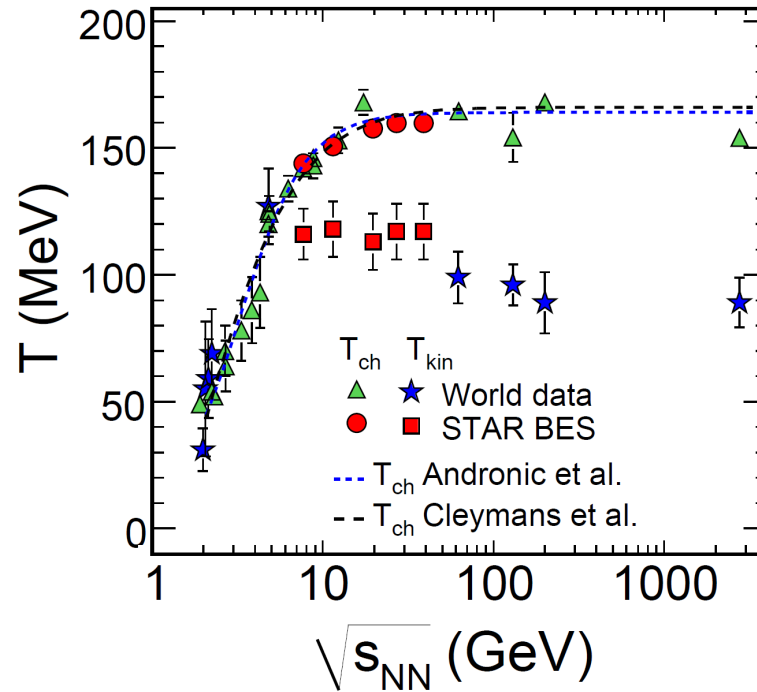
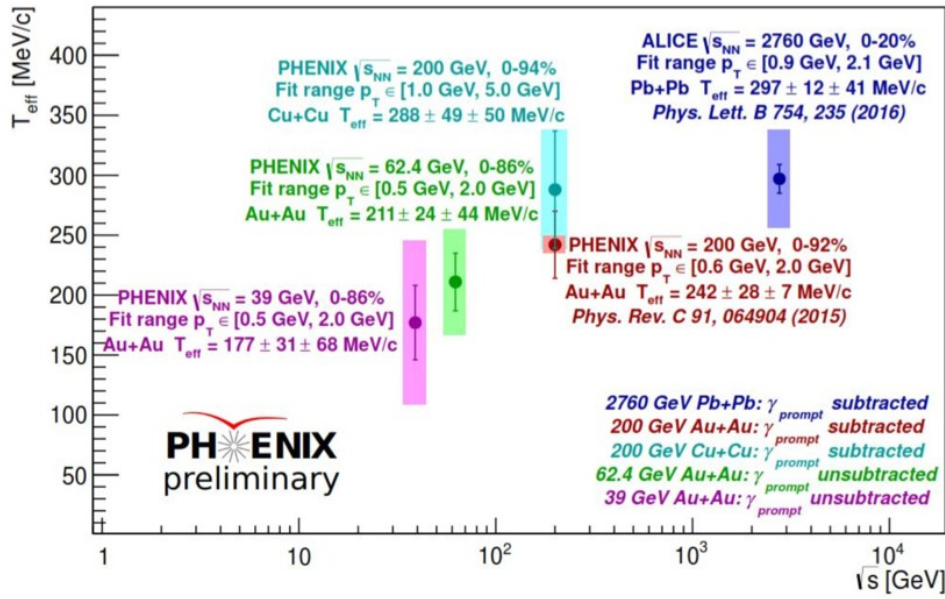


RHIC energies, species combinations and luminosities (Run-1 to 17)



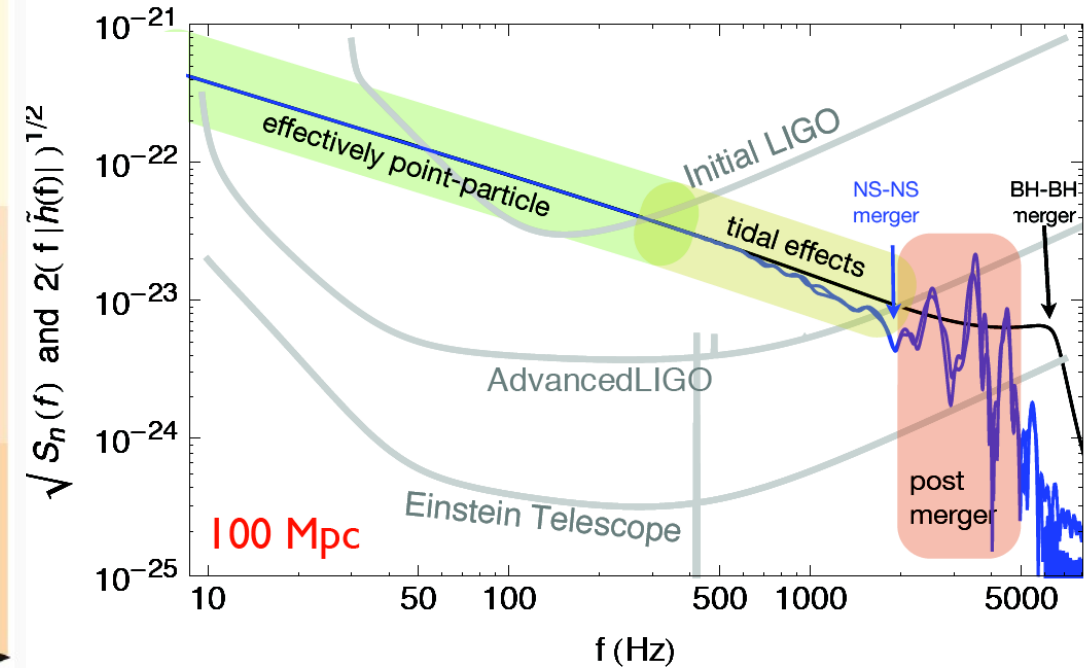
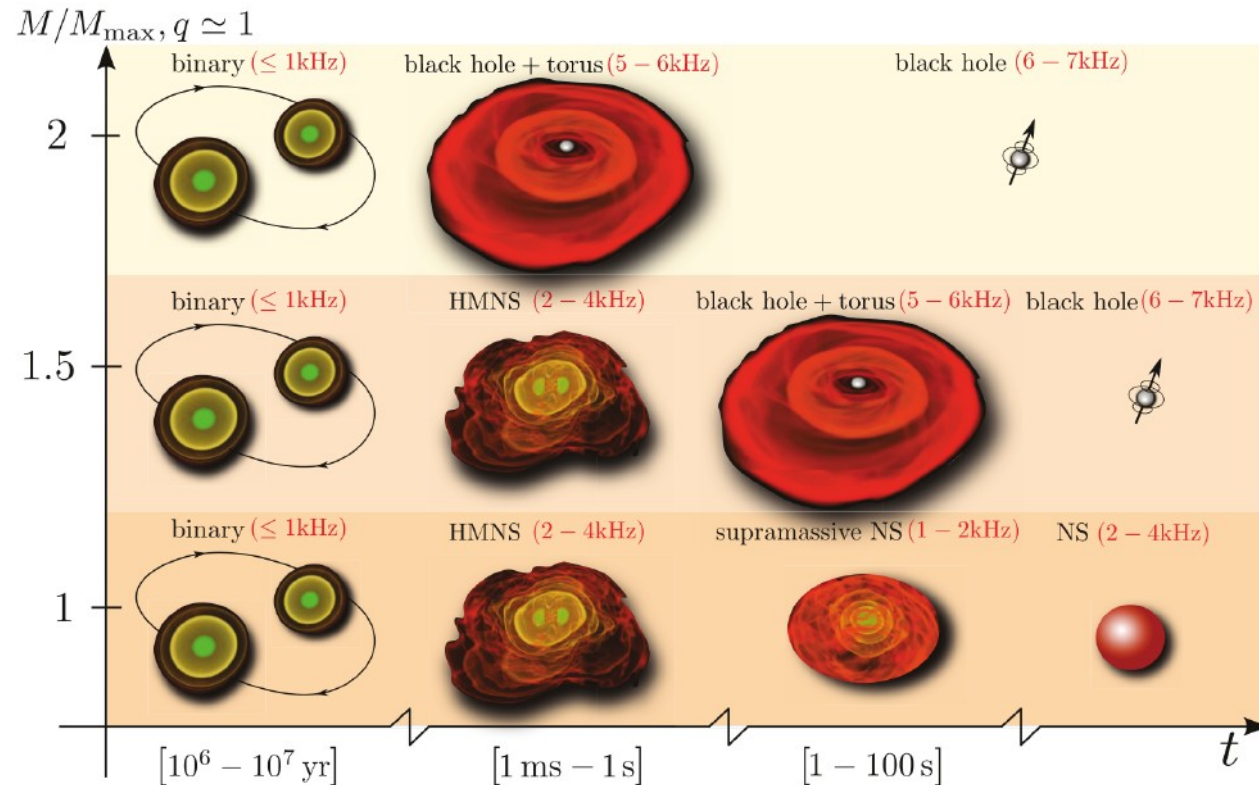
Nehézionfizikai kísérletek

- Eredmény: Fázisdiagram

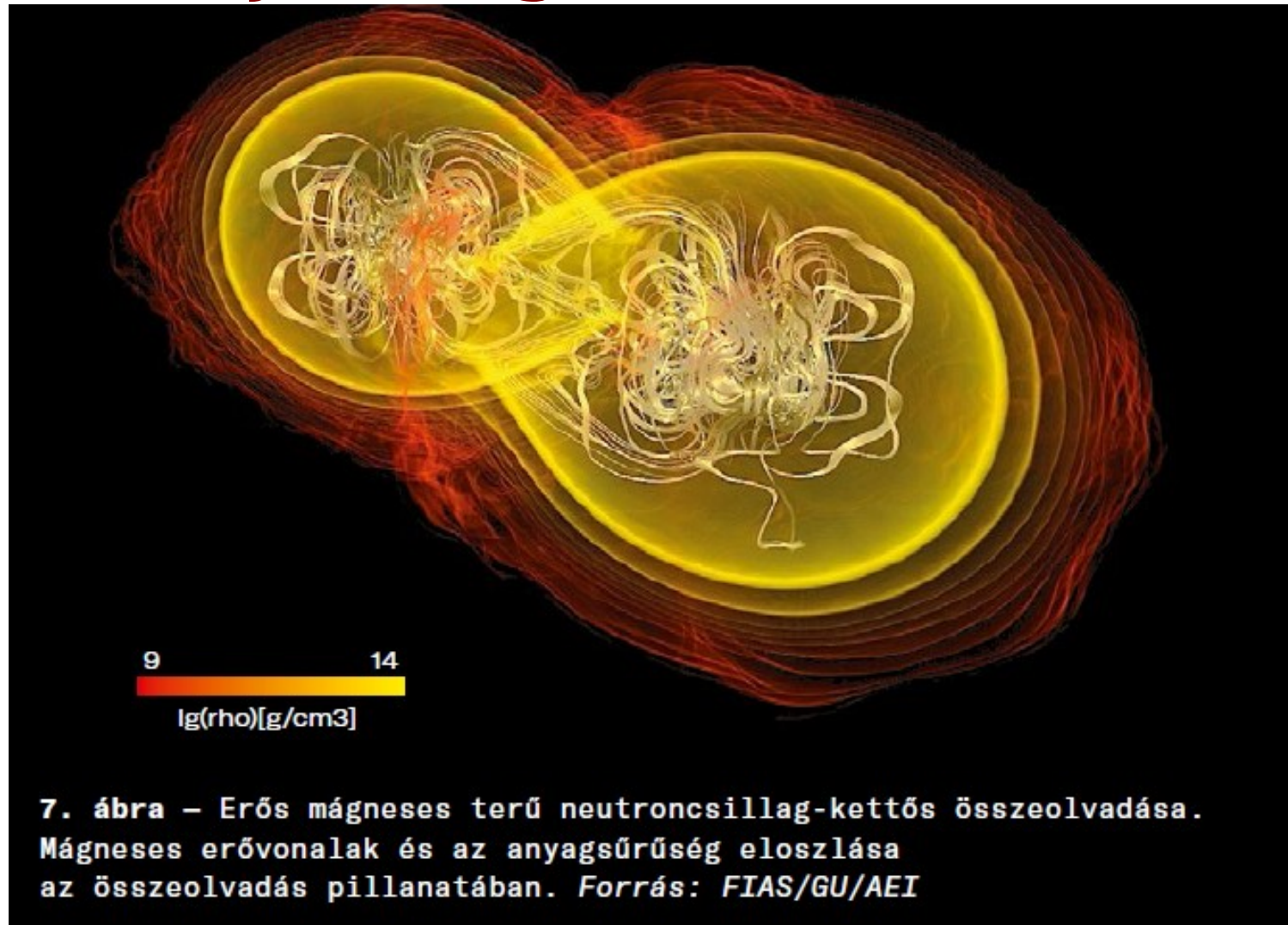


GW: új vizsgálati módszerek

- NSNS összeolvadás

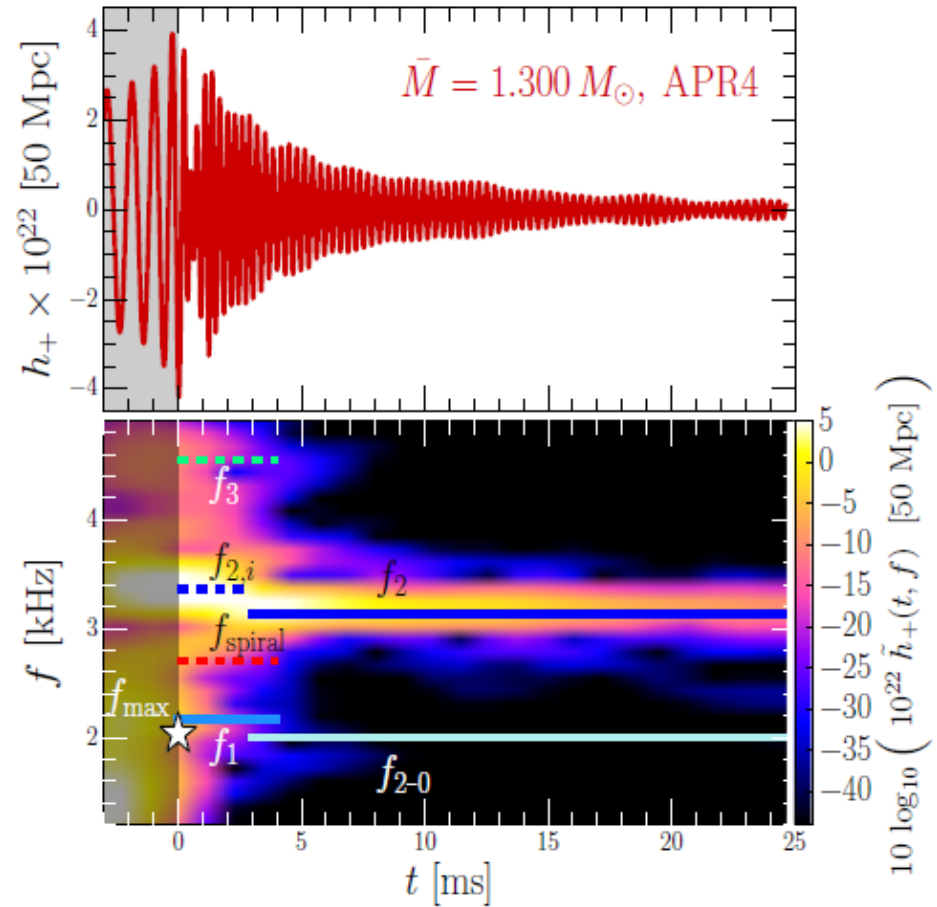
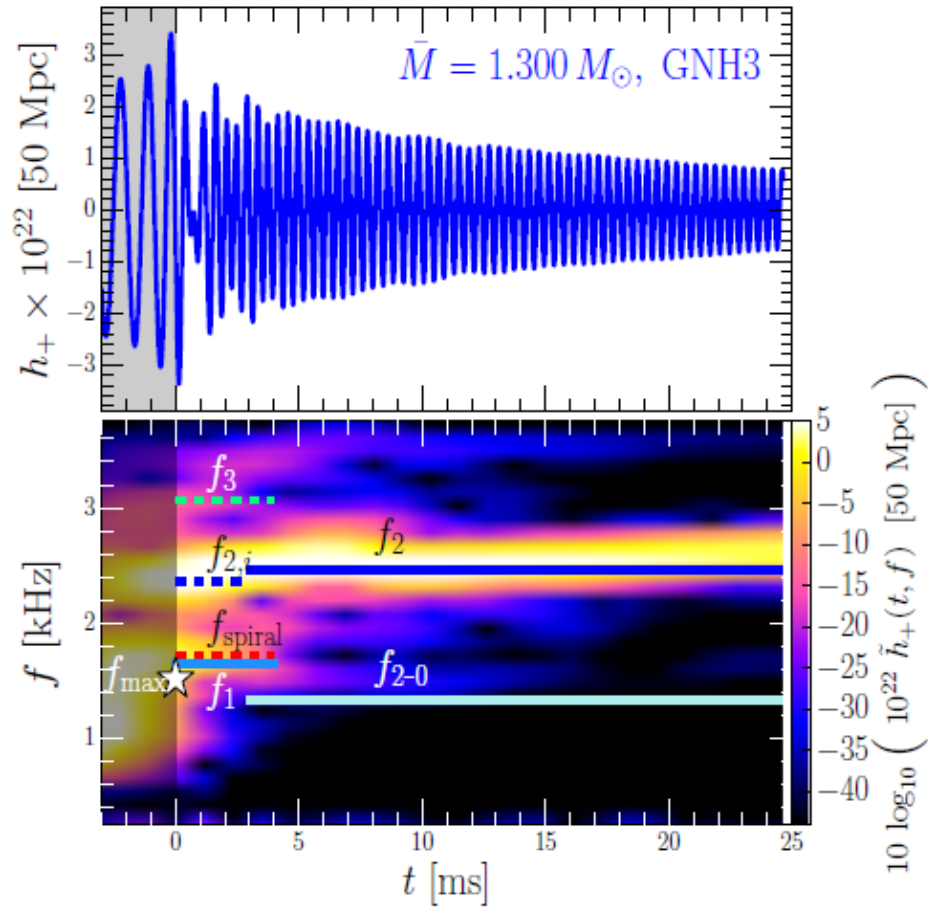


GW: új vizsgálati módszerek



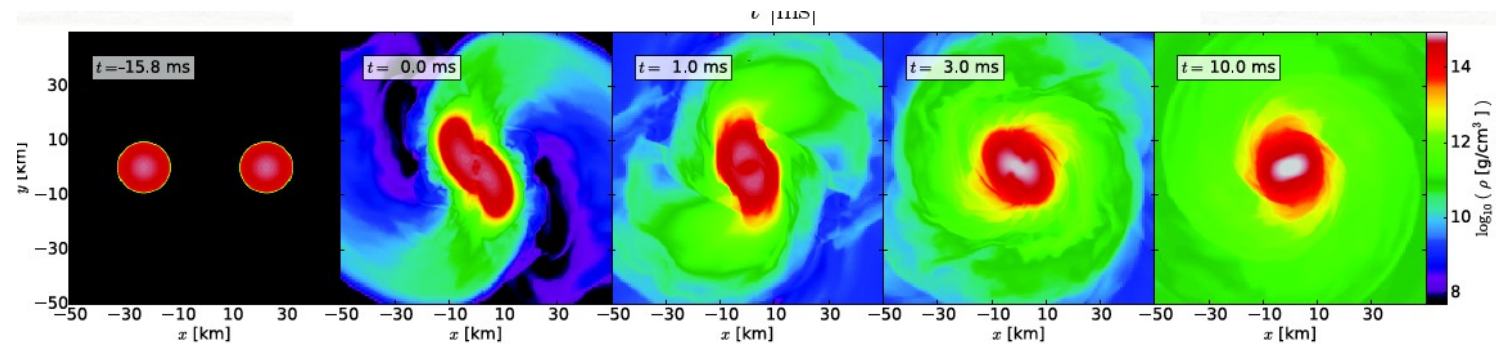
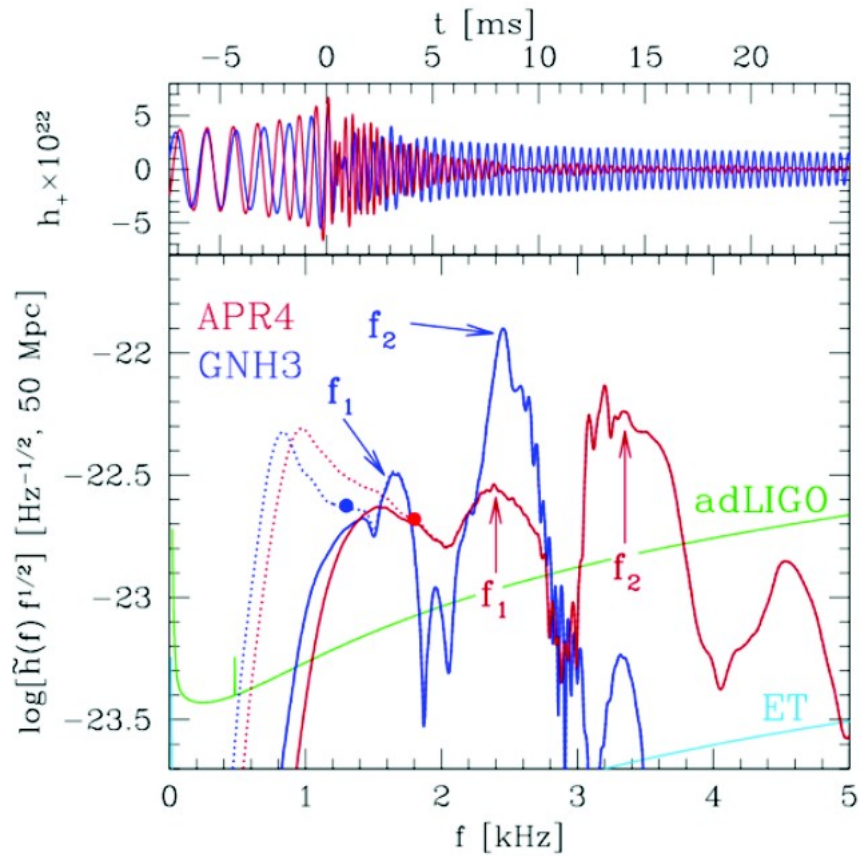
GW: új vizsgálati módszerek

- Minden EoS külön “újjlenyomat”



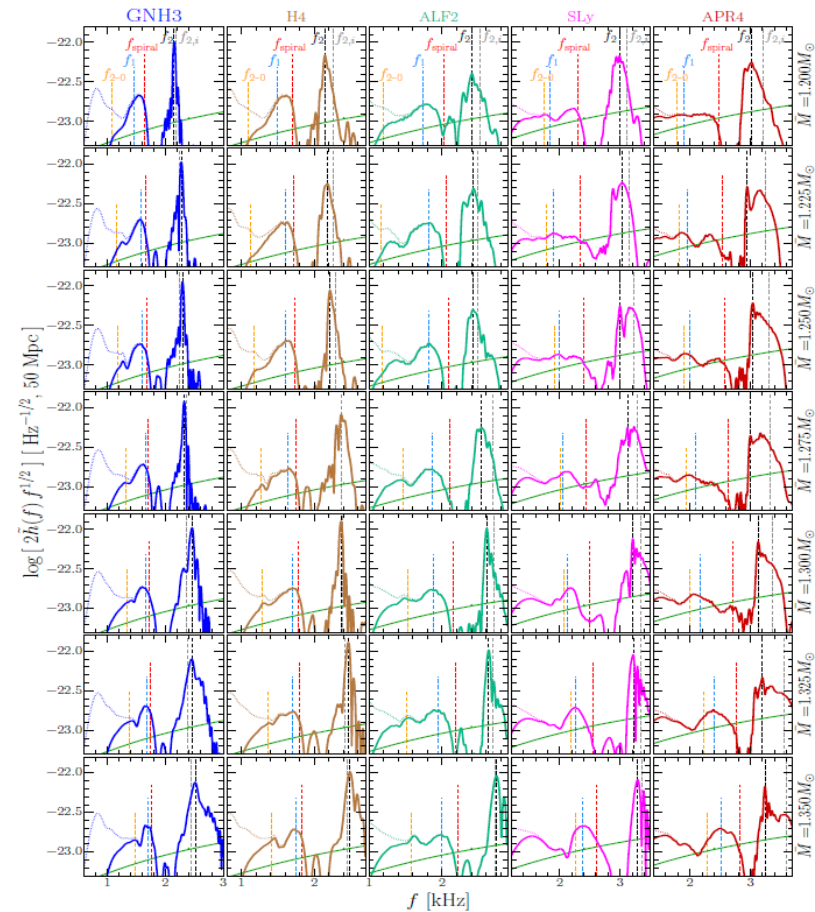
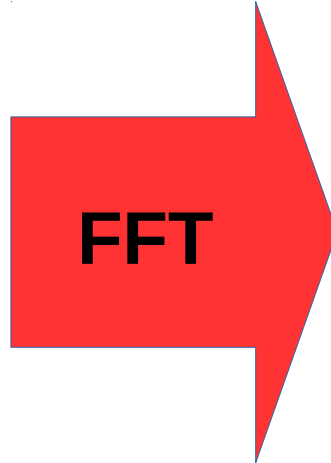
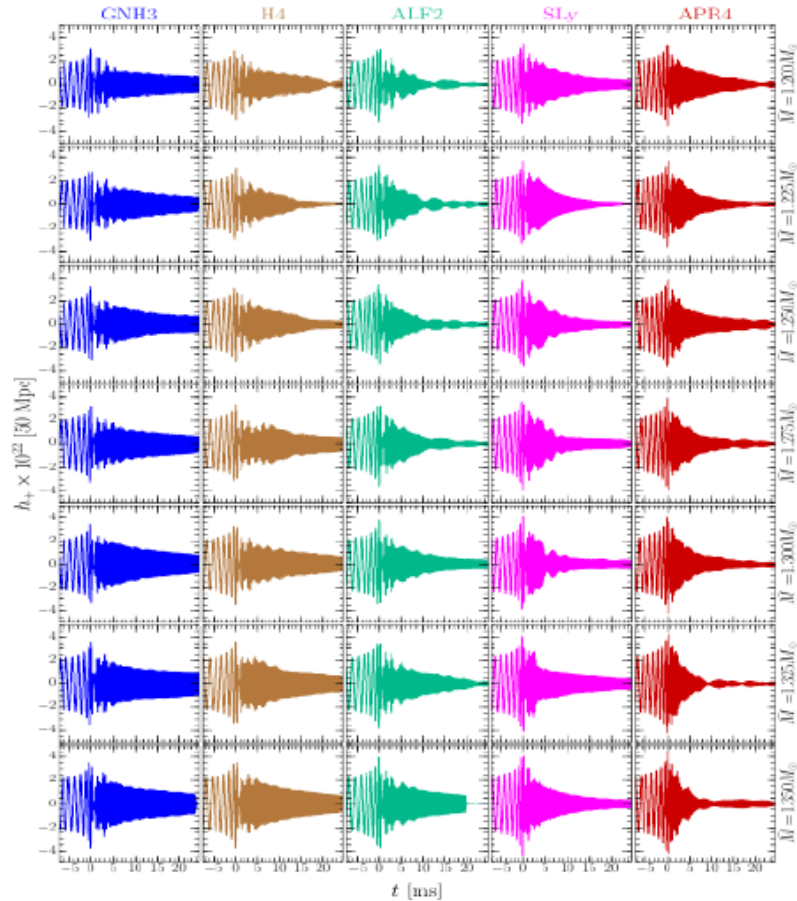
GW: új vizsgálati módszerek

- Minden EoS külön “újjlenyomat”



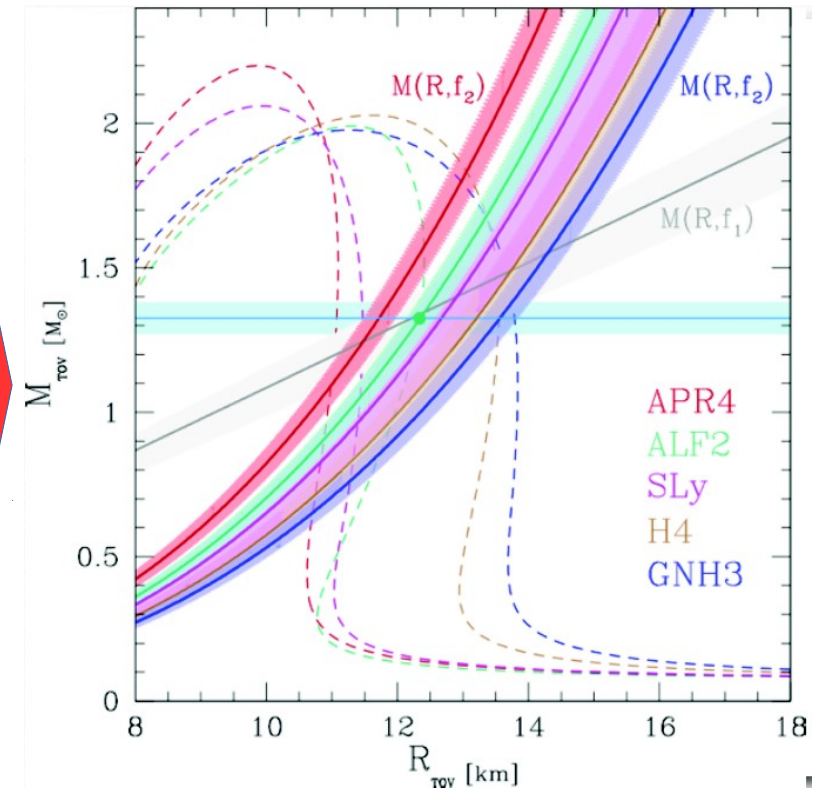
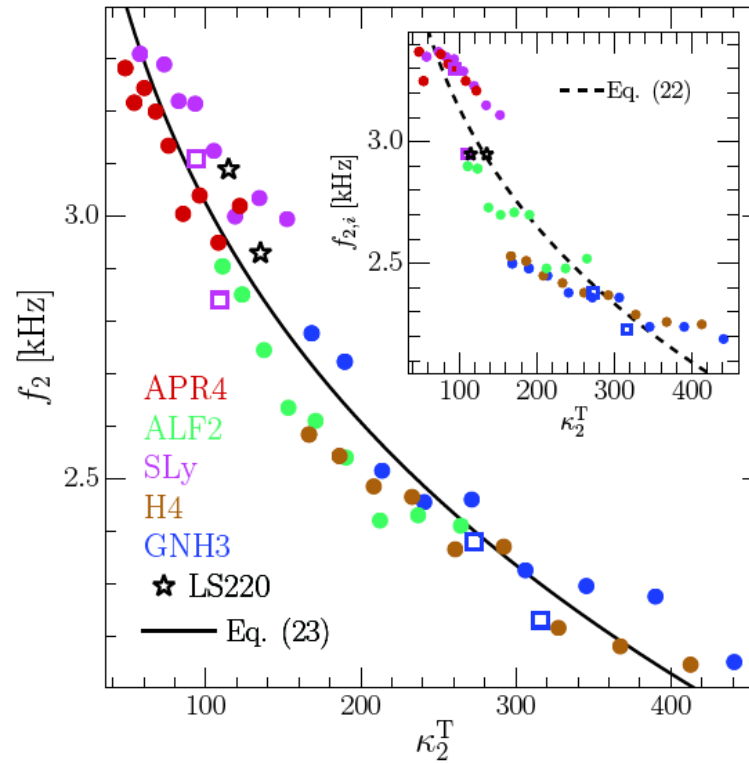
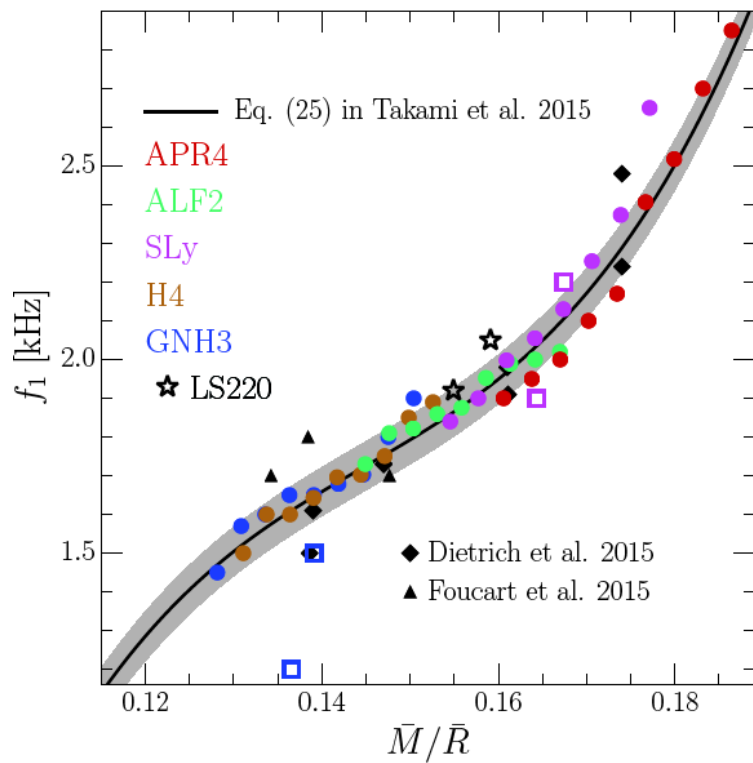
GW: új vizsgálati módszerek

- Minden EoS külön “újnyomatot”



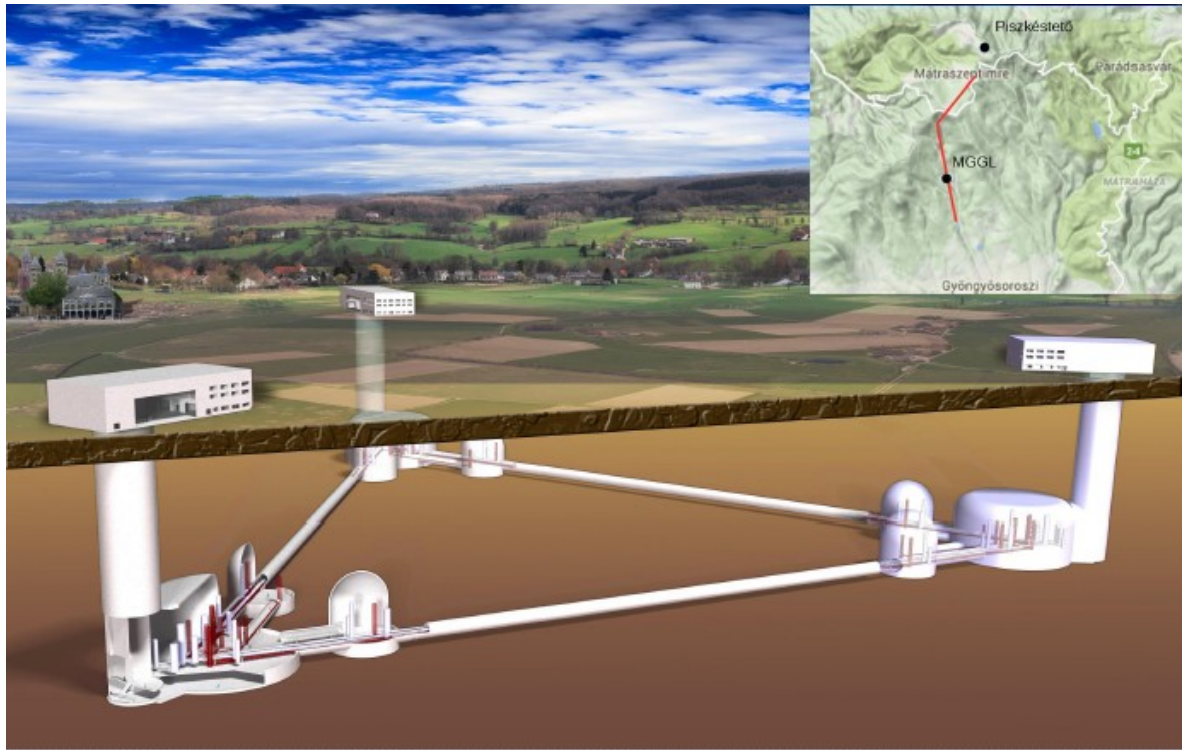
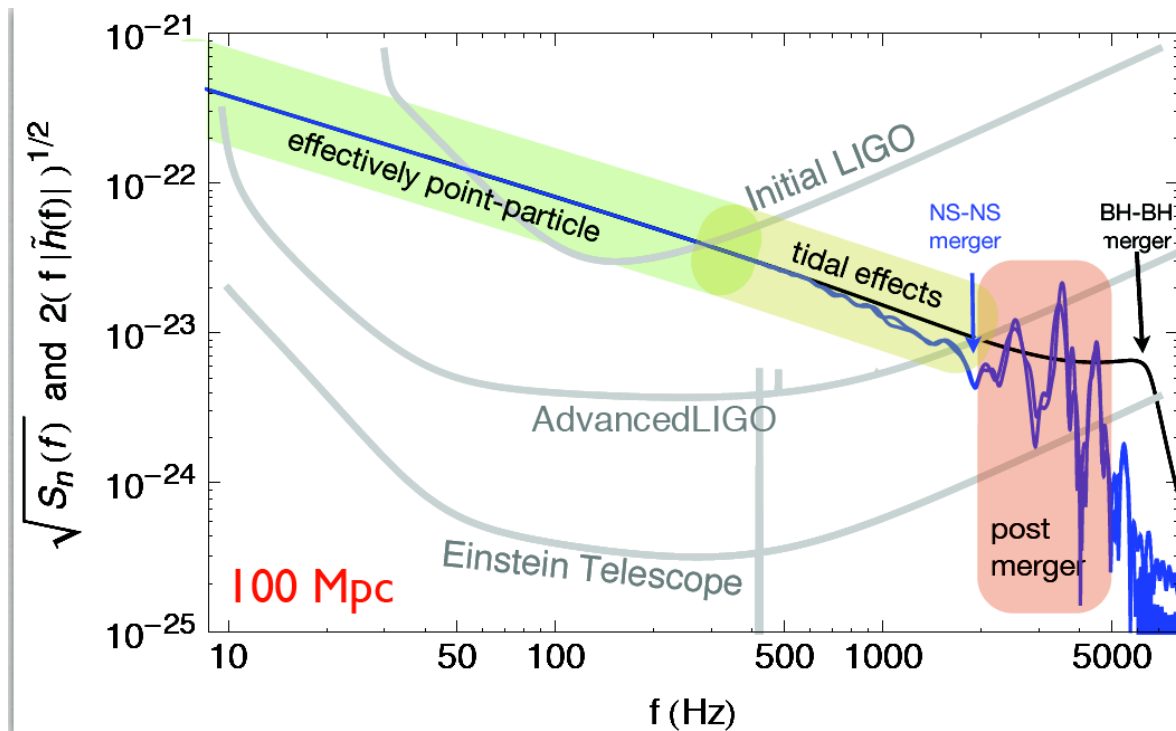
GW: új vizsgálati módszerek

- Az összeolvadó és a lecsengő frekvenciák, erősen tömegfüggőek



GW: új vizsgálati módszerek

- Einstein teleszkóp: miért lenne jó?

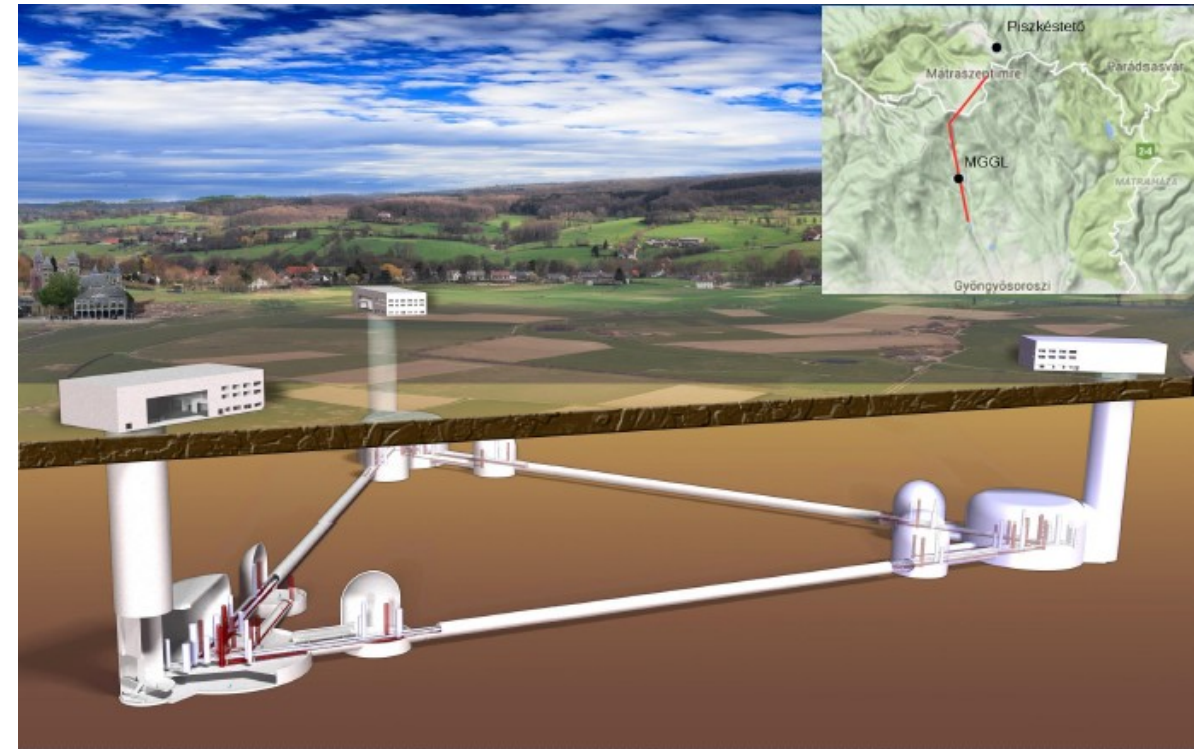
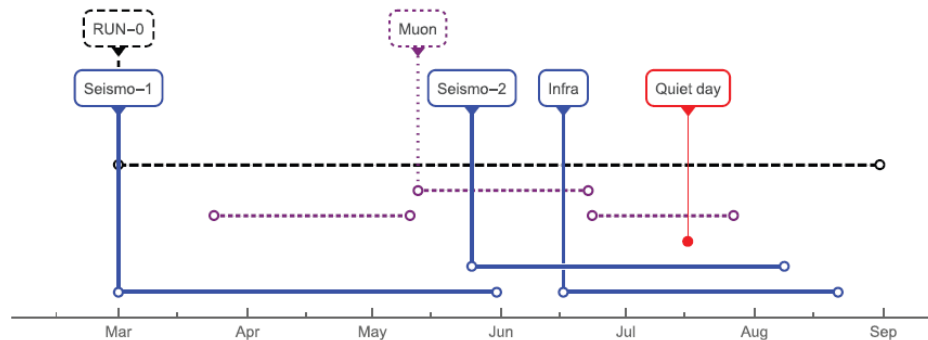


GW: új vizsgálati módszerek

- Einstein teleszkóp: miért lenne jó?
Class & Quant Grav. 34 (2017)1144001

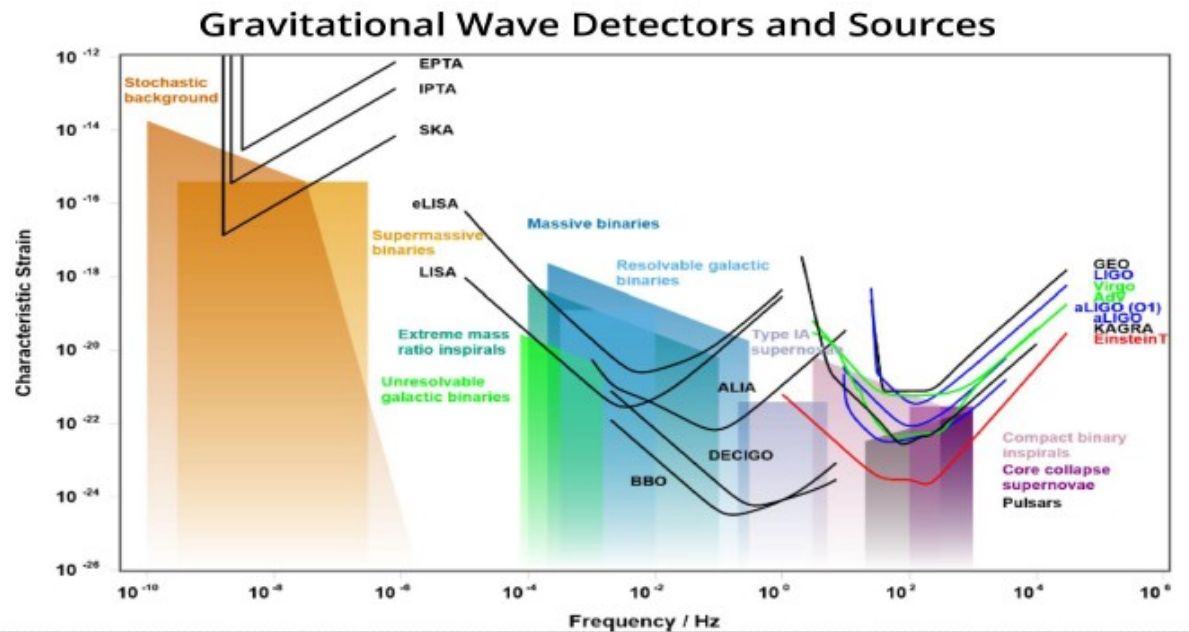
First report of long term measurements of the MGGL laboratory in the Mátra mountain range

G G Barnaföldi¹, T Bulik^{8,9}, M Cieslar⁸, E Dávid¹, M Dobróka⁴, E Fenyvesi³, D Gondek-Rosinska¹⁰, Z Grácz², G Hamar¹, G Huba¹, Á Kis², R Kovács^{1,5}, I Lemperger², P Lévai¹, J Molnár³, D Nagy³, A Novák², L Oláh¹, P Pázmándi¹, D Piri², L Somlai¹, T Starecki⁷, M Suchenek⁷, G Surányi¹¹, S Szalai², D Varga¹, M Vasúth¹, P Ván^{1,5}, B Vásárhelyi⁶, V Wesztergom² and Z Wéber²



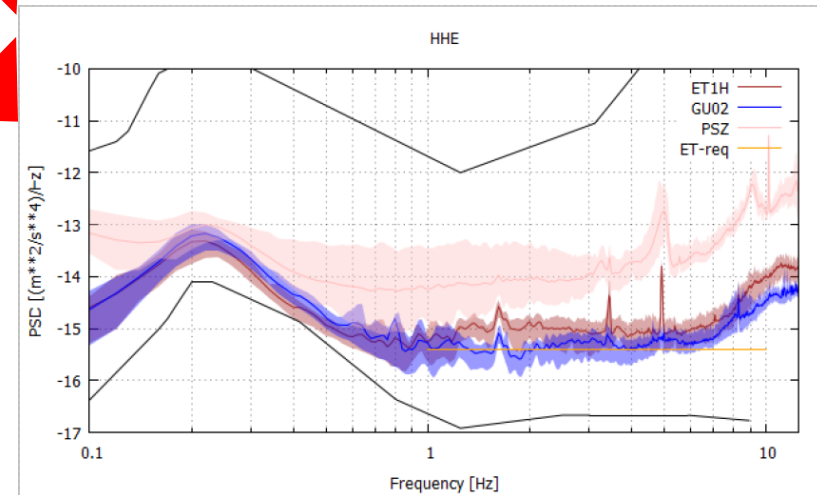
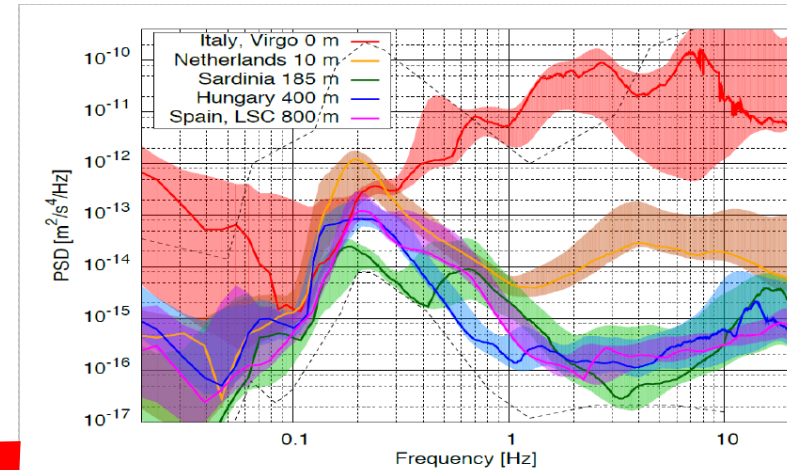
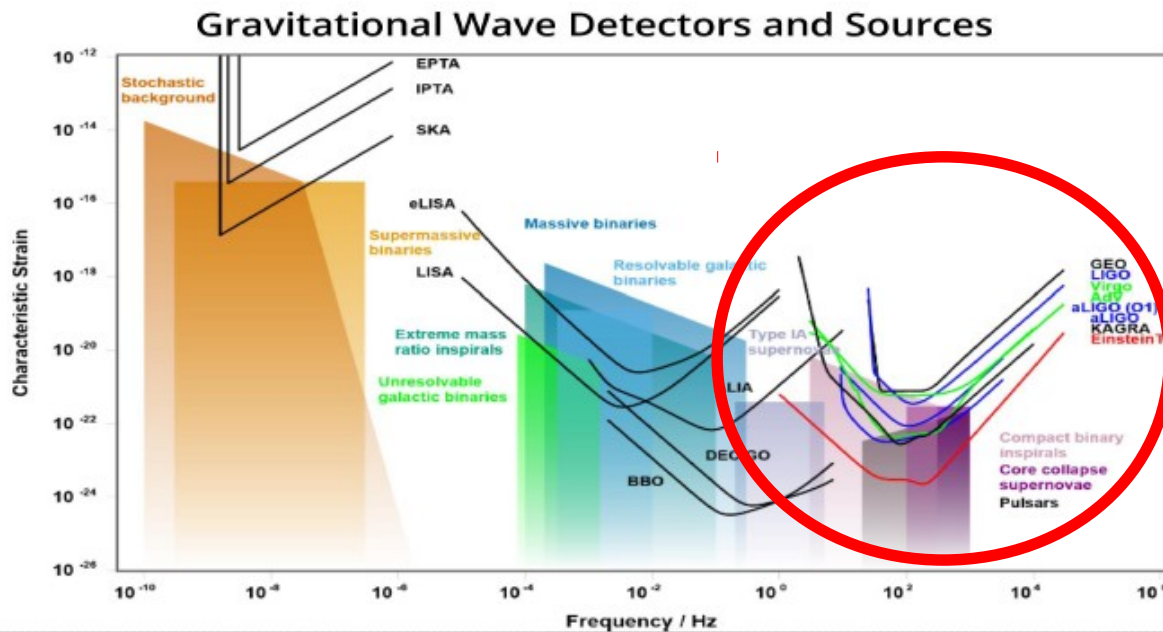
GW: új vizsgálati módszerek

- Einstein teleszkóp: miért lenne jó?
Class & Quant Grav. 34 (2017)1144001



GW: új vizsgálati módszerek

- Einstein teleszkóp: miért lenne jó?
Class & Quant Grav. 34 (2017)1144001



Hazai kutatások

- Szupersűrű maganyag állapotegyenletének elméleti vizsgálata
 - Nemlineáris szigma modell fejlesztése, közepes energiás ütközések BUU GSI/FAIR & NICA (**Kovács P**)
 - Neutroncsillag állapotegyenlet FRG módszerrel, extra dimenziós csillaganyag elméleti vizsgálata
 - Szupernóva kutatások, nukleonszintézis
 - Rács QCD számolások (Budapest Wuppertal group)
 - Gamma Burstok vizsgálata (**Bagoly Zs, Horváth I**)
 - Gravitációelméleti kutatások (**Barta D, Ván P**)
- Erősen kölcsönható anyag fázisainak kísérleti vizsgálata
 - CERN SPS: NA61/SHINE (adatelemzés, detektorfejlesztés és szimuláció)
 - BNL RHIC: PHENIX BES (adatelemzés)
 - GSI/FAIR & DUBNA NICA & MAP (detektorfejlesztés, detektorszimuláció)
 - GW elemzés LIGO/Virgo (**Dálya G, Kocsis B**) Einstein teleszkóp (**Ván P**)

A kompakt csillag kutatás jövője

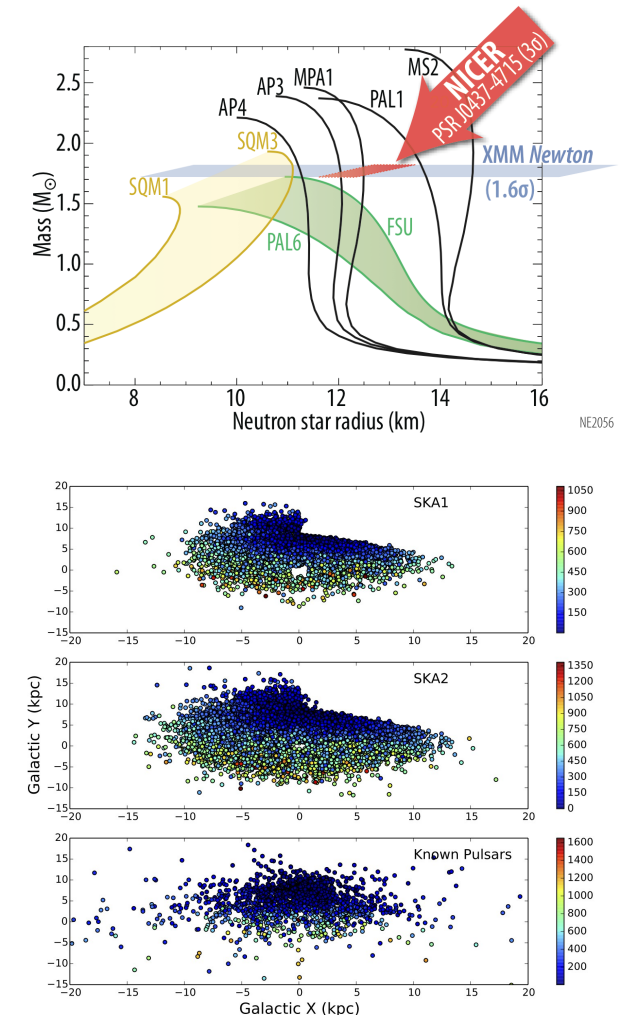
Jövőbeli megfigyelések

- **Legújabb eszközök**

- GW: LIGO/VIRGO
- EM: NICER, FERMI, NEWTON XMM, teleszkópok
- HIC: RHIC BES, CERN SPS NA61, CERN LHC ALICE

- **Tervzett megfigyelőeszközök**

- GW: ad LIGO/VIRGO (2017-), India, ET
- EM: eROSITA (2020), SKA (2025)
- HIC: NICA (2018), RHIC sPHENIX/STAR, FAIR/GSI (2020), CERN LHC ALICE Run3 (2020)



Elméleti perspektívák

- **Legújabb elméleti módszerek**

- Magfizika: Lehülés, fázsszerkezet & EoS (T,B,EM), LQCD, FRG
- GR: forgás + elektromágneses tér, alternatív GR,

Állapotegyenlet adatbázis → CompOSE <https://compose.obspm.fr/>

- **Jövőbeli elméleti irányok**

Erőforrások: IT + megfigyelés & kísérleti adatok + új elméletek

- Magfizika: Egyesített EoS “GuEoS” B, T (PRN), NS, SN, LQCD numerikus módszerek, fázisdiagram feltérképezése.
- GR: Fejlettebb template-ek, alternatív GR, numerikus módszerek
...több adat és EoS megszorítás → CompOSE

Kutatási támogatások

- **THOR EU COST Action CA15213**

Theory of Hot Matter and Relativistic Heavy Ion Collisions (2016-2020)

<http://thor-cost.eu>

- **PHAROS EU COST Action CA16214**

The multi-messenger physics and astrophysics of neutron stars (2017-2021)

<http://www.pharos.ice.csic.es/>



The poster for THOR COST Action CA15213 features a central visualization of a heavy-ion collision, showing a dense, glowing red and orange core with blue and white streaks radiating outwards, representing the hot matter produced in the collision. The background is black, making the colorful elements stand out. Logos for COST, THOR, and the European Union are visible in the corners.

cost
EUROPEAN COOPERATION
IN SCIENCE AND TECHNOLOGY

COST Action CA15213
http://www.cost.eu/COST_Actions/ca/CA15213

THOR

**Theory of Hot Matter
and Relativistic Heavy-Ion Collisions**

Duration of the Action: 2016-2020

Action Chair: Prof. Marcus Bleicher
Action Vice Chair: Prof. Boris Tomášik

THOR creates a platform for the theoretical community in Europe as counterpart to the ongoing vigorous experimental activities.

THOR supports:

- meetings of working groups
- training schools for students
- short term exchange visits

The activity is organized in Working Groups

WG1: Phases of strongly interacting matter
Chair: Prof. Gert Aarts, Swansea, UK


WG2: Dynamics of strongly interacting matter
Chair: Prof. Joerg Aichelin, Nantes, FR

WG3: Initial state and hard probes
Chair: Prof. Elena Ferreiro, Santiago de Compostela, ES

Participation open to scientists from (most) European countries.

PLEASE JOIN!

In order to register, visit the website <http://thor-cost.eu>

 COST is supported by the EU Framework Programme Horizon 2020

infó: compstar@lists.kfki.hu

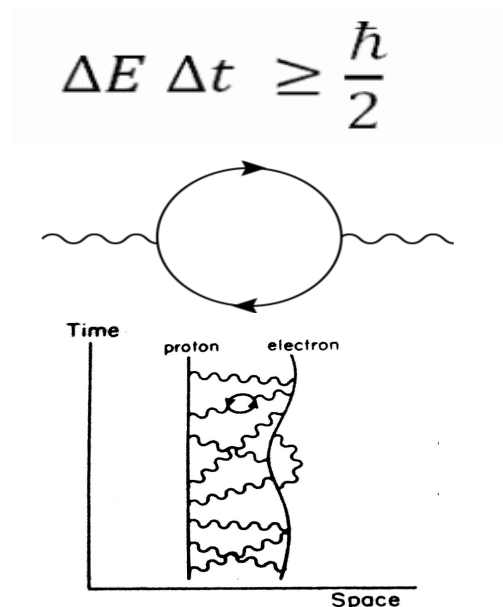
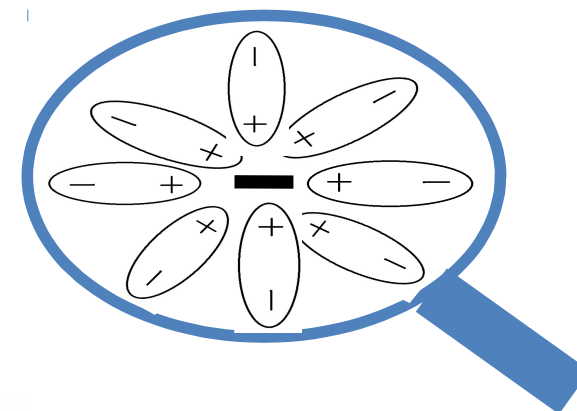
2. Rész: Saját kutatások

Saját kutatások #1

(1) EoS meghatározása FRG alapján: Pósfay Péter, Jakovác Antal
PASA 35 (2018) 19, PRC97 (2018)025803, PRD95 (2017) 025004

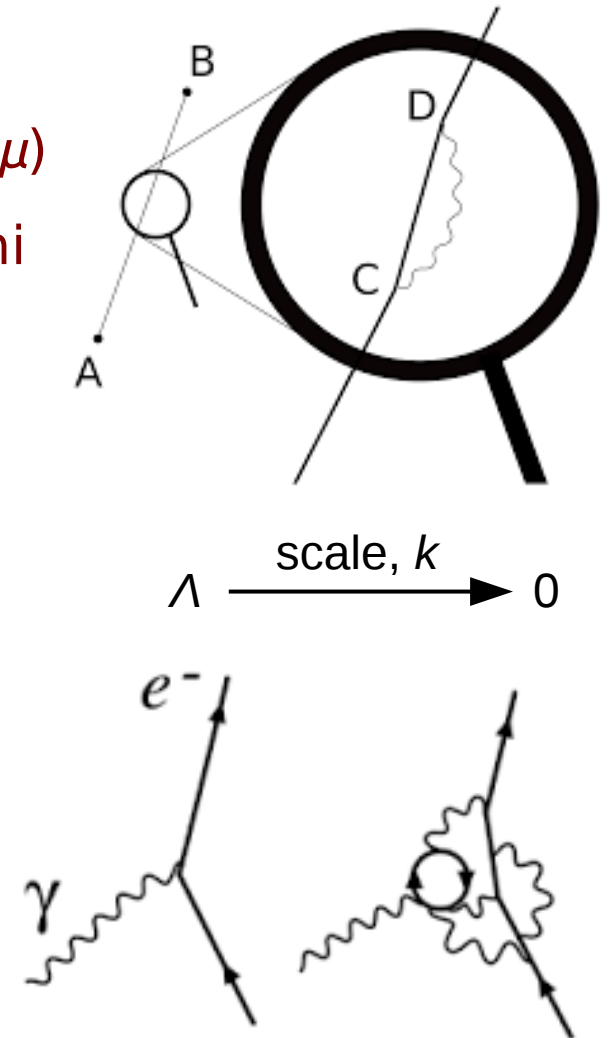
Motiváció: EoS FRG alapján

- **Megfigyelés:** egy ponttöltés polarizálja a közeget, amely hatás okán a közegbeli töltés nagysága megváltozik
- **Alapötlet:** A kölcsönhatás miatt a mérhető (effektív) tulajdonságok értéke eltér a “csupasz” mennyiségektől.
- **Kvantumkorrekciók:**
 - Heisenberg-féle határozatlanság
nagyenergiás folyamatok kis időskálán megengedettek
 - Párkeltés & annihilation
bozonikus propagátor módosul a párkeltés miatt
 - Önkölcsönhatás
A kölcsönhatás a sok fluktuáció felösszegzése



Motiváció: EoS FRG alapján

- Az effektív hatás meghatározása nehéz feladat a térelméletben: pl. szupersűrű anyag EoS ($T \rightarrow 0$, véges μ)
- A kvantumfluktuációkat a k skálával tudjuk figyelembevenni
 - Klasszikus hatás, $S = \Gamma_{k \rightarrow \Lambda}$ az UV határesetben, $k \rightarrow \Lambda$
 - Kvantum hatás, $\Gamma = \Gamma_{k \rightarrow 0}$ az IR határesetben, $k \rightarrow 0$
- FRG módszer
 - Folytonos átmenet a makroszkopikus \rightarrow mikroszkopikus
 - RG módszer a kvantumtérelméletre
 - Nem-perturbatív módszer
 - Független a csatolástól
 - **DE: Technikailag NAGYON nem triviális**



Funkcionális Renormalizációs Csoport (FRG)

- ▶ Az FRG egy általános nemperturbatív módszer, amellyel megkapható a rendszer effektív hatása.
- ▶ **Skálafüggő effektív hatás (k skálaparaméter)**

$$\partial_k \Gamma_k = \frac{1}{2} \int dp^D \text{STr} \left[\frac{\partial_k R_k}{\Gamma_k^{(2)} + R_k} \right]$$

Wetterich
egyenlet

$k=\Lambda$
Klasszikus hatás



Integrálás

$k=0$
Kvantum
fluktuációkkal

Funkcionális Renormalizációs Csoport (FRG)

- ▶ Az FRG egy általános nemperturbatív módszer, amellyel megkapható a rendszer effektív hatása.
- ▶ **Skálafüggő effektív hatás (k skálaparaméter)**

$$\partial_k \Gamma_k = \frac{1}{2} \int dp^D \text{STr} \left[\frac{\partial_k R_k}{\Gamma_k^{(2)} + R_k} \right]$$

Wetterich
egyenlet

- ▶ **Integrációs ansatz**

- Nem kell perturbatívnak lennie
- Skálafüggő a csatolás

$$\Gamma_k = \sum_{l=1}^{l=N} \frac{g_l(k)}{l!} \hat{O}_l$$

Funkcionális Renormalizációs Csoport (FRG)

- ▶ Az FRG egy általános nemperturbatív módszer, amellyel megkapható a rendszer effektív hatása.
- ▶ **Skálafüggő effektív hatás (k skálaparaméter)**

$$\partial_k \Gamma_k = \frac{1}{2} \int dp^D \text{STr} \left[\frac{\partial_k R_k}{\Gamma_k^{(2)} + R_k} \right]$$

Wetterich
egyenlet

- ▶ **Regulator**
 - A módusok meghatározása a k skálánál
 - A "fizika" független ettől

Ansatz: kölcsönható fermion-gáz modell

Effektív hatás feltétel (ansatz):

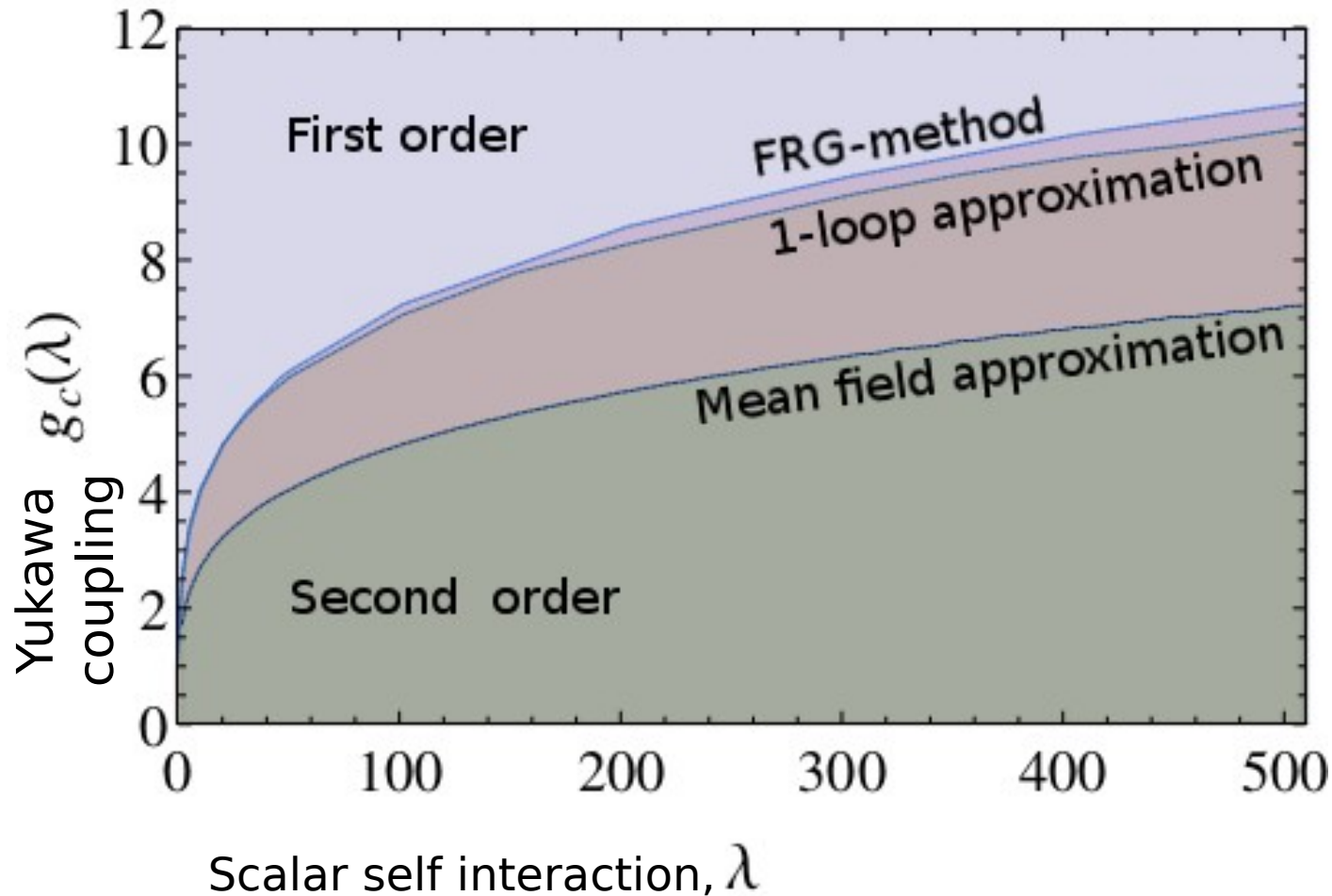
$$\Gamma_k[\varphi, \psi] = \int d^4x \left[\bar{\psi} (i\partial - g\varphi) \psi + \frac{1}{2} (\partial_\mu \varphi)^2 - U_k(\varphi) \right]$$

Fermionok : $m=0$, **Yukawa-csatolás** generálja a tömeget

Bosonok: a **potenciál** tartalmazza az önkölcsönhatást

Csak a skálafüggő potenciált vizsgáljuk!!

Eredmények: Kölcsönható fermion-gáz model fázisai



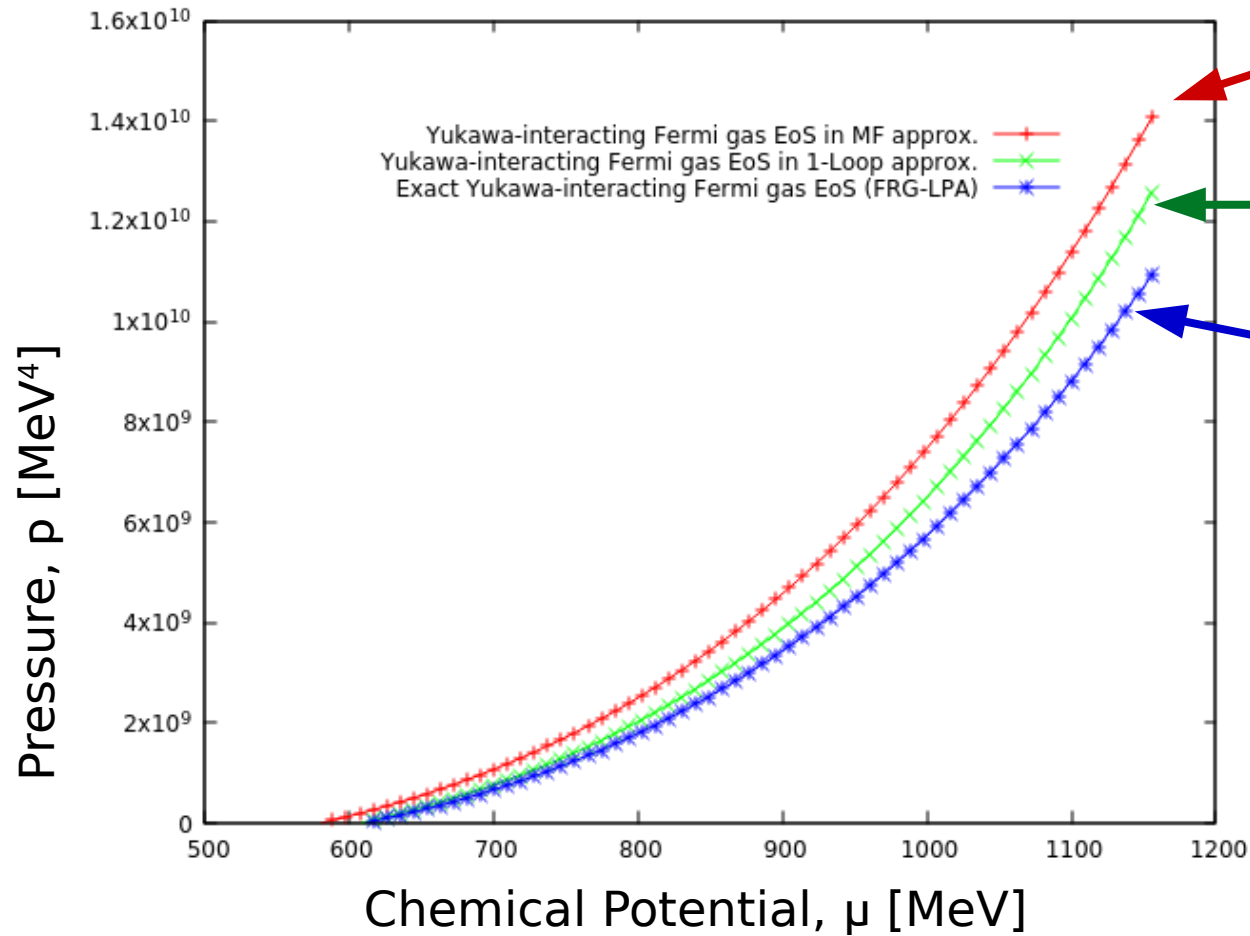
Az FRG megoldás tartalmazza a kvantumfluktuációkat

Az 1-hurok (1L) közelítésben csak a fa gráf járulékok vannak

Átlagtér közelítésben (MF) a kölcsönhatásra kiátlagolunk

A fázisszerkezet hasonló az FRG és 1L közelítésekben → vezető rend adja a legnagyobb járulékot

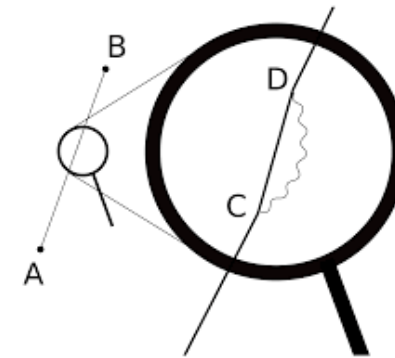
Eredmények: MF, 1L, & FRG EoS összehasonlítása



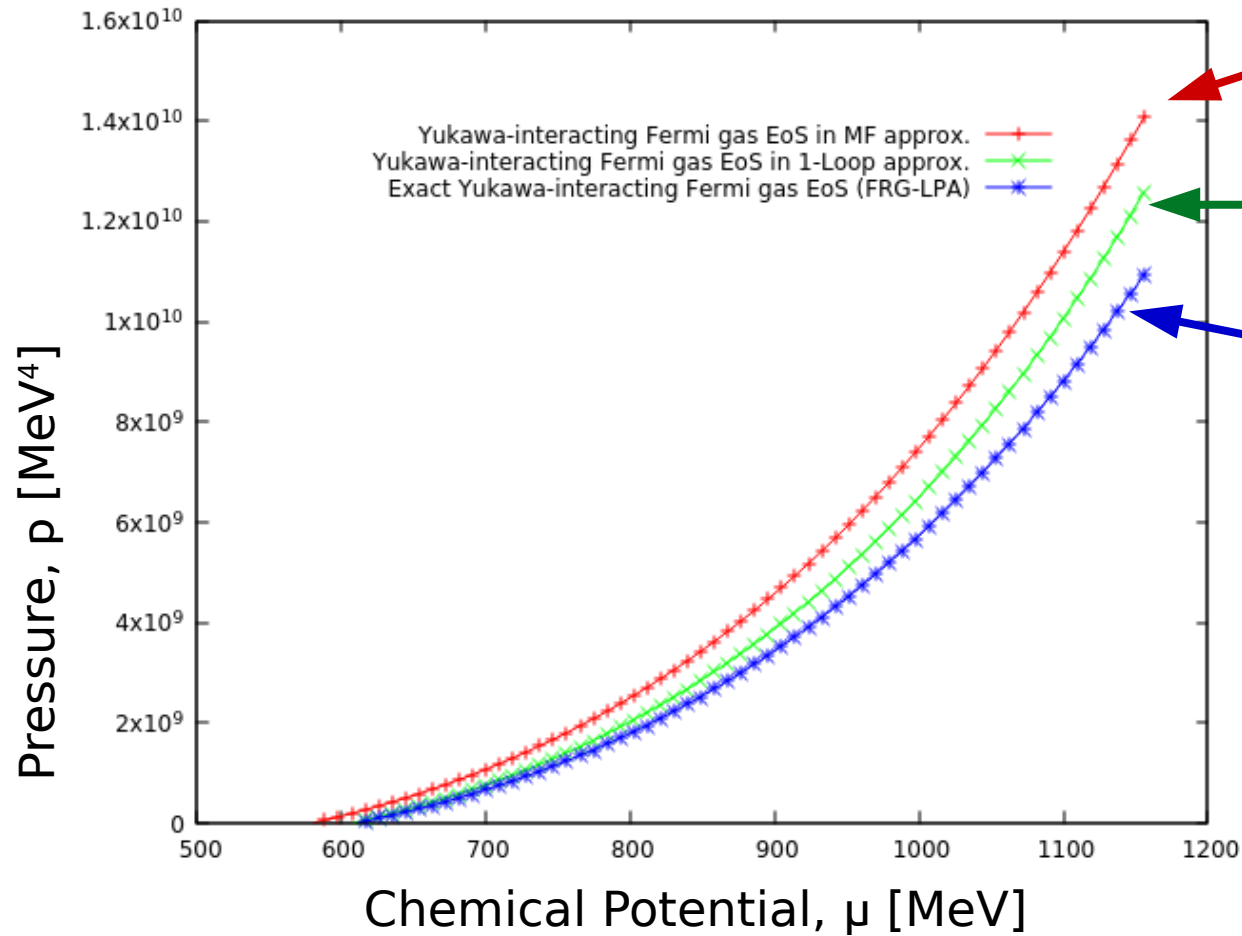
MF a legkeményebb

egyhurok közelítés (1L)

FRG megoldás a legpuhább



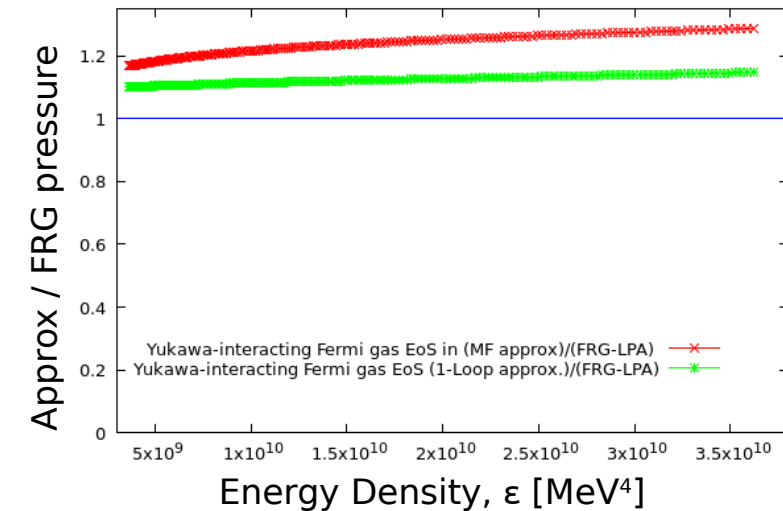
Eredmények: MF, 1L, & FRG EoS összehasonlítása



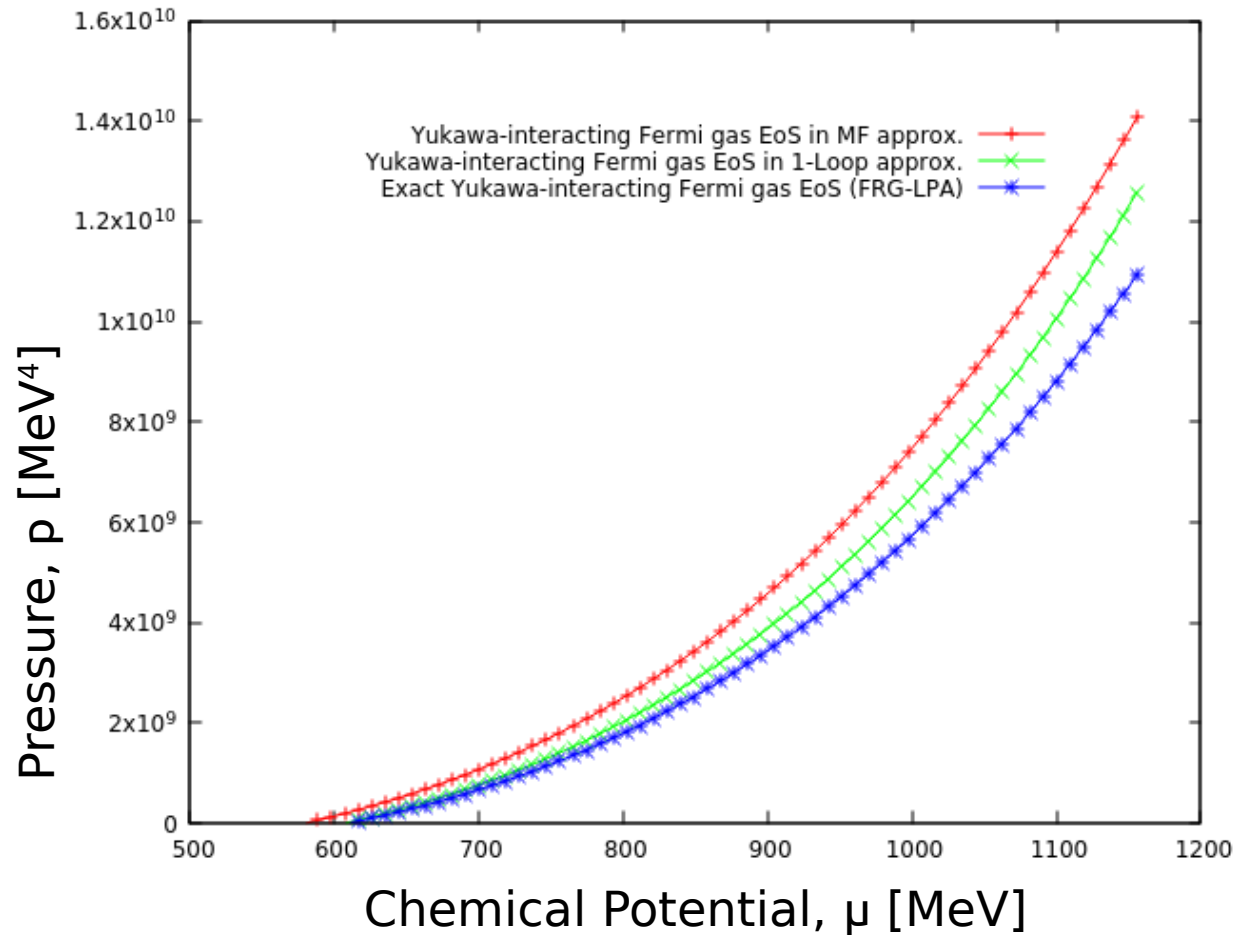
MF 25%-kal keményebb

1L 10%-kal keményebb

FRG megoldás a legpuhább

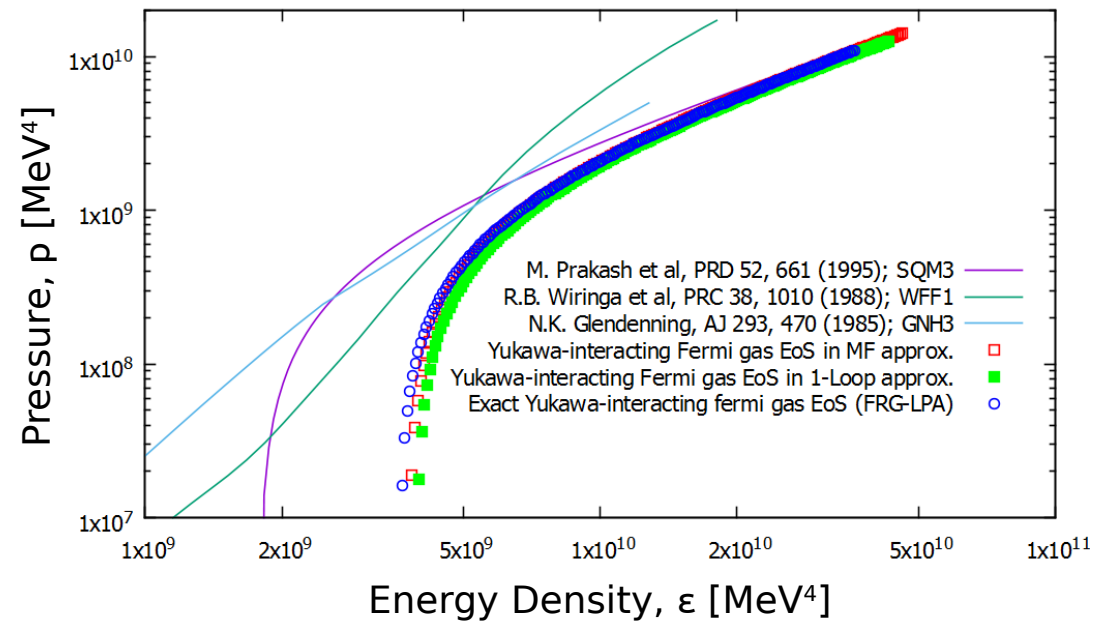


Eredmények: összehasonlítás más EoS modellel

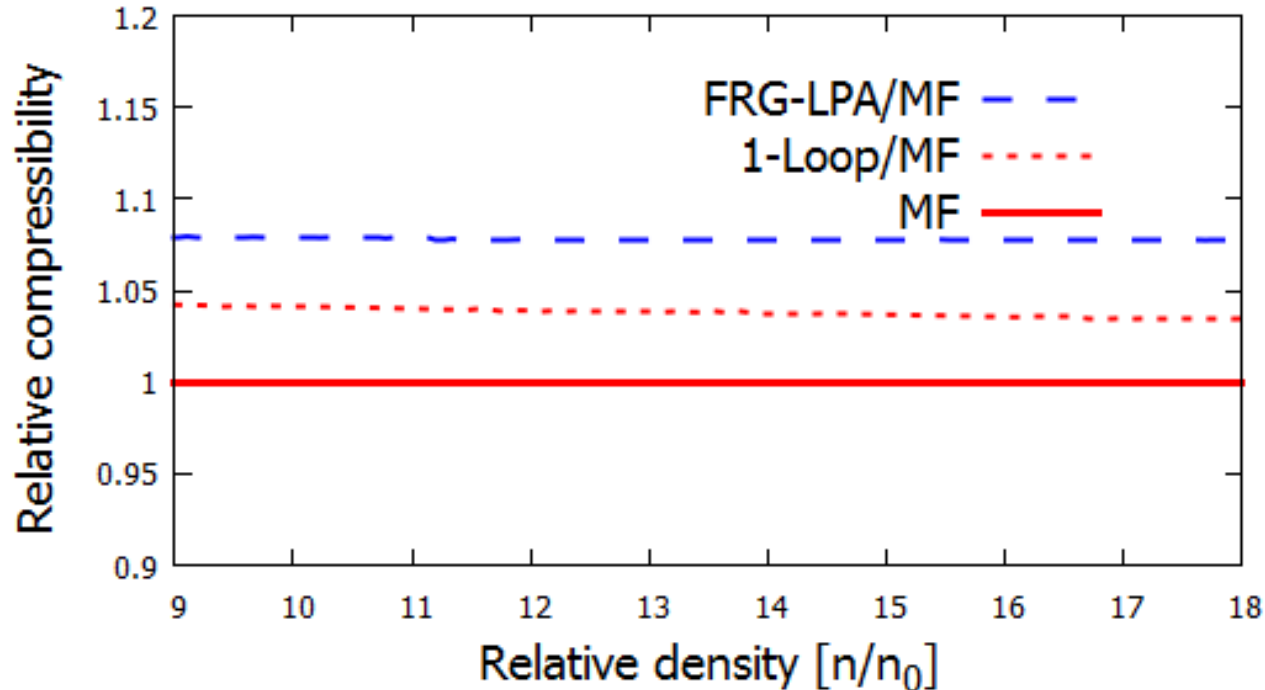


Összevetés: FRG, SQM3, GNH3, WFF1

- hasonló, mint SQM3 nagy ϵ -re
- levágás magasabb, ϵ_{Cut}
- a közelítések hasonlóak



Eredmények: kompresszibilitás összehasonlítása



Összevetés FRG, 1L és MF

– Kompresszibilitás:

$$\frac{1}{\chi} = n \frac{\partial P}{\partial n} = 2n^2 \frac{\partial}{\partial n}(E/A) + n^3 \frac{\partial^2}{\partial n^2}(E/A)$$

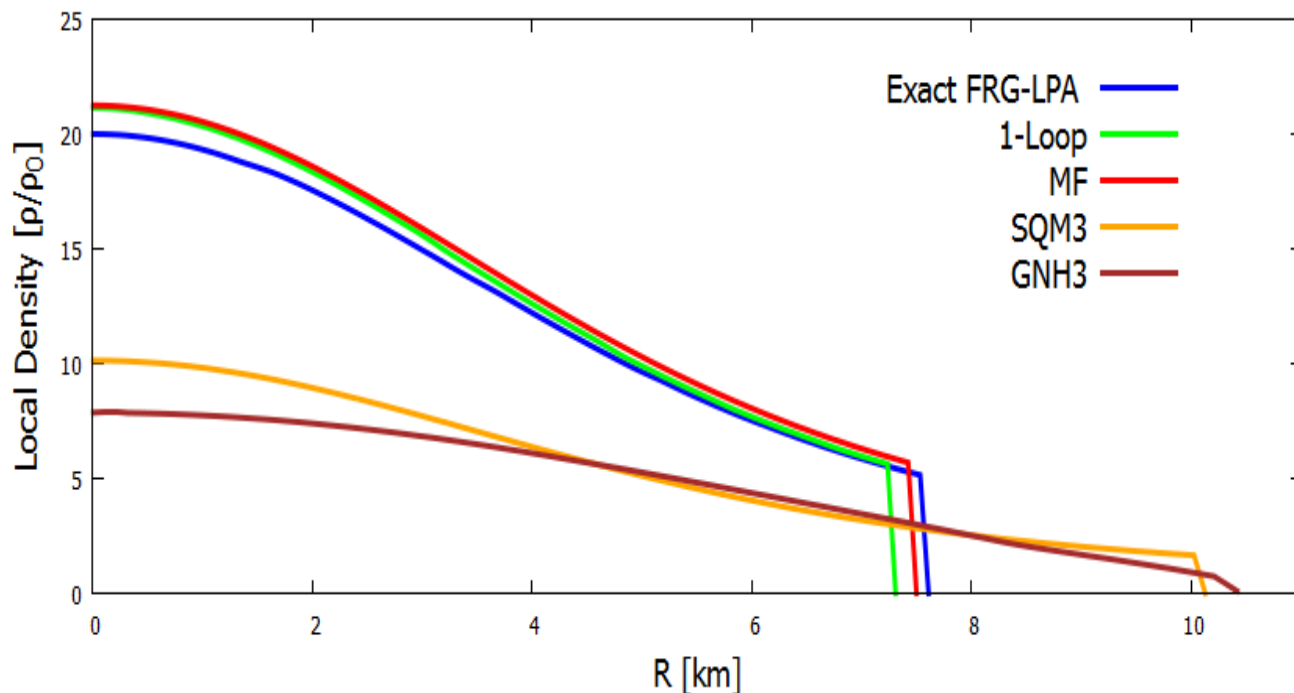
– Kompressziós együttható

$$K = k_F^2 \frac{\partial^2}{\partial k_F^2}(E/A) = \frac{9}{n_0 \chi}$$

– A modellek közötti eltérés ~10%

Eredmények: teszt kompakt csillagban

- ▶ Összehasonlítás FRG, SQM3, GNH3 → TOV eredmény: sűrűség függvény



Az FRG, 1L és MF összevetése

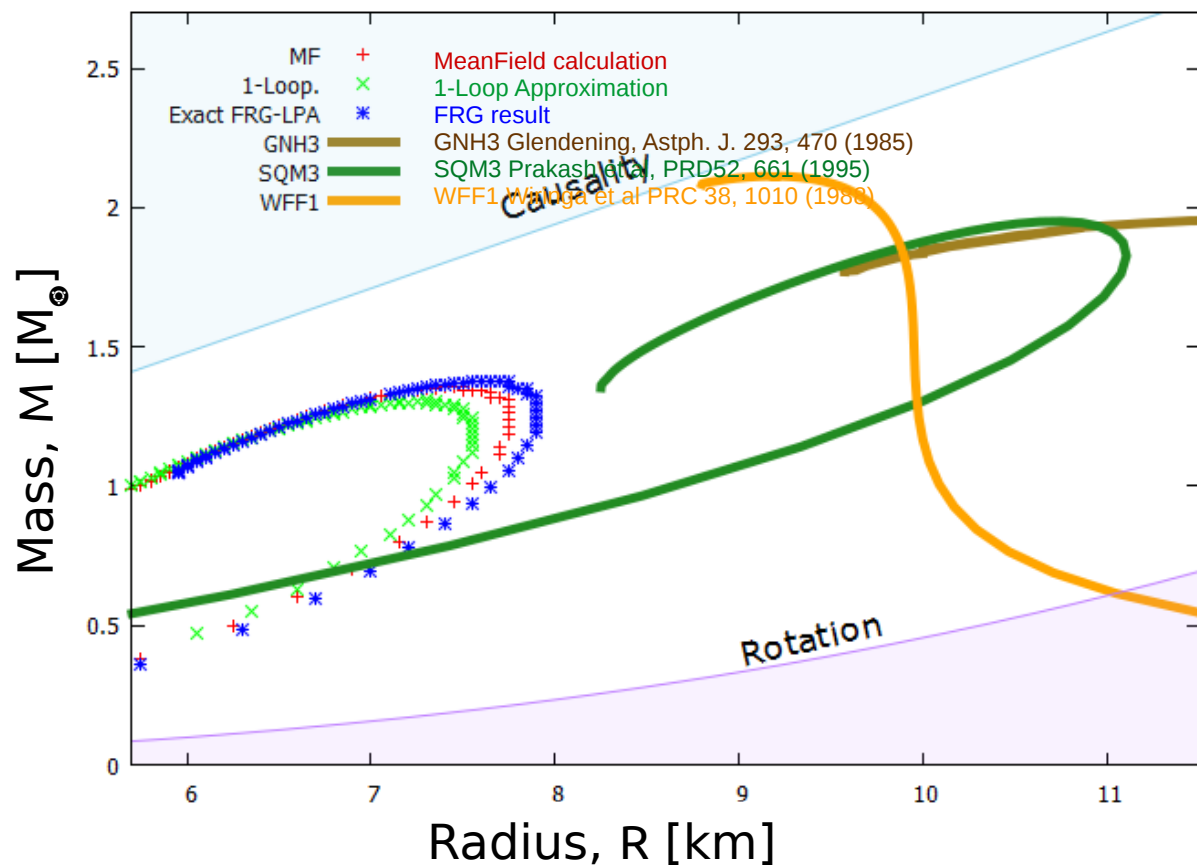
- A puhább FRG → nagyobb csillag
- A nagy- ε rész azonos mindegyikre
- Eltérés: $\sim 5\%$ ($0.1 M_{\odot}$ és 0.5 km)

FRG vs. SQM3, GNH3

- FRG: kis csillag $1.4 M_{\odot}$ és 8 km
- Többi modell: nagyobb sugarú kisebb központi sűrűségű csillag

Eredmények: teszt kompakt csillagban

- ▶ Összehasonlítás FRG, SQM3, GNH3, WFF1 → TOV eredmény: $M(R)$



Az FRG, 1L és MF összevetése

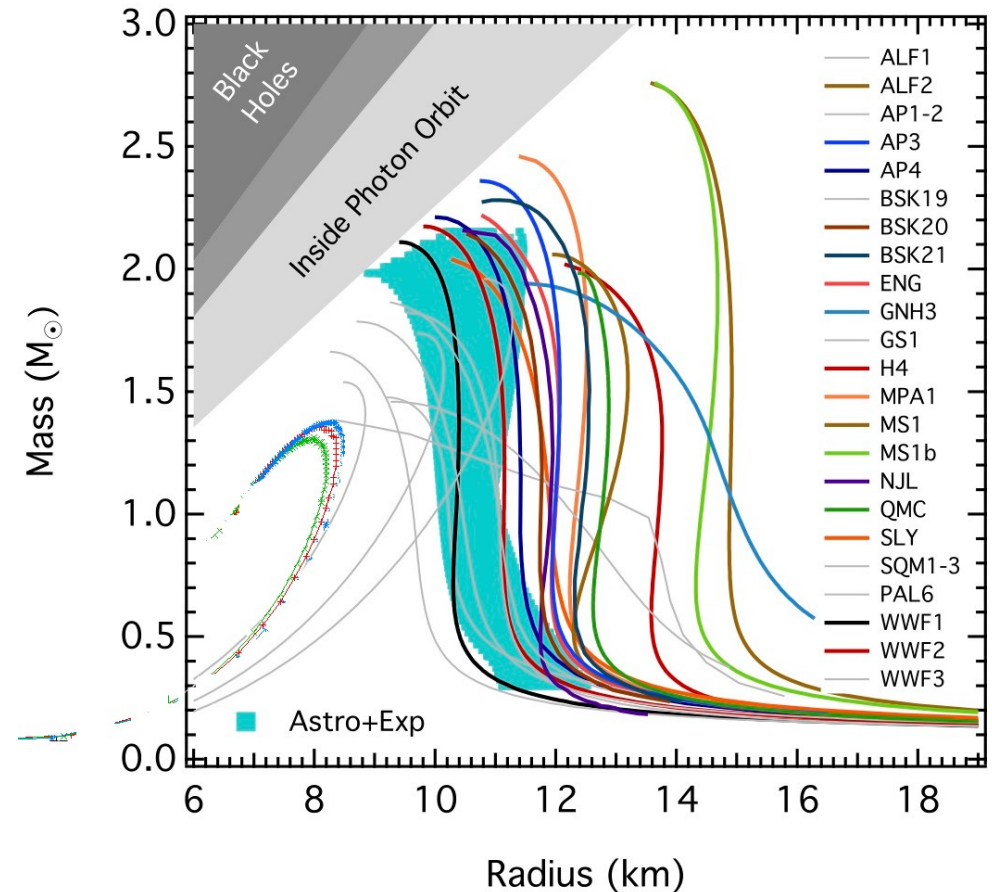
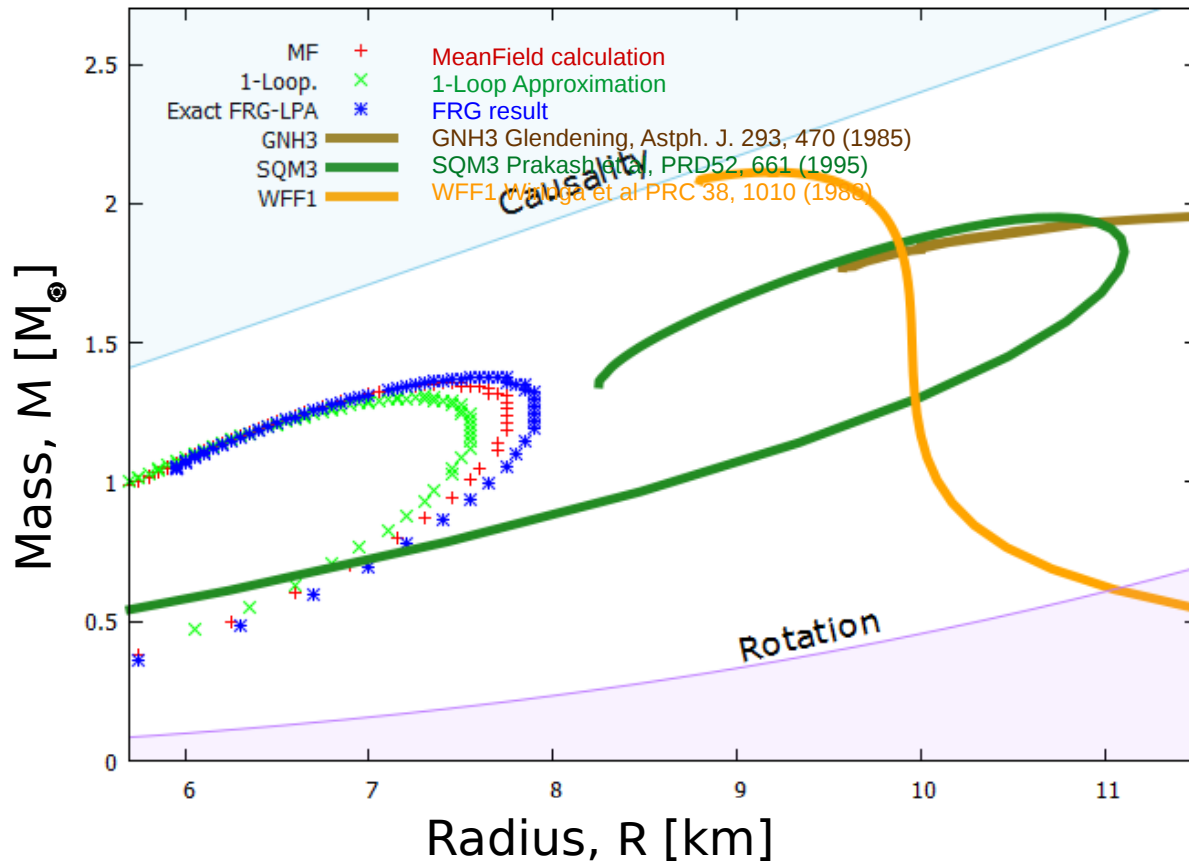
- A puhább FRG → nagyobb csillag
- A nagy- ϵ rész azonos mindegyikre
- Eltérés: $\sim 5\%$ ($0.1 M_{\odot}$ és 0.5 km)

FRG vs. SQM3, GNH3, WFF1

- Kicsi csillagok $1.4 M_{\odot}$ és 8 km
- Átfedés az SQM3 modellel (nagy- ϵ)
- További kölcsönhatással (ω), OK

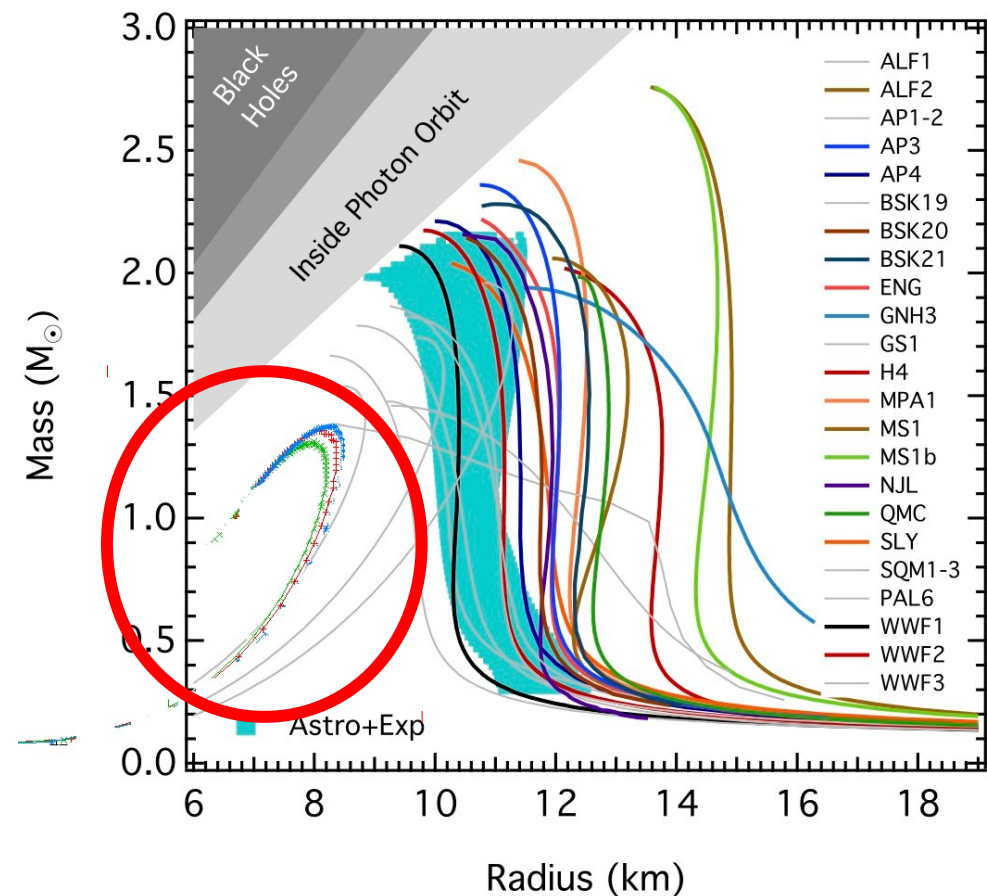
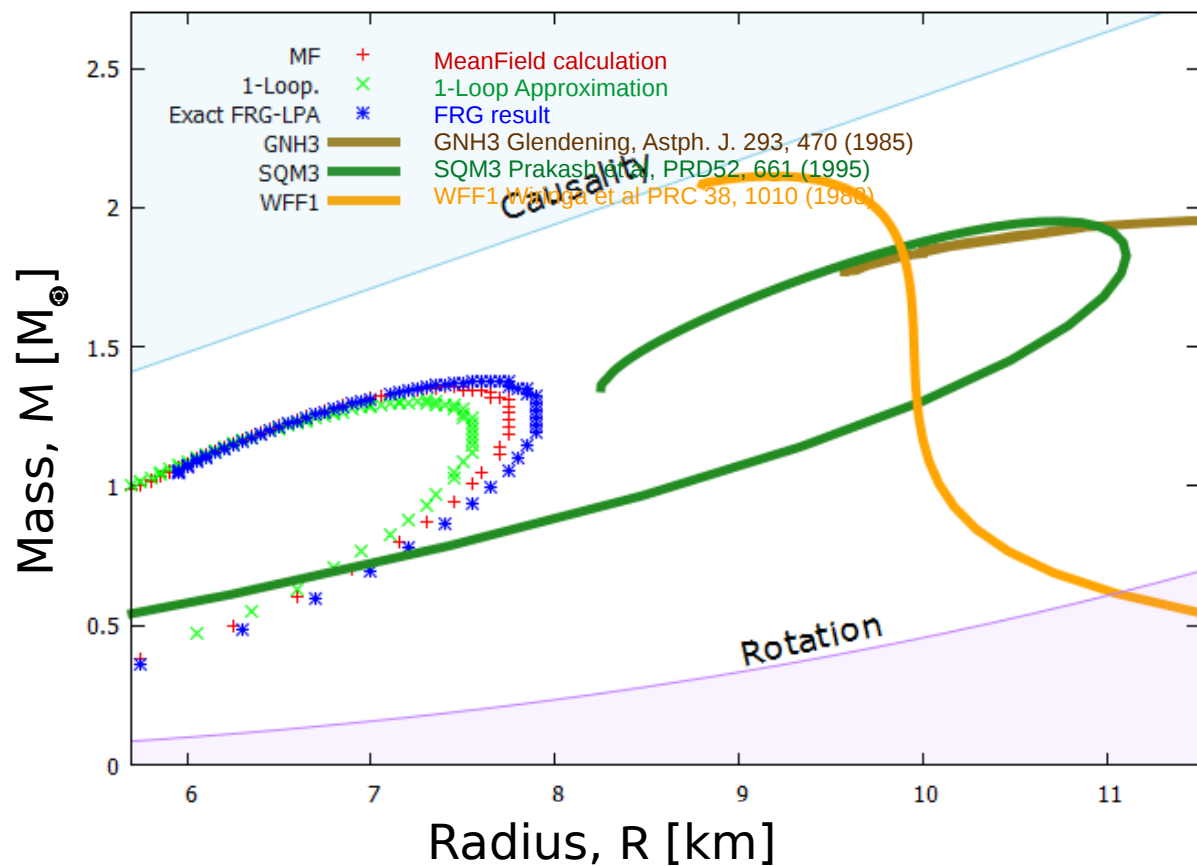
Eredmények: teszt kompakt csillagban

- ▶ Összehasonlítás FRG, SQM3, GNH3, WFF1 → TOV eredmény: $M(R)$



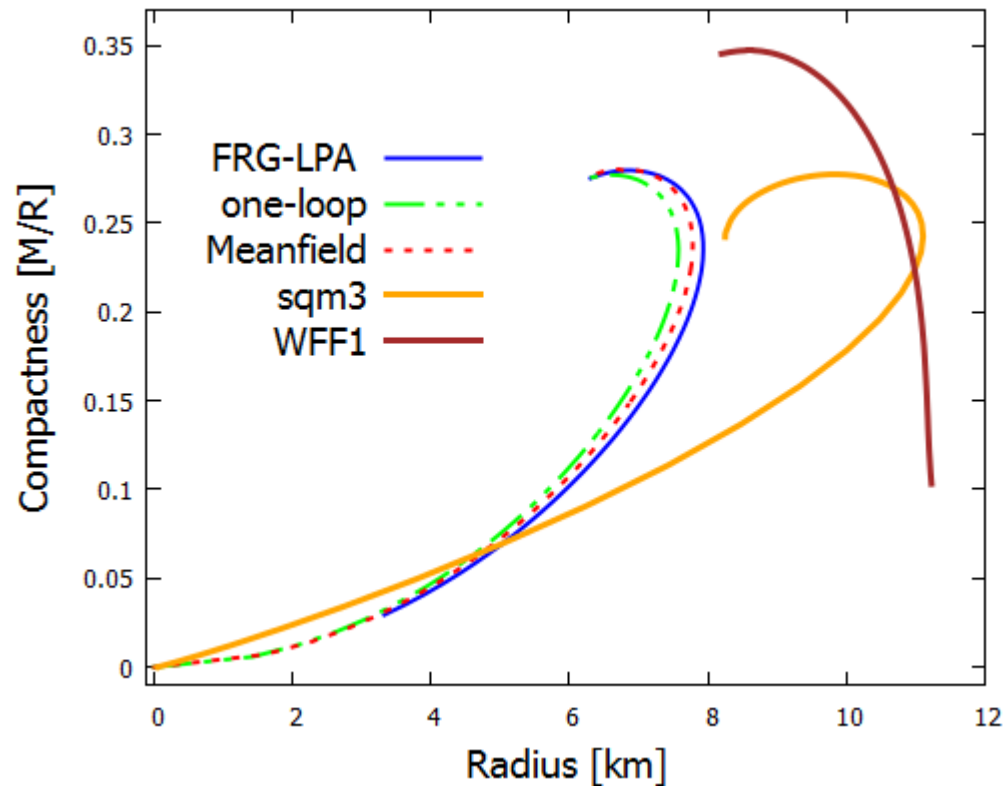
Eredmények: teszt kompakt csillagban

- ▶ Összehasonlítás FRG, SQM3, GNH3, WFF1 → TOV eredmény: $M(R)$



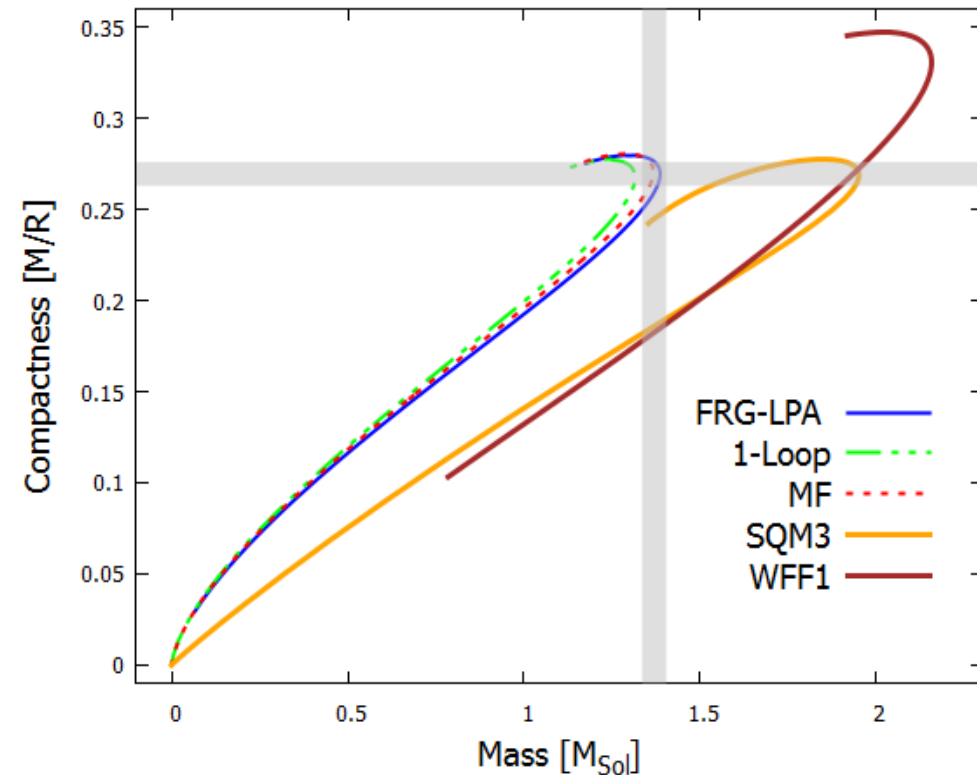
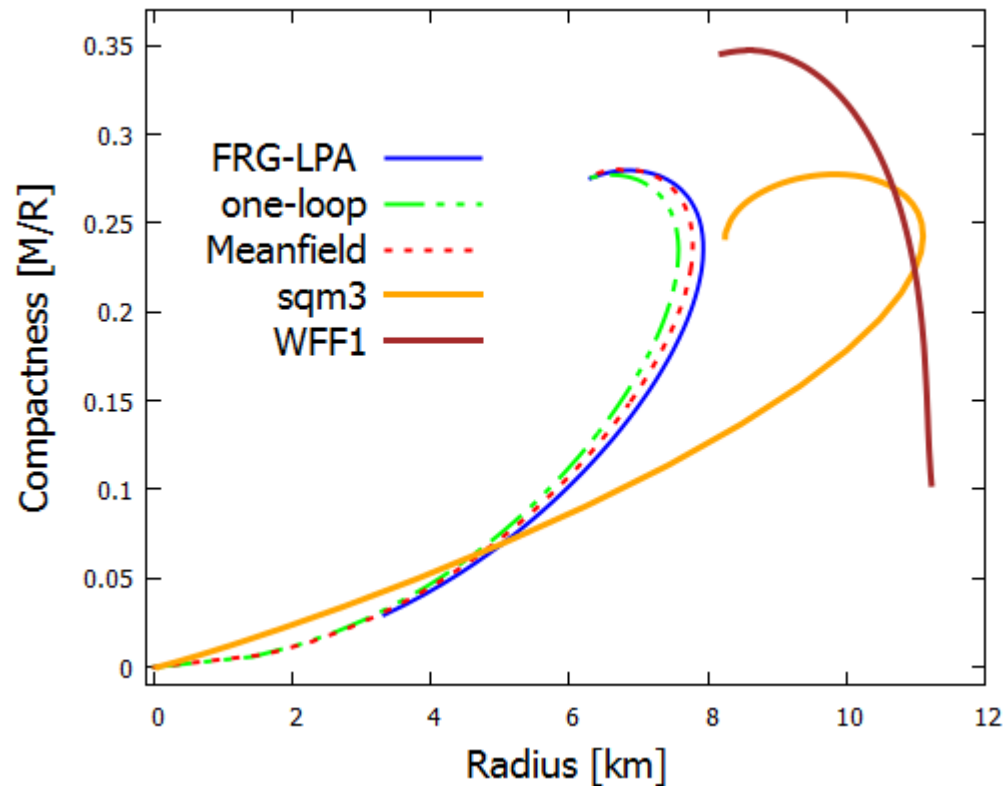
Teszt: megfigyelhető mennyiségek megváltozása

- ▶ Kompaktság összehasonlítása FRG, MF, 1L, SQM3, és WFF1 EoS



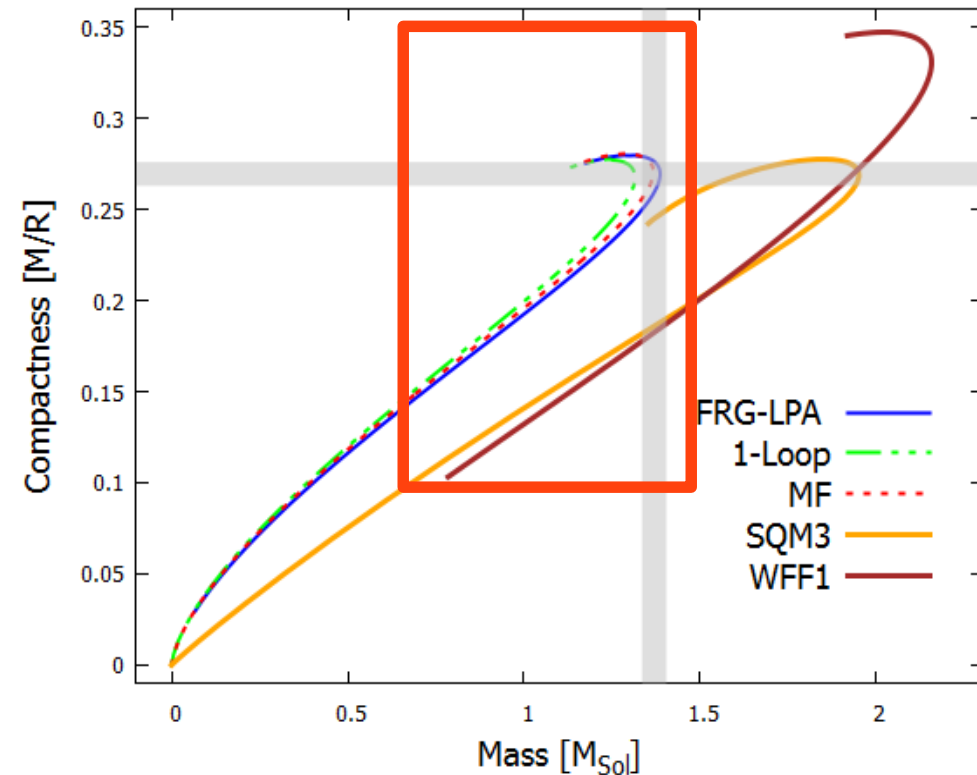
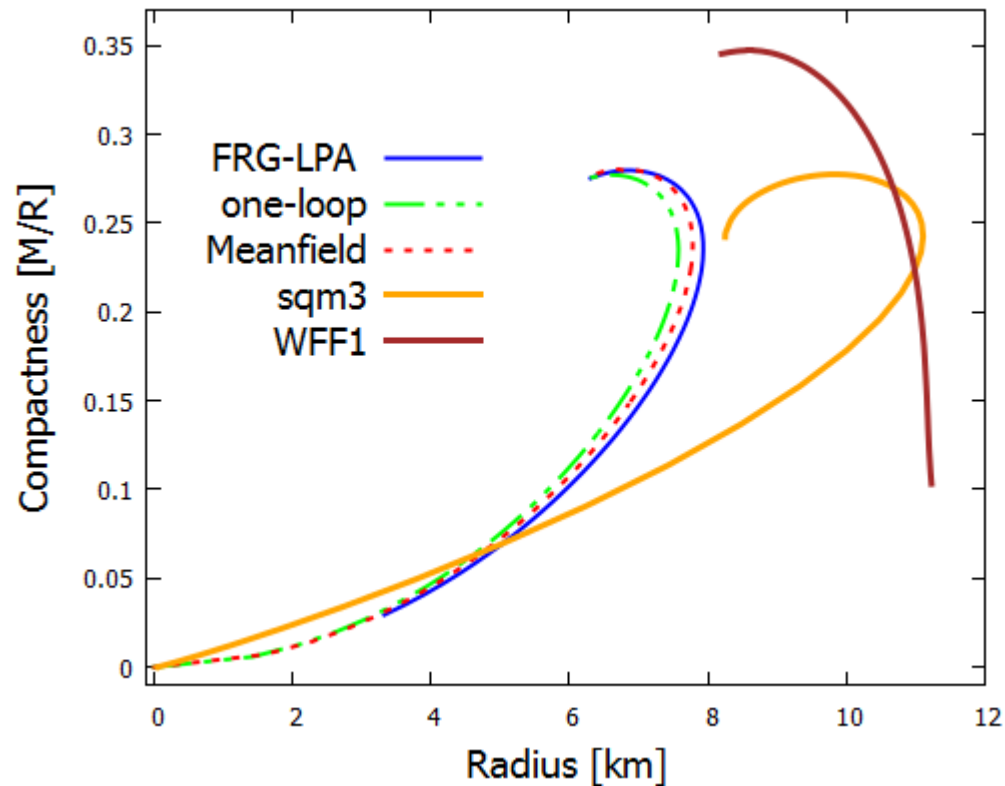
Teszt: megfigyelhető mennyiségek megváltozása

- ▶ Kompaktság összehasonlítása FRG, MF, 1L, SQM3, és WFF1 EoS



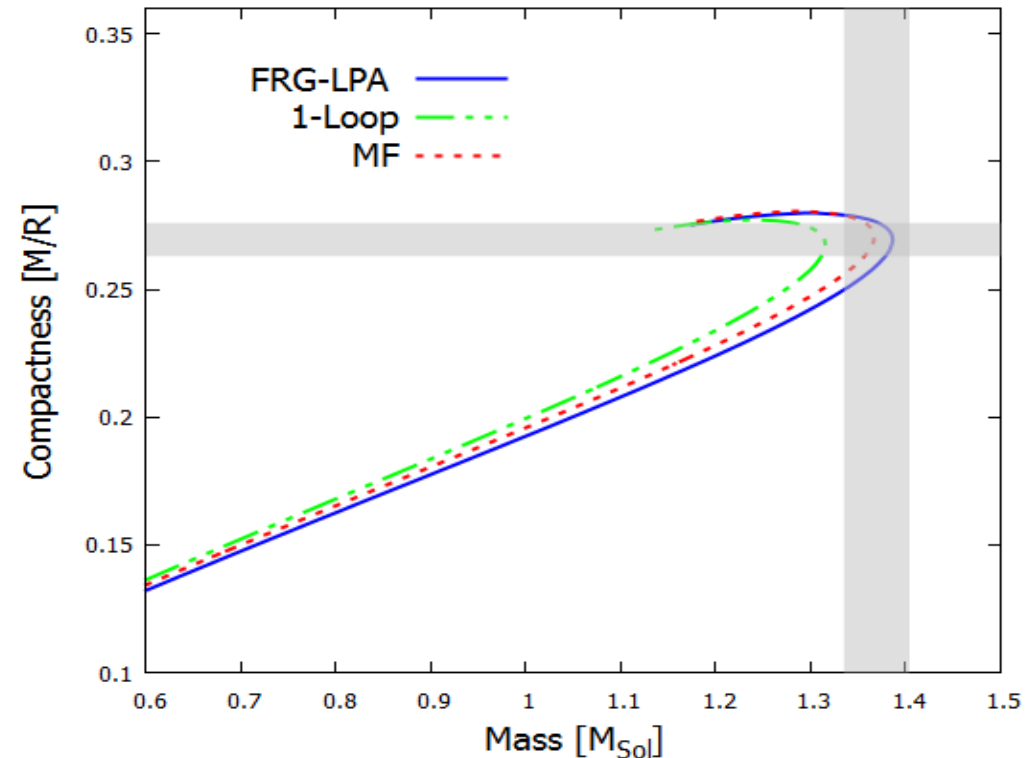
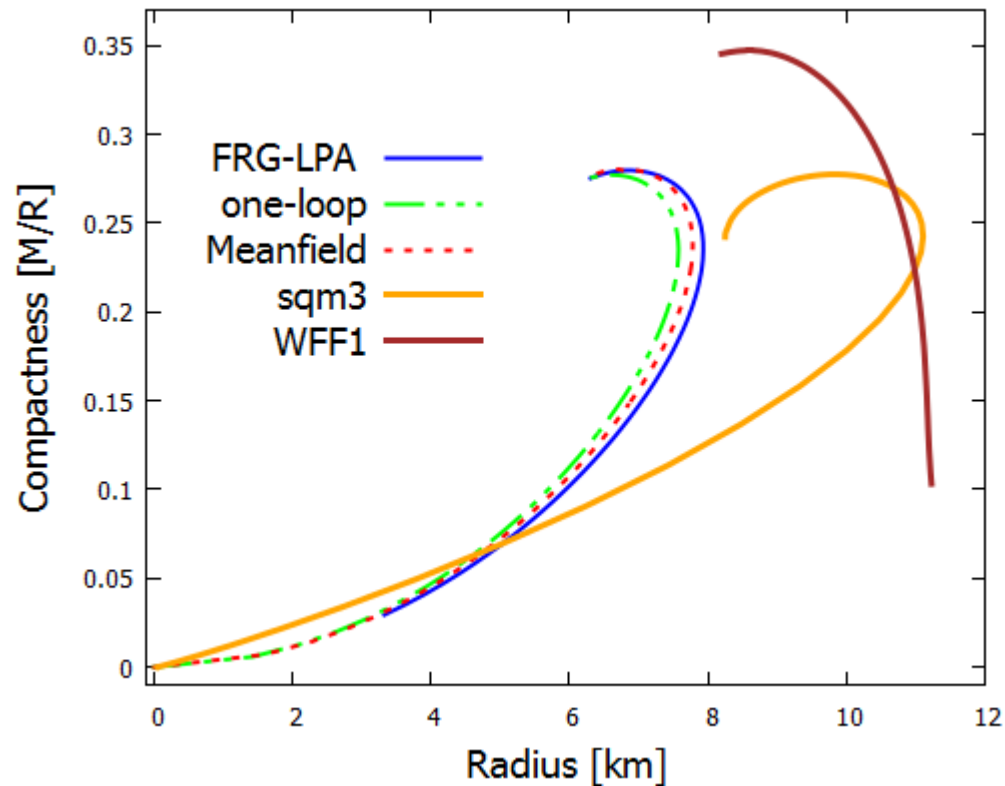
Teszt: megfigyelhető mennyiségek megváltozása

- ▶ Kompaktság összehasonlítása FRG, MF, 1L, SQM3, és WFF1 EoS



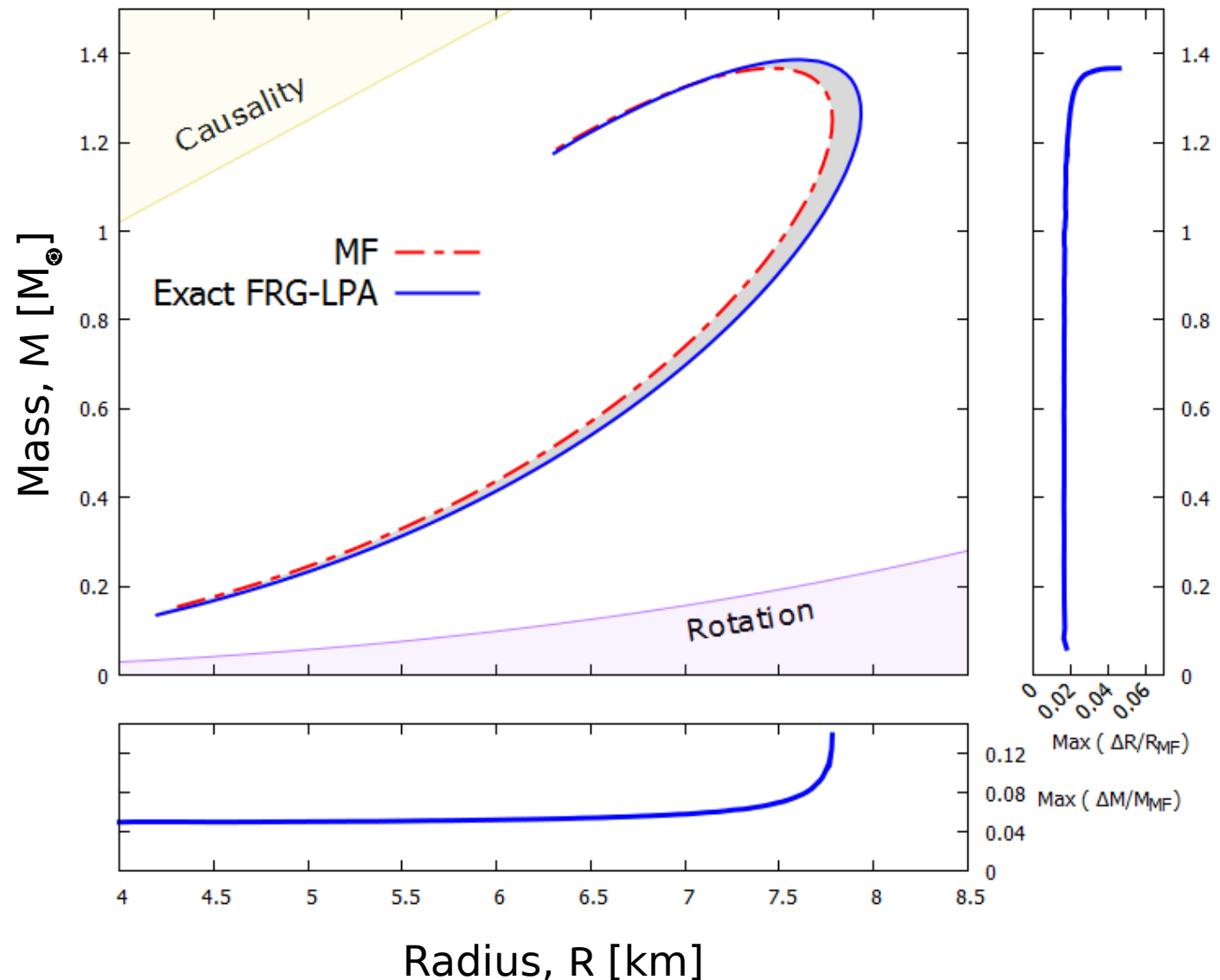
Teszt: megfigyelhető mennyiségek megváltozása

- ▶ Kompaktság összehasonlítása FRG, MF, 1L, SQM3, és WFF1 EoS



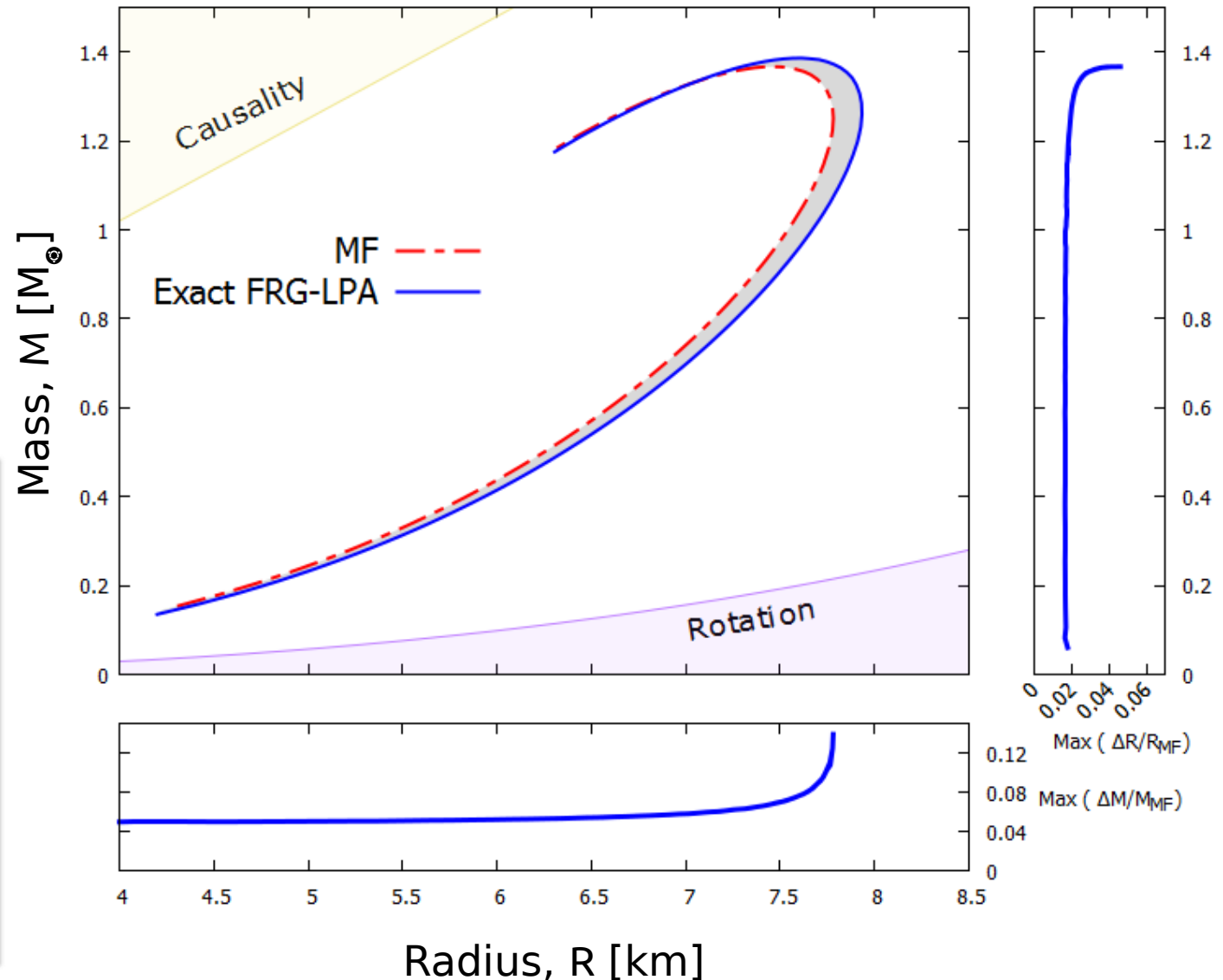
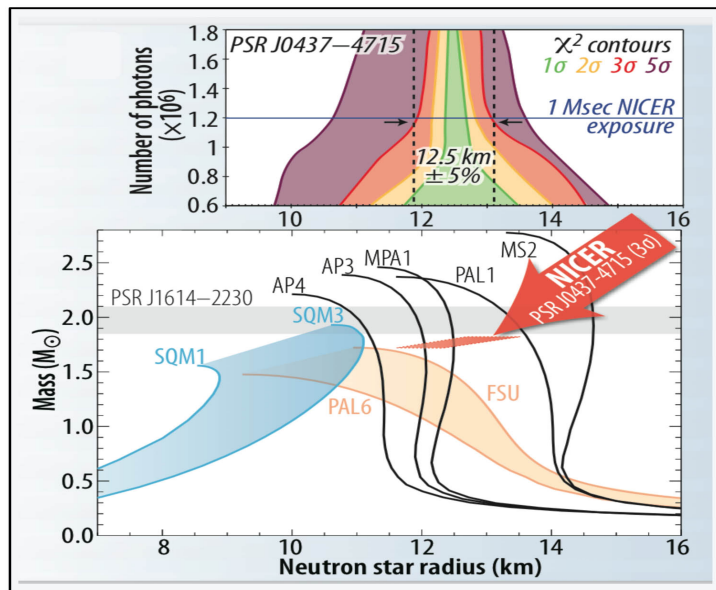
Teszt: megfigyelhető mennyiségek megváltozása

- ▶ M(R) görbék összehasonlítása: MF & FRG EoS
- ▶ A legnagyobb relatív eltérés is ábrázolva



Teszt: megfigyelhető mennyiségek megváltozása

- ▶ M(R) görbék összehasonlítása: MF & FRG EoS
- ▶ A legnagyobb relatív eltérés is ábrázolva



Mérhetőek-e ezek a különbségek?

- Az (asztro)fizikai megfigyelhető mennyiségek bizonytalansága

- Mikroszkopikus mennyiségek maximum: 10-25%

- Makroszkopikus asztrofizikai mennyiségek maximum: 5-10%

- Mérés várható pontossága: 10%

Megfigyelhető mennyiség	Max. elméleti bizonytalanság (%)
Potenciál, $U(\varphi)$	< 25%
Fázisdiagram (g_c)	< 25%
EoS $p(\mu), p(\varepsilon)$	< 25%
Kompersszibilitás	< 10%
$\varepsilon(R)$	~ 5%
M(R) diagram	< 10% (M) < 5% (R)
Kompaktság	< 10% (M) < 5% (R)

Egy realiztikusabb modell: magfizikai paraméterek

- A (mérhető) magfizikai paraméterek beállítása

- Inkompresszibilitás

$$K = k_F^2 \frac{\partial^2(\epsilon/n)}{\partial k_F^2} = 9 \frac{\partial p}{\partial n}$$

- Effektív tömeg

- Landau tömeg

$$m_L = \frac{k_F}{v_F} \quad v_F = \left. \frac{\partial E_k}{\partial k} \right|_{k=k_F}$$

$$m_L = \sqrt{k_F^2 + m_{N,eff}^2}$$

Mennyiség	Mért érték
Szaturációs sűrűség	0,156 1/fm ³
Kötési energia	-16,3 MeV
Nukleon effektív tömeg	0,6 M _N
Nukleon Landau-tömeg	0,83 M _N
inkompresszibilitás	240 MeV

→ nem illeszthető egyszerre, nem függetlenek

Kiterjesztett Walecka modell

- Effektív térelméleti leírás: Walecka modell

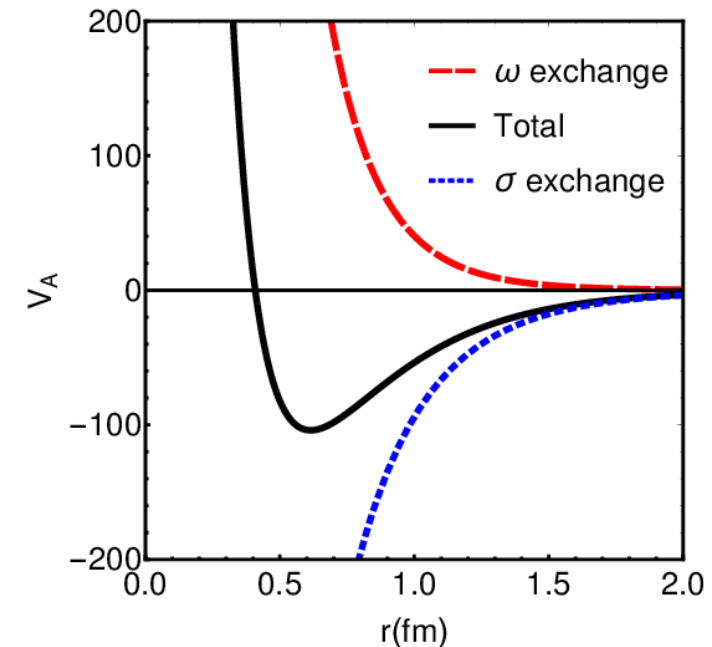
$$\mathcal{L}_{MF} = \sum_{i=1,2} \bar{\psi}_i \left(i\not{\partial} - m_N + \overset{\text{vonzás}}{\downarrow} g_\sigma \bar{\sigma} - g_\omega \gamma^0 \overset{\text{taszítás}}{\downarrow} \bar{\omega}_0 \right) \psi_i \quad \text{Proton és neutron}$$

$$-\frac{1}{2} m_\sigma^2 \bar{\sigma}^2$$

Skalár mezon önkölcsönhatása:
Vizsgáljuk a tagok hatását
külön-külön és együtt is.

$$+\frac{1}{2} m_\omega^2 \bar{\omega}_0^2$$

Vektor-mezon átlagtér közelítésben



Kiterjesztett Walecka modell

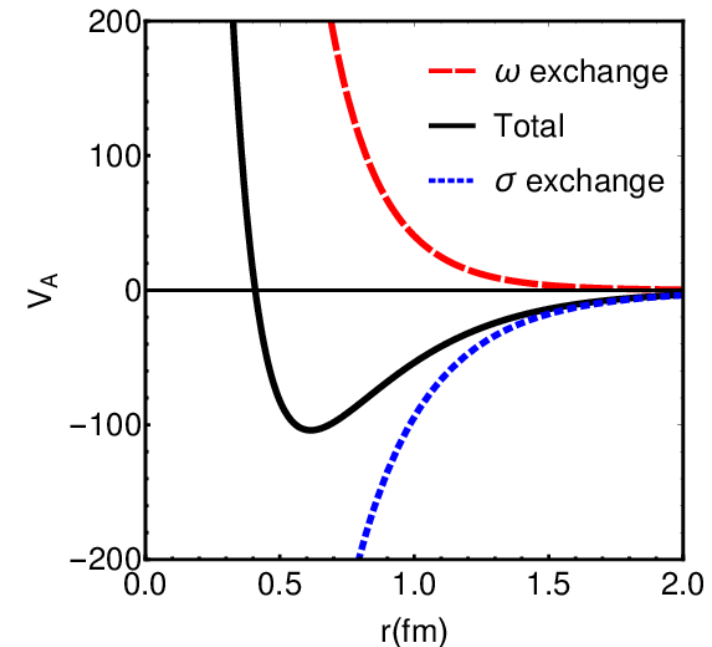
- Effektív térelméleti leírás: Walecka modell + további tagok:

$$\mathcal{L}_{MF} = \sum_{i=1,2} \bar{\psi}_i \left(i\not{\partial} - m_N + \overset{\text{vonzás}}{\downarrow} g_\sigma \bar{\sigma} - g_\omega \gamma^0 \overset{\text{taszítás}}{\downarrow} \bar{\omega}_0 \right) \psi_i \quad \text{Proton és neutron}$$

$$-\frac{1}{2} m_\sigma^2 \bar{\sigma}^2 - \lambda_3 \bar{\sigma}^3 - \lambda_4 \bar{\sigma}^4 \quad \text{Skalár mezon önkölcsönhatása:}$$

Vizsgáljuk a tagok hatását külön-külön és együtt is.

$$+\frac{1}{2} m_\omega^2 \bar{\omega}_0^2 \quad \text{Vektor-mezon átlagtér közelítésben}$$



Magfizikai paraméterek illesztése: Walecka + σ^3

- Modell eredmények: Effektív tömeg, Landau tömeg, kompresszibilitás

A legjobb
K jóslat

Mennyiség	Mért érték	Illesztés effektív tömeg	Illesztés Landau- tömeg
Szaturációs sűrűség	0,156 1/fm ³	0,156 1/fm ³	0,156 1/fm ³
Kötési energia	-16,3 MeV	-16,3 MeV	-16,3 MeV
Nukleon effektív tömeg	0,6 M _N	0,6 M _N	0,78 M _N
Nukleon Landau- tömeg	0,83 M _N	0,66 M _N	0,83 M _N
inkompresszibilitás	240 MeV	437 MeV	247 MeV
Átlagos standard eltérés	0	0,84	0,3

Magfizikai paraméterek illesztése: Walecka + σ^4

- Modell eredmények: Effektív tömeg, Landau tömeg, kompresszibilitás

Itt már
nem olyan
jó az érték.

Mennyiség	Mért érték	Illesztés effektív tömeg	Illesztés Landau- tömeg
Szaturációs sűrűség	0,156 1/fm ³	0,156 1/fm ³	0,156 1/fm ³
Kötési energia	-16,3 MeV	-16,3 MeV	-16,3 MeV
Nukleon effektív tömeg	0,6 M _N	0,6 M _N	0,78 M _N
Nukleon Landau- tömeg	0,83 M _N	0,66 M _N	0,83 M _N
inkompresszibilitás	240 MeV	482 MeV	334 MeV
Átlagos standard eltérés	0	1,02	0,5

Magfizikai paraméterek illesztése: Walecka + $\sigma^3 + \sigma^4$

- Modell eredmények: Effektív tömeg, Landau tömeg, kompresszibilitás

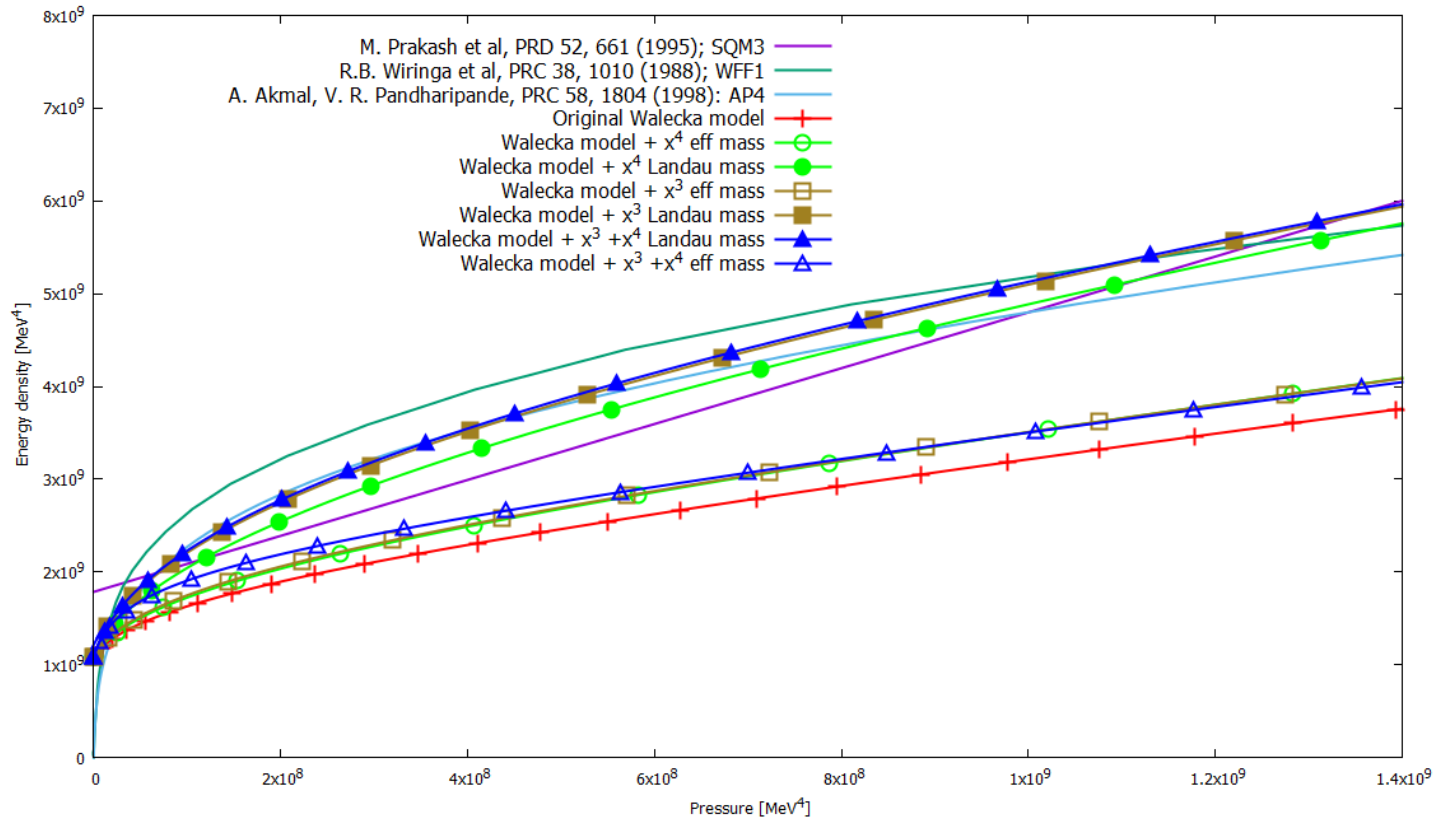
Ha mindkét tag jelen van visszkapjuk az ismert Értéket!

Ez lenne a jó modell?

Mennyiség	Mért érték	Illesztés effektív tömeg	Illesztés Landau- tömeg
Szaturációs sűrűség	0,156 1/fm ³	0,156 1/fm ³	0,156 1/fm ³
Kötési energia	-16,3 MeV	-16,3 MeV	-16,3 MeV
Nukleon effektív tömeg	0,6 M _N	0,6 M _N	0,78 M _N
Nukleon Landau-tömeg	0,83 M _N	0,66 M _N	0,83 M _N
inkompresszibilitás	240 MeV	240 MeV	240 MeV
Átlagos standard eltérés	0	0,2	0,3

Állapotegyenlet a kiterjesztett Walecka modellben

- Walecka modell kiegészítve σ^3 vagy σ^4 vagy $\sigma^3 + \sigma^4$ tagokkal

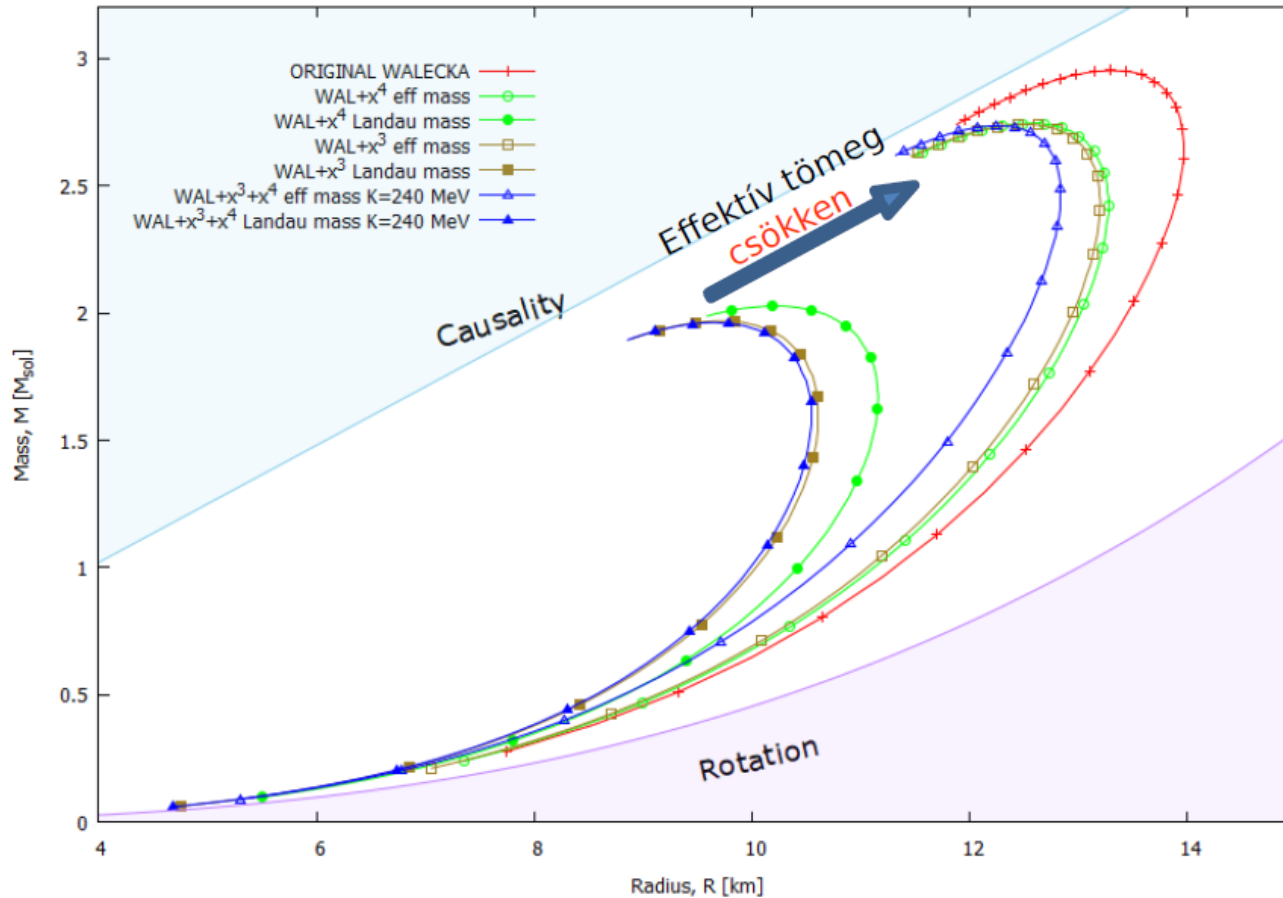


Landau tömeggel illetve jobb valódi EoS egyezés

Effektív tömeggel illetve közelebb Walecka modellhez

Kompak csillag paraméterek: Walecka modellben

- Walecka modell kiegészítve σ^3 vagy σ^4 vagy $\sigma^3 + \sigma^4$ tagokkal

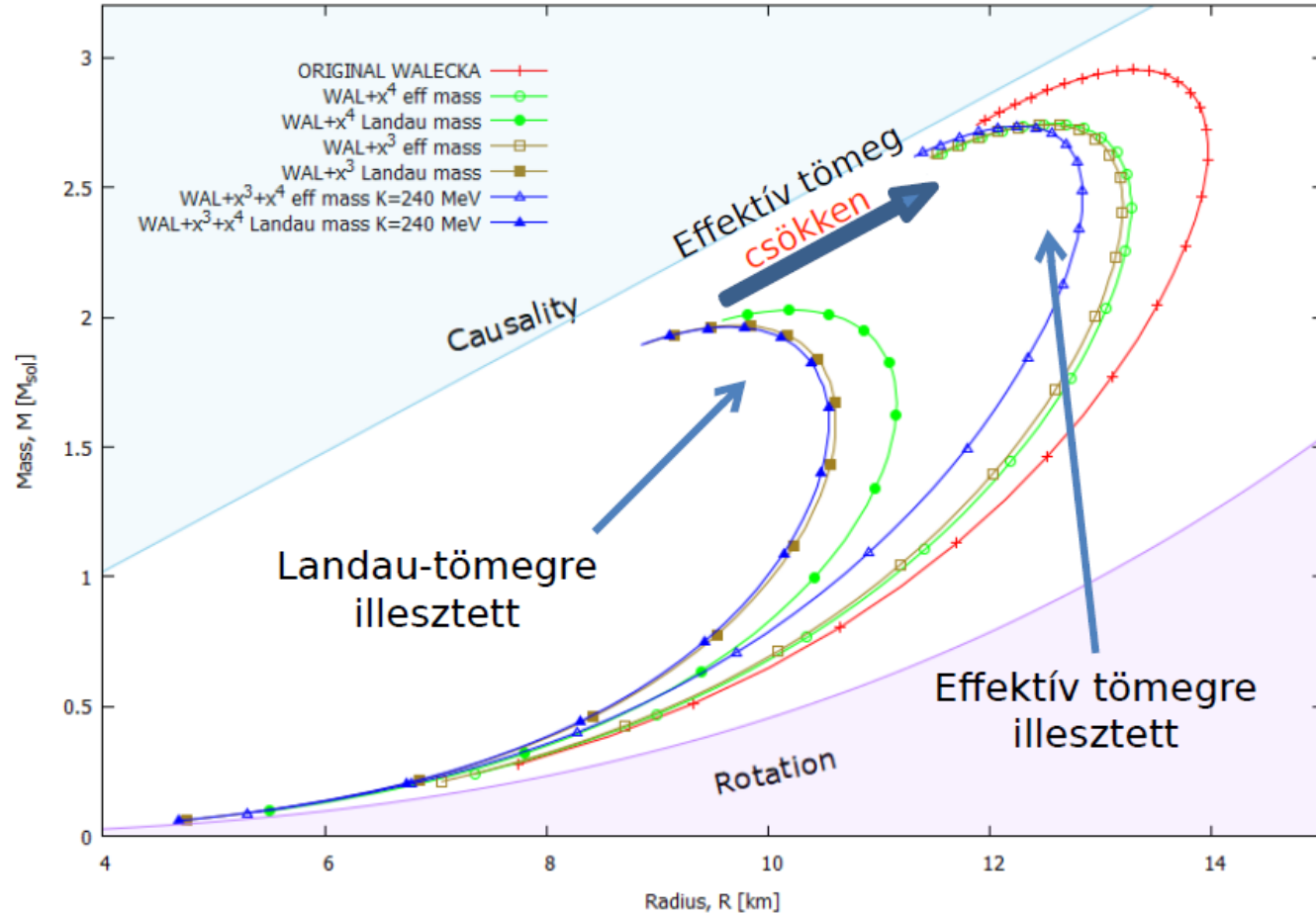


Mindkét modellben a sorrend azonos

- Keményebb \rightarrow puhább EoS
- $\sigma^3 + \sigma^4 \rightarrow \sigma^3 \rightarrow \sigma^4$

Kompak csillag paraméterek: Walecka modellben

- Walecka modell kiegészítve σ^3 vagy σ^4 vagy $\sigma^3 + \sigma^4$ tagokkal



Mindkét modellben a sorrend azonos

- Keményebb \rightarrow puhább EoS
- $\sigma^3 + \sigma^4 \rightarrow \sigma^3 \rightarrow \sigma^4$

Effektív tömeggel illesztve

- Nagyobb csillag R és M

Landau tömeggel illesztve

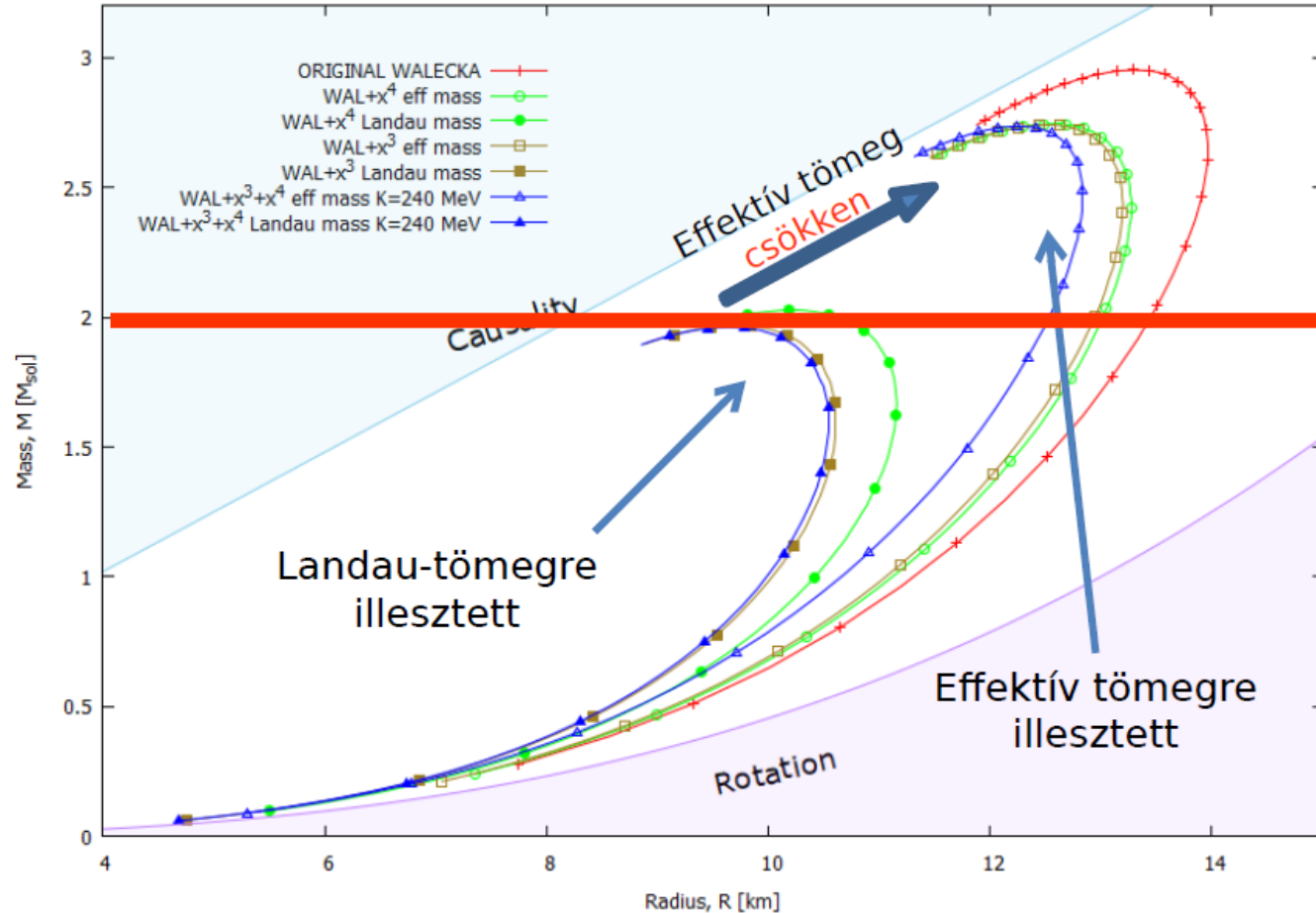
- Kisebb csillag R és M

Effektív tömeget csökkentve

- közelebb Walecka modellhez

Kompak csillag paraméterek: Walecka modellben

- Walecka modell kiegészítve σ^3 vagy σ^4 vagy $\sigma^3 + \sigma^4$ tagokkal



Mindegyik modellben

- el lehet érni a $2M$ tömeget

Effektív tömeggel illetve

- Túl nagy csillagokat kapunk
 $M < 2.3$

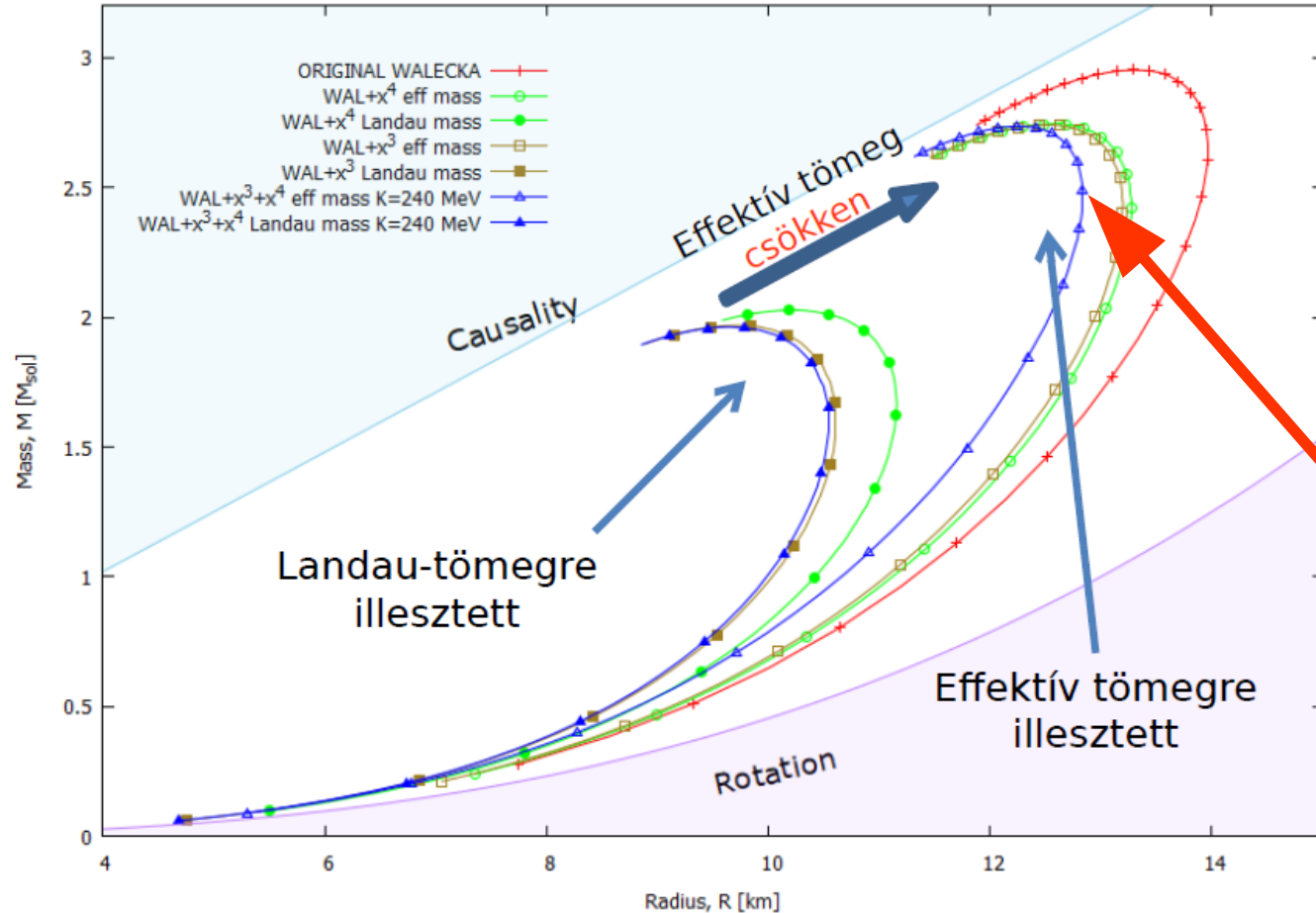
Legjobb illesztés

- Nem a leghrealisztikusabb csillag

- Kiválaszthatja-e a megfigyelés a magfizikai paramétereiket?

Kompak csillag paraméterek: Walecka modellben

- Walecka modell kiegészítve σ^3 vagy σ^4 vagy $\sigma^3 + \sigma^4$ tagokkal



Mindegyik modellben

- el lehet érni a 2M tömeget

Effektív tömeggel illetve

- Túl nagy csillagokat kapunk
 $M < 2.3$

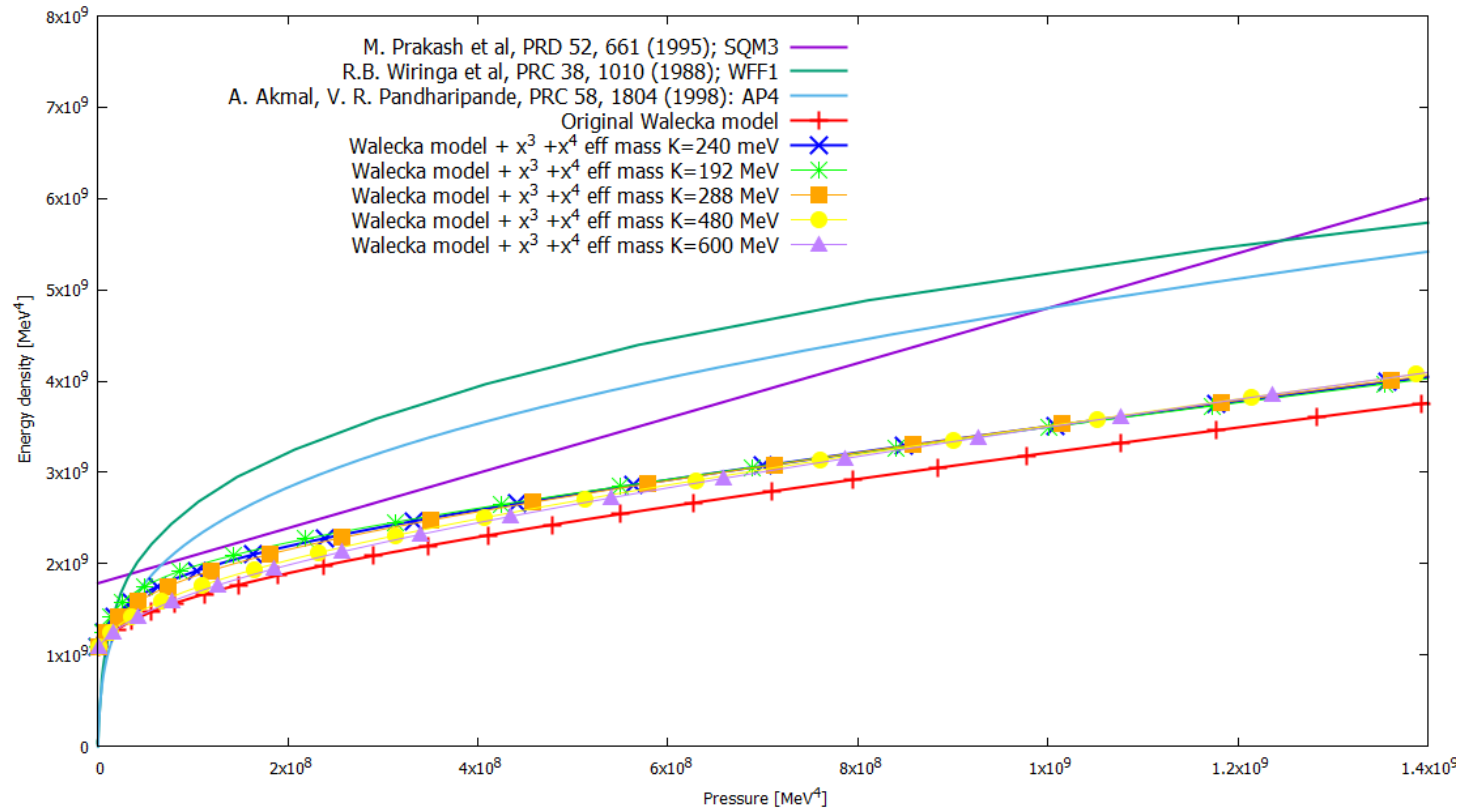
Legjobb illesztés

- Nem a legrrealisztikusabb csillag

- Kiválaszthatja-e a megfigyelés a magfizikai paramétereiket?

Állapotegyenlet a kiterjesztett Walecka modellben

- Walecka modell + $\sigma^3 + \sigma^4$ tagokkal, inkompresszibilitás vizsgálata

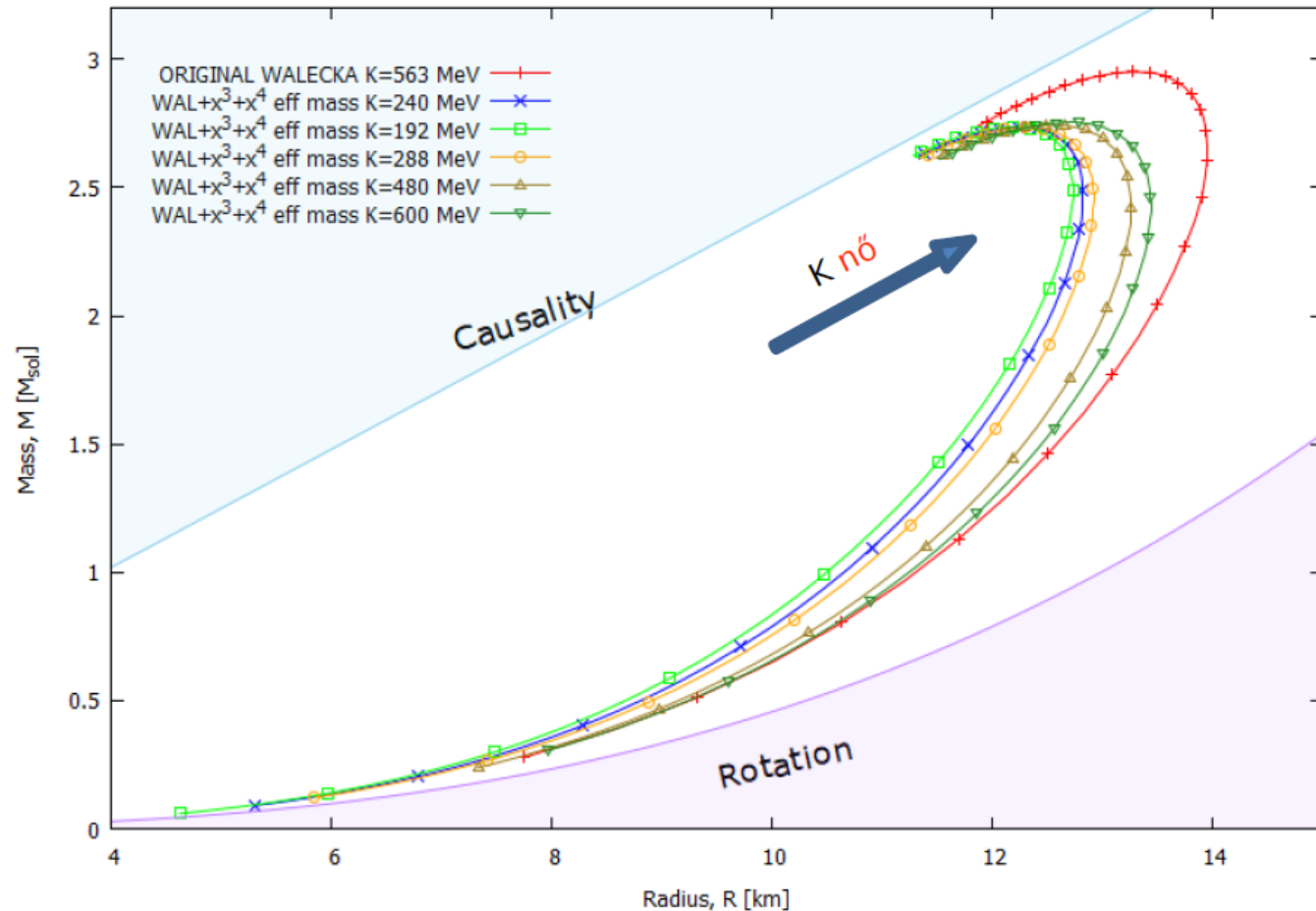


Valódi EoS modellek

Érzéketlen az EoS az inkompresszibilitásra

Kompak csillag paraméterek: Walecka modellben

- Walecka modell + $\sigma^3 + \sigma^4$ tagokkal, inkompresszibilitás vizsgálata



Mindegyik modellben igaz: kiválasztjuk a $\sigma^3 + \sigma^4$ tagokkal kiegészített modelt:

- Ha K növekszik, akkor nagyobb a csillag mérete: R és M
- Kicsi a változás a K hatására a tömegnél, különösen a maximális tömegnél $<1\%$
- A csillag sugara jelentősen változik a maximális tömegtől távol $10-15\%$
- Az eredeti Walecka inkompresszibilitás eléréséhez még nagyobb K kell

Saját kutatások #2

(2) Kaluza-Klein csillagmodell: Karsai Szilvia, Forgács-Dajka Emese, Lukács Béla
Int.J.ModPhys A31 (2016) 1645031, Acta Phys. Pol. 10 (2017)827, AN 328 (2007) 809

Egy komolyabb motiváció: extra dimenziókra

→ Standard anyag a Standard Modellben

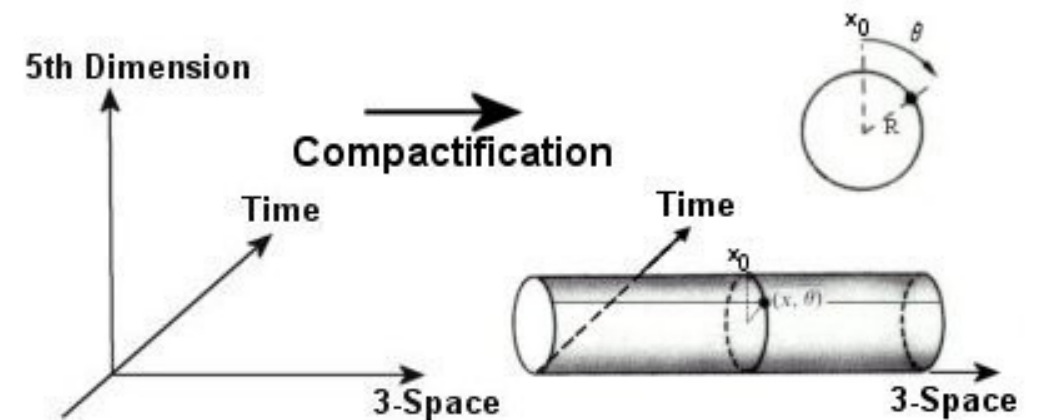
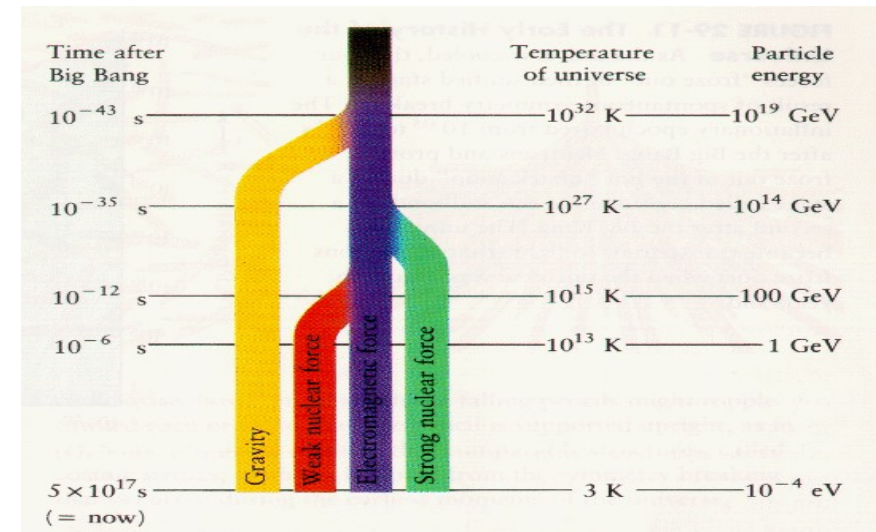
- Elektromágnesség;
- Gyenge és
- Erős kölcsönhatás

→ Grand Unified Theory...

- Gravitáció és a kvantumtérelmélet nem illik egy modellbe
- Gravitáció; lokális, görbült téridő
- Kvantumtérelmélet; Minkowski

→ **Egy lehetséges út:**

- Elemi erők geometrizálása
- Új dimenzió bevezetése
- Legegyszerűbb eset: $d_c = 1 \rightarrow$
Kaluza - Klein téridő & szabadsági fokok!



Téridő szimmetriák

... Kompakt csillagokra:

Gömbszimmetria: az $O(3)$ forgatásokra invariáns

Sztatikus: A metrika és a T^{ik} tenzor időfüggetlen.

Ideális relativisztikus folyadék: csak diagonális elemek, $T^{ik}_{,i} = 0$

Izotróp: nincs explicit φ & θ függés a g^{ik} és T^{ik} tenzorokban

Extra dimenzió(k): új feltételekre van szükség.

GGB, B Lukács, P Lévai: astro-ph/0312330 astro-ph/0312332
Asrton.Nachr. 328 (2007) 809, J.Phys.Conf.Ser. 218 (2010) 012010

Téridő szimmetriák – extra dimenzió(k)ra

Feltételezések a Kaluza–Klein-szerű téridő dimenziókra:

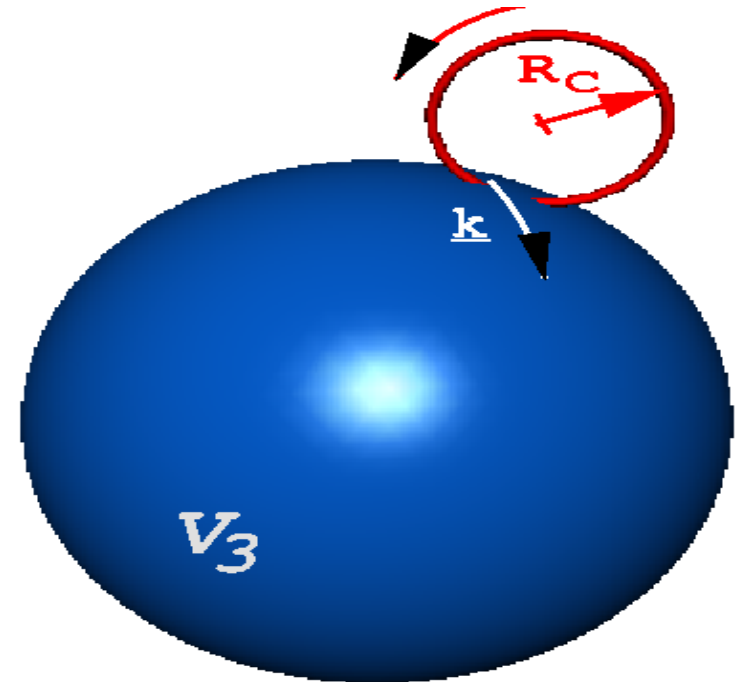
- (i) $(3+d_C)+1$ dimenziós téridőben, az dimenziók térszerűek, kivéve egyet, amelyik időszerű.
- (ii) A GR elmélet ugyan olyan a $3+1$ D téridőben, a 'Ekvivalencia elve' azonos.
- (iii) A kauzalitás és a fénykúp struktúra azonos mint a $3+1$ esetre.
- (iv) Az extra, térszerű dimenziók, d_C , térszerűek
- (v) Létezik teljes Killing szimmetria az extra mikroszkópikus d_C -dimenzióra.

Legegyszerűbb eset $d_C=1_C$.

GGB, B Lukács, P Lévai: J.Phys.Conf.Ser. 218 (2010) 012010

A Kaluza-Klein szabadsági fokok

- Extra dimenziók csak mikroszkópikusak lehetnek (extrém energián)
- A mozgás az extra dimenziókban gerjesztett tömegűnek, nehezebb részecskének látszik.



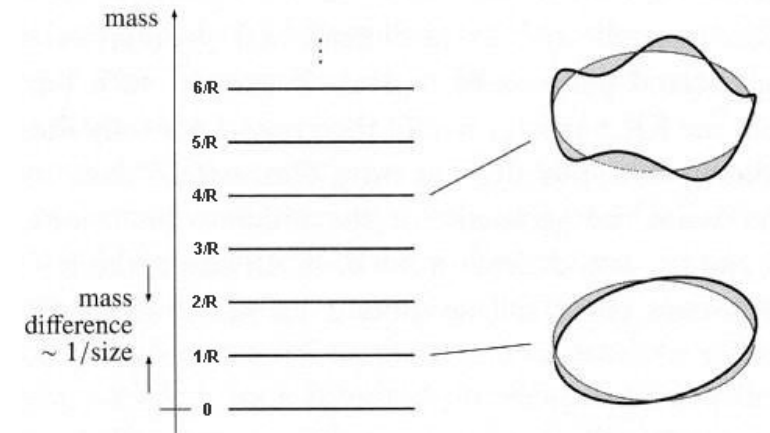
A Kaluza–Klein szabadsági fokok

- Extra dimenziók csak mikroszkópikusak lehetnek (extrém energián)
- A mozgás az extra dimenziókban gerjesztett tömegűnek, nehezebb részecskének látszik.
- **Az extra 5. dimenzió kompaktifikált** egy S^1 “**gömbbe**” aminek a sugara R_C
periodikus határfeltétel → kvatálási szabály (Heisenberg)

$$\psi(x_5) \approx e^{ik_5 \cdot x_5} \quad \text{and} \quad \psi(x_5 + 2\pi R_C) \sim \psi(x_5) \quad \rightarrow \quad k_5 = \frac{n}{R_C}$$

k_5 : impulzus az 5. irányba;

x_5 : helykoordináta az 5. irányba; $n \in \mathbb{Z}^+$



A Kaluza-Klein szabadsági fokok

- Extra dimenziók csak mikroszkópikusak lehetnek (extrém energián)
- A mozgás az extra dimenziókban gerjesztett tömegűnek, nehezebb részecskének látszik.
- **Valamilyen töltés (pl. strangeness) tekinthető új szabadsági foknak:**
A kapcsolat az $\bar{m} = m_s$ tömeg és a komaktifikációs sugár R_C között:

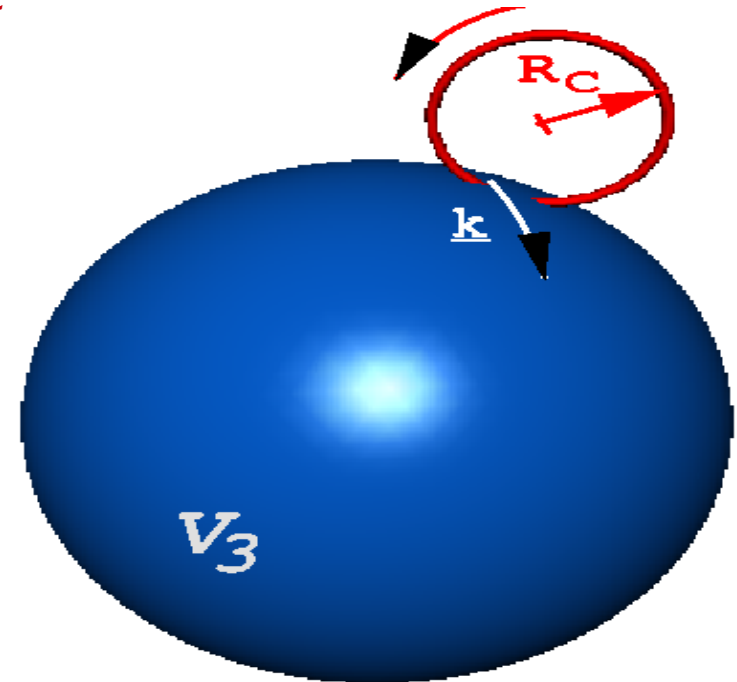
$$E_5 = \sqrt{\underline{k}^2 + \left(\frac{n}{R_C}\right)^2} + m^2 = \sqrt{\underline{k}^2 + \bar{m}^2}$$

$$\bar{m}^2 = \left(\frac{n}{R_C}\right)^2 + m^2$$

m : light (u, d) quark mass

n : excitation number, $n=1$

\bar{m} : e.g. **heavy (s) quark mass**

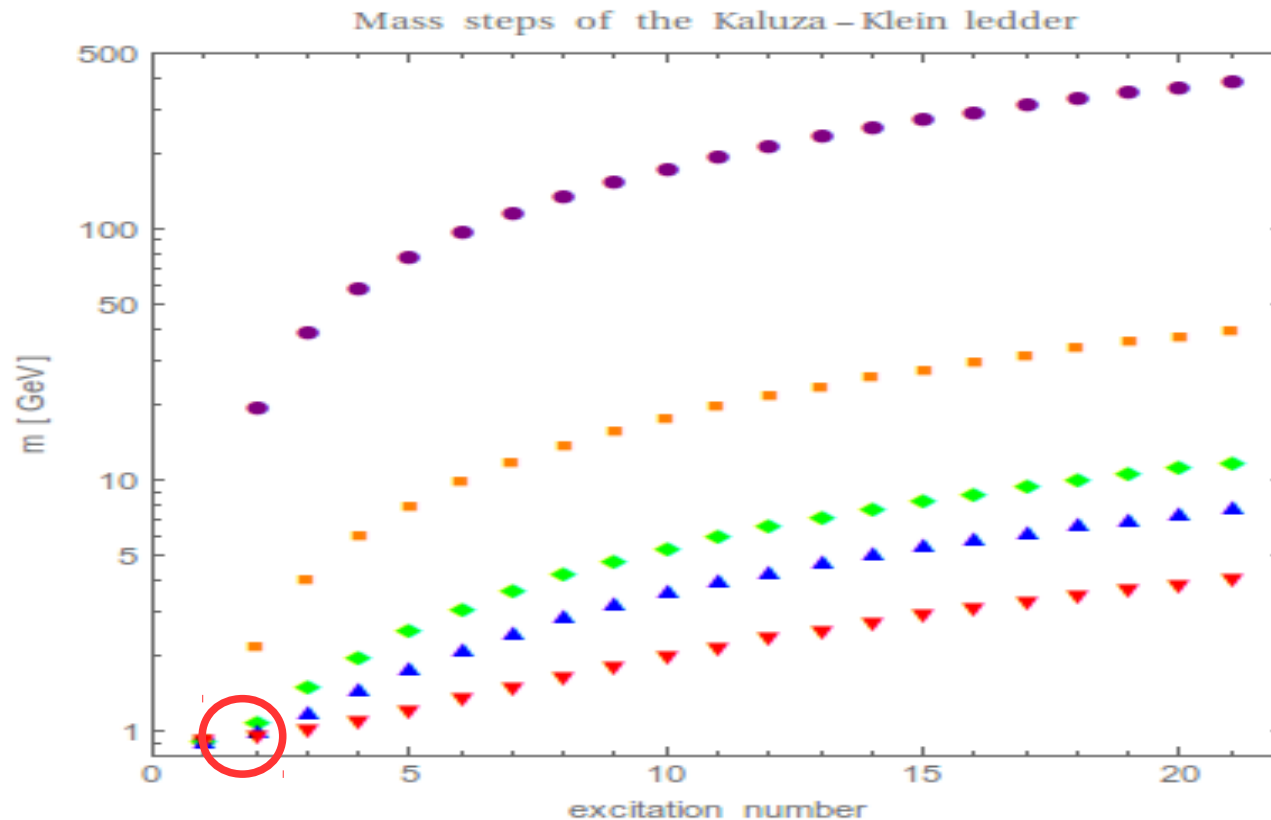


Milyenek a KK szabadsági fokok méretfüggése (R_C)

→ Az extra dimenzió mérete (R_C) és a gerjesztések kapcsolata:

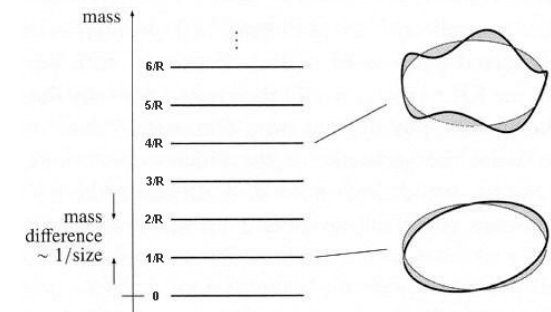
$$\bar{m}^2 = (n/R_C)^2 + m^2$$

Pl. egy 1+3D hiperoncsillag (n^0, Λ) ~ 1+4D $R_C = 0.33$ fm, ($n=1$) → $n^0, m_{\text{exc.}} \cong 1113$ MeV (m_Λ)



larger R_C

- $R_C = 0.01$ [fm]
- $R_C = 0.1$ [fm]
- ◆ $R_C = 0.33$ [fm]
- ▲ $R_C = 0.5$ [fm]
- ▼ $R_C = 1$ [fm]
- $R_C = 5$ [fm]

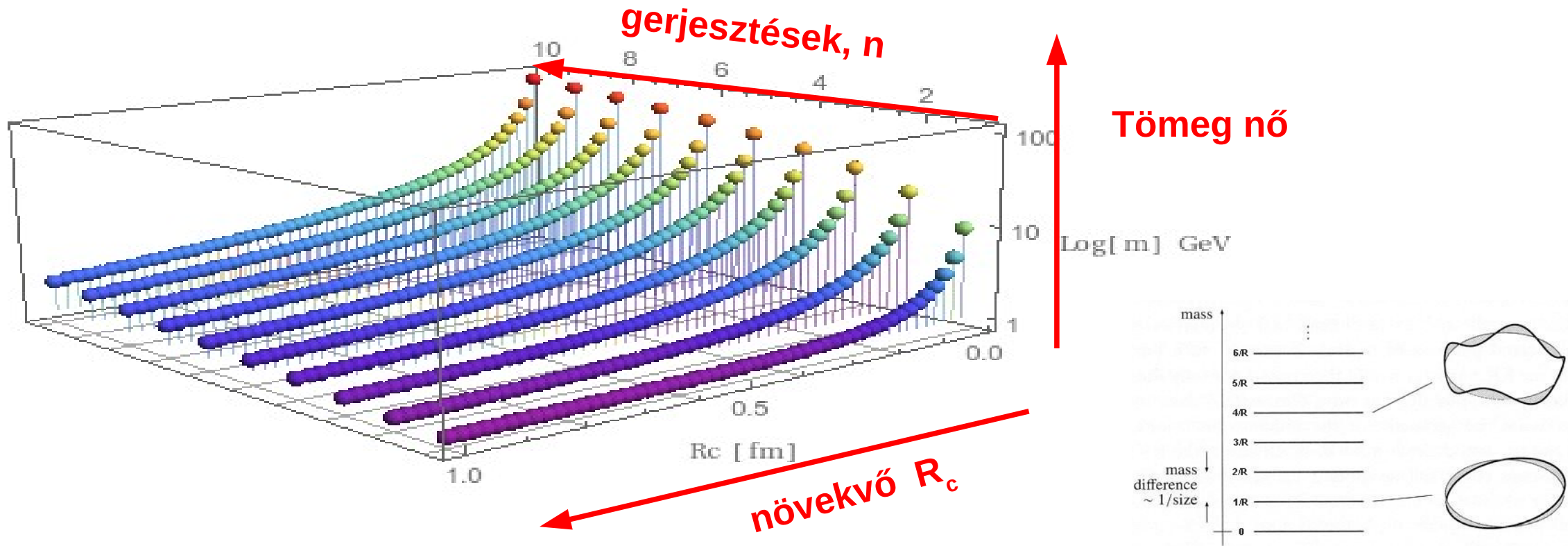


[Sz. Karsai, GGB, E. Forgács-Dajka, P. Pósfay, B. Lukács:
Int. Mod. J. Phys. A31 (2016) 1645031 & arxiv: 1607.08088]

Milyenek a KK szabadsági fokok méretfüggése (R_c)

→ Az extra dimenzió mérete (R_c) és a gerjesztések kapcsolata:

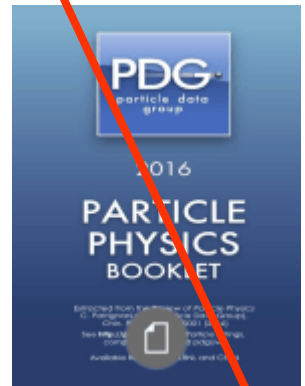
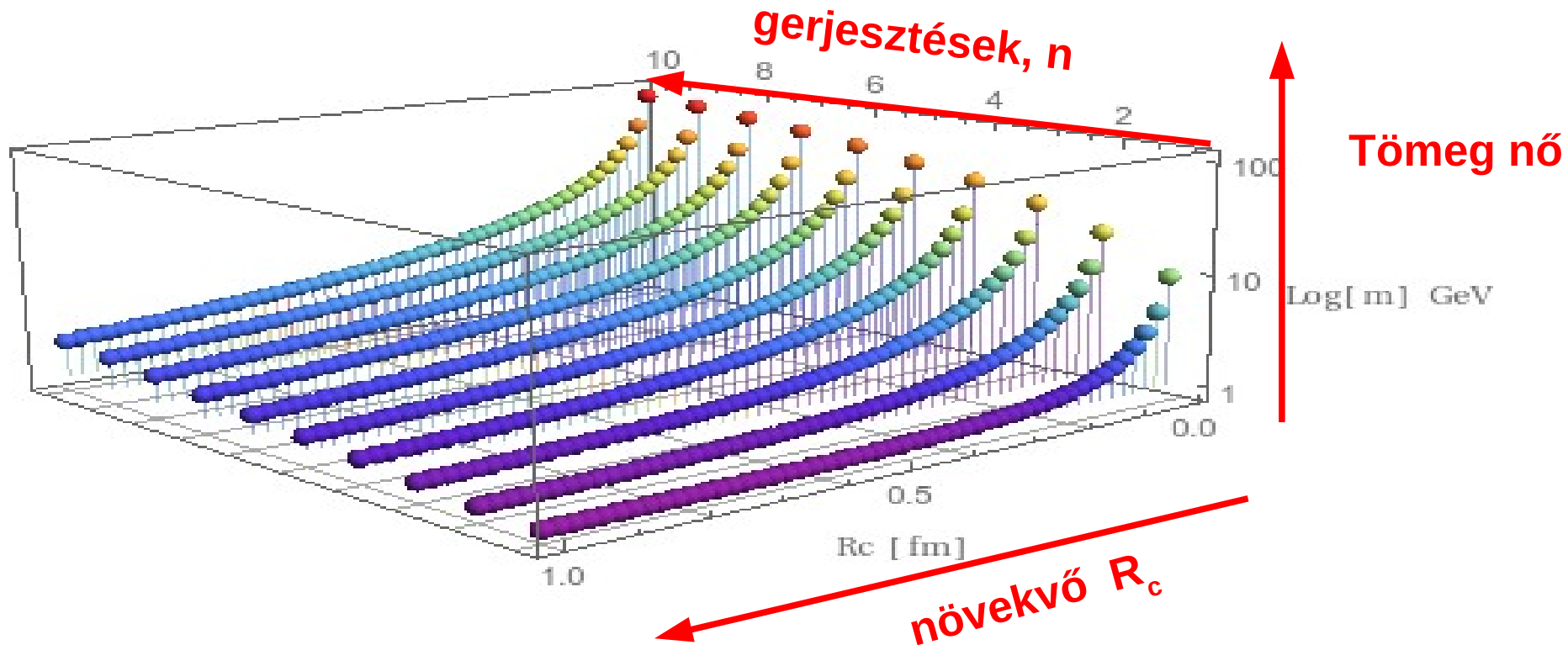
$$\bar{m}^2 = (n/R_c)^2 + m^2$$



Milyenek a KK szabadsági fokok méretfüggése (R_c)

→ Az extra dimenzió mérete (R_c) és a gerjesztések kapcsolata:

$$\bar{m}^2 = (n/R_c)^2 + m^2$$



Termodinamika 5 dimenzióban

- **1+3D két komponensű** Fermi gáz → **1+4D egy komponensű** Fermi gáz
- $(n^0, \Lambda) \rightarrow n^0$ és térszerű gerjesztések
- Gerjesztett állapotok a térítő geometriai szabadsági fokai
- Egyensúlyban: $\mu = \mu_n + \mu_{n_exc}$

$$\Omega_5 = -2 \frac{V_4}{\beta} \int \frac{d^4 k}{(4\pi)^4} \left[\ln \left(1 + e^{-\beta(\sqrt{k^2 + \bar{m}^2} - \mu)} \right) \left(+\mu \leftarrow \rightarrow -\mu \right) \right]$$



$$\left\{ \begin{array}{l} \bar{m}^2 = (n/R_C)^2 + m^2 \quad \text{excited mass} \\ \int_0^\infty d^4 k = \int_0^\infty d^3 k dk_5 \rightarrow \frac{1}{R_C} \sum_{i=\min(n)}^{\max(n)} \int_0^\infty d^3 k \quad \text{discretization} \\ V_5 = 2\pi R_C V_4 \quad \text{1+4D volume} \end{array} \right.$$

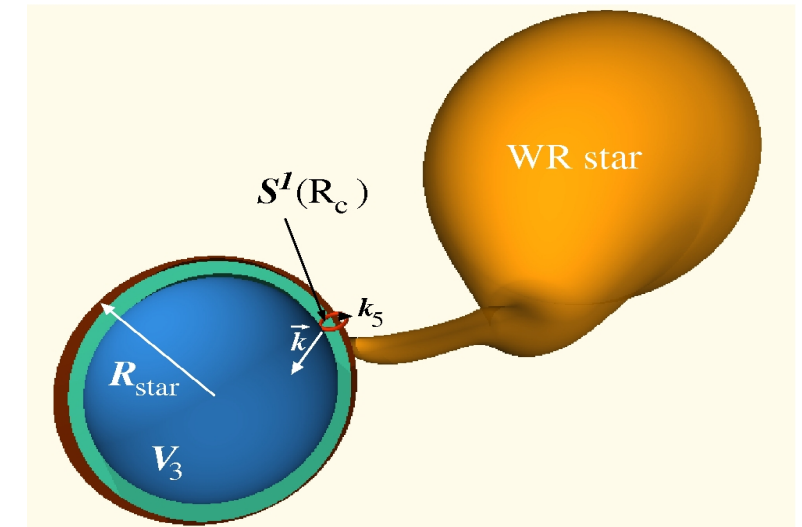
$$\Omega_5 = \sum_n \Omega_4 \left(m^2 + \frac{n^2}{R_C^2} \right) = \Omega_4(\bar{m})$$

Téridő szimmetriák – metrikus tenzor

- A szokásos Schwarzschild parametrizáció függvényei: $\lambda(r)$, $\nu(r)$, $\Phi(r)$
- A Killing szimmetriák alapján :

$$g_{ik} = \begin{pmatrix} g_{00} & g_{01} & 0 & 0 & g_{05} \\ g_{01} & g_{11} & 0 & 0 & g_{15} \\ 0 & 0 & g_{22} & 0 & 0 \\ 0 & 0 & 0 & g_{22} \sin^2 \vartheta & 0 \\ g_{05} & g_{15} & 0 & 0 & g_{55} \end{pmatrix}$$

- A további szimmetriákkal diagonálissá tehető:
 $g_{ik} = \text{diag} (e^{-2\nu}, -e^{2\lambda}, -r^2, -r^2 \sin^2 \theta, -e^{2\Phi})$
- Invariáns távolság (ívelemnégvzet):
 $ds^2 = e^{-2\nu} dt^2 - e^{2\lambda} dr^2 - r^2 d\Omega^2 - e^{2\Phi} d\chi^2$



Téridő szimmetriák – görbület mérései

- A feltételezett szimmetriák miatt a metrika:

$$g_{ik} = \text{diag} (e^{-2\nu}, -e^{2\lambda}, -r^2, -r^2 \sin^2 \theta, -e^{2\Phi})$$

- Riemann tenzor componensei:

$$\begin{aligned} \Gamma^2_{12} = \Gamma^2_{21} = \Gamma^3_{13} = \Gamma^3_{31} &= r^{-1}, \\ \Gamma^3_{23} = \Gamma^3_{32} &= \text{ctg } \vartheta, \\ \Gamma^5_{15} = \Gamma^5_{51} &= \Phi', \\ \Gamma^0_{10} = \Gamma^0_{01} &= \nu', \\ \Gamma^2_{33} &= -\sin \vartheta \cos \vartheta, \\ \Gamma^1_{00} &= e^{-2\lambda+2\nu} \nu', \\ \Gamma^1_{11} &= \lambda', \\ \Gamma^1_{22} &= -e^{-2\lambda} r, \\ \Gamma^1_{33} &= -e^{-2\lambda} r \sin^2 \vartheta, \\ \Gamma^1_{55} &= -e^{-2\lambda+2\Phi} \Phi', \end{aligned}$$



$$R_{ik} = \tilde{R}^l_{ilk} = \Gamma^l_{ik,l} - \Gamma^l_{il,k} + \Gamma^n_{ik} \Gamma^l_{nl} - \Gamma^n_{il} \Gamma^l_{nk},$$

$$R_{00} = e^{-2\lambda+2\nu} \left[-\nu'' - \nu'^2 + \nu' \lambda' - \nu' \Phi' - \frac{2\nu'}{r} \right]$$

$$R_{11} = \nu'' - \nu'^2 - \nu' \lambda' - \lambda' \Phi' + \Phi'^2 + \Phi'' - \frac{2\lambda'}{r}$$

$$R_{22} = e^{-2\lambda} (1 - r \lambda' + r \nu' + r \Phi') - 1$$

$$R_{33} = R_{22} \cdot \sin^2 \theta$$

$$R_{55} = e^{-2\lambda+2\nu} \left[\nu' \Phi' - \lambda' \Phi' + \Phi'' + \Phi'^2 + \frac{2\Phi'}{r} \right]$$

- Ricci skalár:

$$R = 2 e^{-2\lambda} \left[-\nu'' - \nu'^2 - \Phi'' - \Phi'^2 + \nu' \lambda' + \Phi' \lambda' - \nu' \Phi' + 2 \frac{\lambda' - \nu' - \Phi'}{r} - \frac{1}{r^2} \right] + \frac{2}{r^2}.$$

Einstein egyenlet 5D téridőben (szimmetriákkal)

$$R_{\mu\nu} - \frac{1}{2} R g_{\mu\nu} = -8\pi G T_{\mu\nu}$$

→ **Einstein egyenlet:**

$$-8\pi G \epsilon = e^{-2\lambda} \left[\Phi'' + \Phi'^2 - \lambda' \Phi' + \frac{2\Phi'}{r} - \frac{2\lambda'}{r} + \frac{1}{r^2} \right] - \frac{1}{r^2}$$

$$-8\pi G p = e^{-2\lambda} \left[v' \Phi' - \frac{2\Phi'}{r} - \frac{2v'}{r} - \frac{1}{r^2} \right] + \frac{1}{r^2}$$

$$-8\pi G p = e^{-2\lambda} \left[-v'' - v'^2 - v'\lambda' + \Phi'' - \Phi'^2 - v'\Phi' + \lambda'\Phi' - \frac{v'}{r} + \frac{\lambda'}{r} - \frac{\Phi'}{r} \right]$$

$$-8\pi G p_5 = e^{-2\lambda} \left[-v'' - v'^2 + v\lambda - \frac{2v'}{r} + \frac{2\lambda'}{r} - \frac{1}{r^2} \right] + \frac{1}{r^2}$$

• **Új változók: $p_5, \Phi(r)$**

Extra dimenziós kompakt csillag

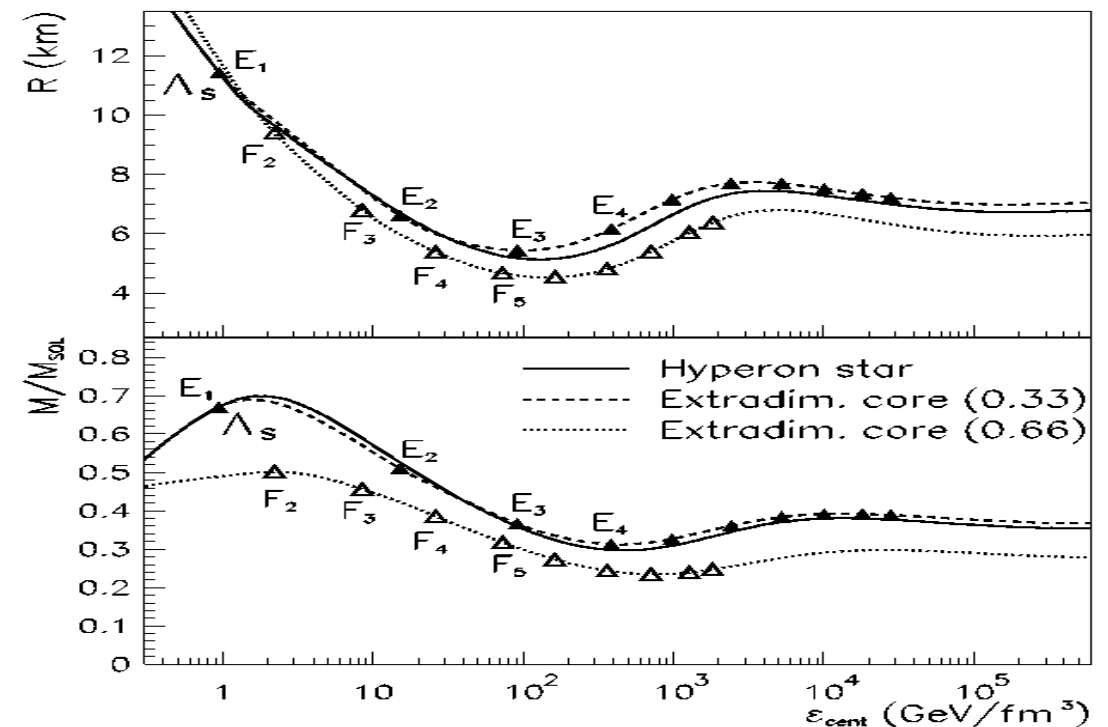
Kompakt csillag 1_C extra dimenzióval vs. hiperon csillag

Hiperon csillag (n^0, Λ^0, \dots)

$M(R)$ gerjesztett állapotokkal n^{th}

$R_C = 0.33 \text{ fm}$ (E_1, E_2, E_3, \dots)

– $R_C = 0.66 \text{ fm}$ (F_1, F_2, F_3, \dots)



GGB, B Lukács, P Lévai: [astro-ph/0312330](#); [astro-ph/0312332](#);
Asrton.Nachr. 328 (2007) 809

Legegyszerűbb eset: 5D, taszító kölcsönhatással

- bevezethető $u(n)$ *taszító potential*, ami a sűrűségtől függ: $u(n) \sim n$
- Lineáris közetítéssel: $u(n) = \xi n$ → Ennek hatása megjelenik az állapotjelzőkben \mathbf{p} , ϵ

$$\epsilon(\mu) = \epsilon_0[\mu - u(n)] + \epsilon_{\text{int}} \quad \leftarrow \quad \epsilon_{\text{int}} = \int_0^n u(n) dn = \int_0^n \xi n dn = \frac{1}{2} \xi n^2$$

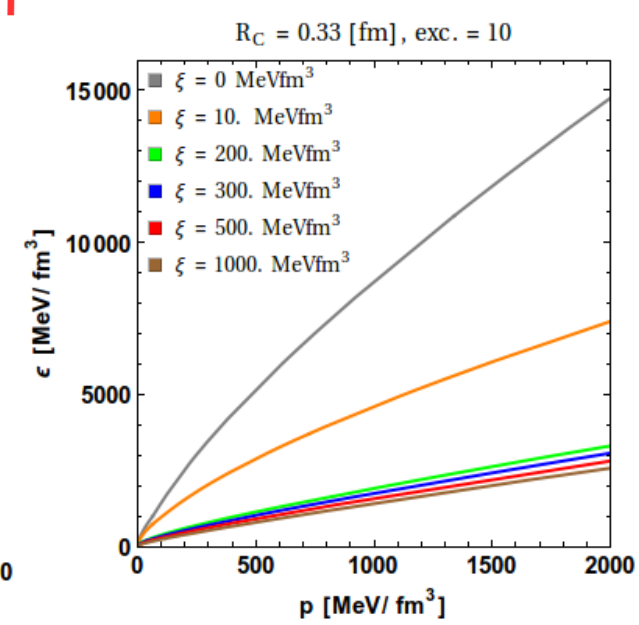
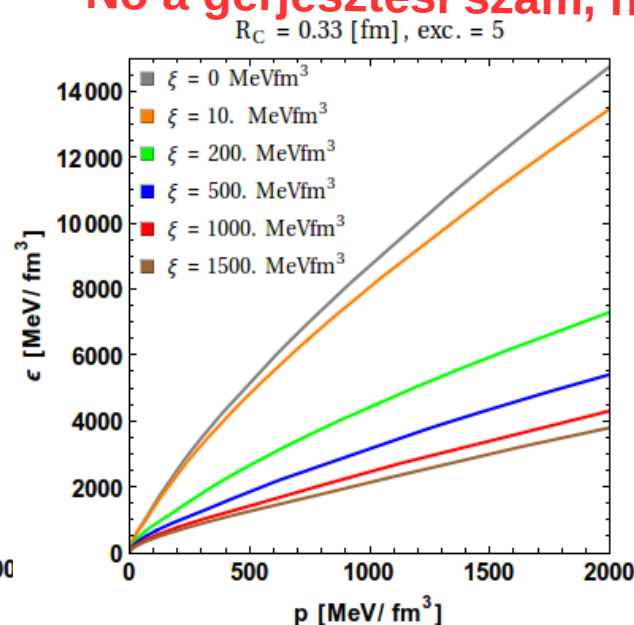
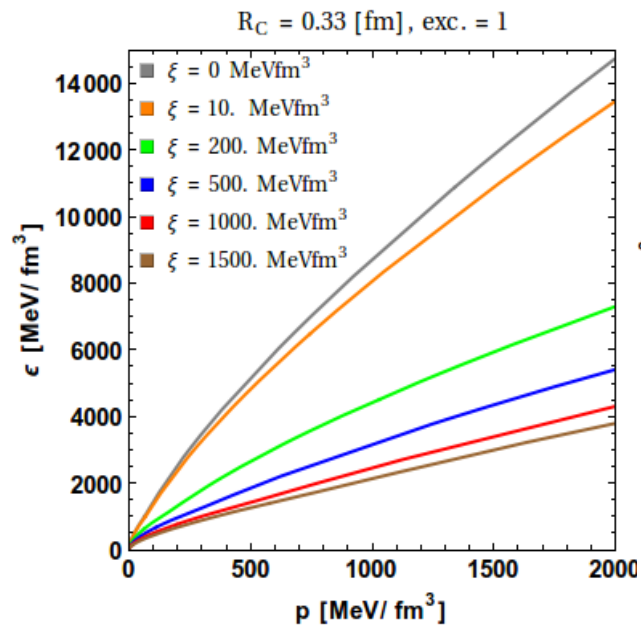
$$p(\mu) = p_0[\mu - u(n)] + p_{\text{int}} \quad \leftarrow \quad p_{\text{int}} = nu(n) - \int_0^n u(n) dn = n\xi n - \int_0^n \xi n dn = \xi n^2 - \frac{1}{2} \xi n^2 = \frac{1}{2} \xi n^2$$

$$n(\mu) = u_0[\mu - u(n)] = u_0[\mu_0]$$



Nő a gerjesztési szám, n

nagy ξ



Legegyszerűbb eset: 5D, taszító kölcsönhatással

- bevezethető $u(n)$ *taszító potential*, ami a sűrűségtől függ: $u(n) \sim n$
- Lineáris közetítéssel: $u(n) = \xi n$ → Ennek hatása megjelenik az állapotjelzőkben \mathbf{p} , ε

$$\varepsilon(\mu) = \varepsilon_0[\mu - u(n)] + \varepsilon_{\text{int}} \quad \varepsilon_{\text{int}} = \int_0^n u(n) dn = \int_0^n \xi n dn = \frac{1}{2} \xi n^2$$

$$p(\mu) = p_0[\mu - u(n)] + p_{\text{int}} \quad p_{\text{int}} = nu(n) - \int_0^n u(n) dn = n\xi n - \int_0^n \xi n dn = \xi n^2 - \frac{1}{2}\xi n^2 = \frac{1}{2}\xi n^2$$

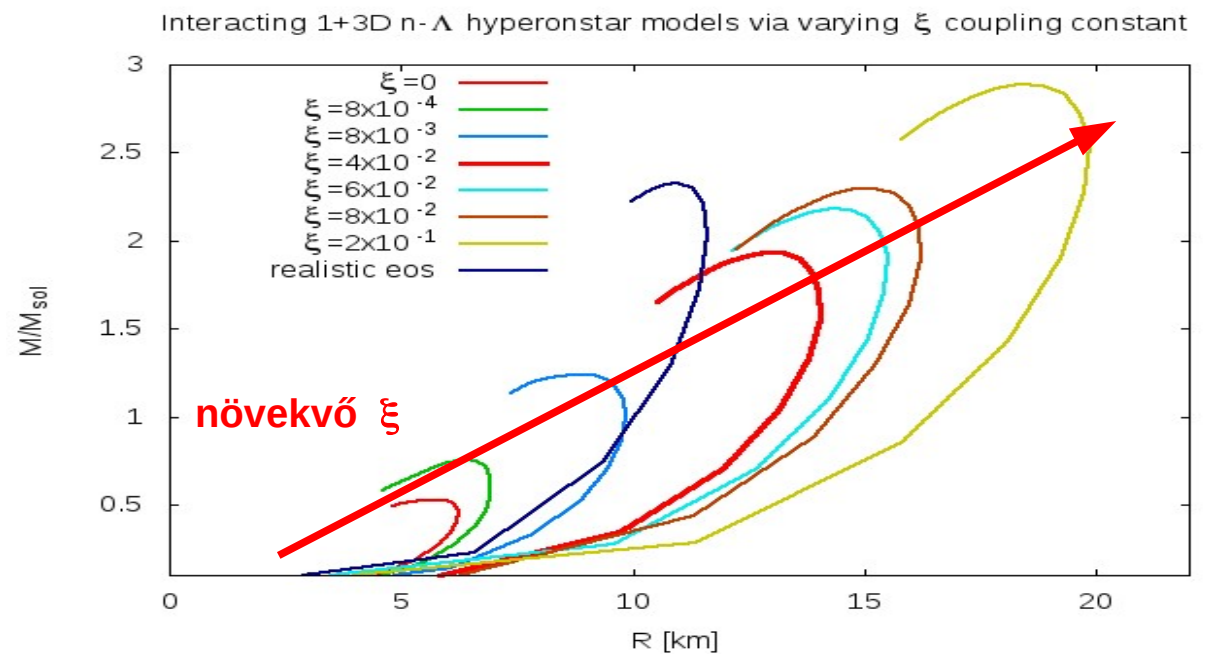
$$n(\mu) = u_0[\mu - u(n)] = u_0[\mu_0]$$

- Simán változik a paraméter: $10^{-4} < \xi < 10^{-1}$

- Ha nő a paraméter értéke ξ → nagyobb lesz az M_{max} és R_{max}

- Realisztikus csillagot kapunk

[Sz. Karsai, GGB, E. Forgács-Dajka: In prep]



Legegyszerűbb eset: 5D, taszító kölcsönhatással

- bevezethető $u(n)$ *taszító potential*, ami a sűrűségtől függ: $u(n) \sim n$
- Lineáris közetítéssel: $u(n) = \xi n$ → Ennek hatása megjelenik az állapotjelzőkben \mathbf{p} , ε

$$\varepsilon(\mu) = \varepsilon_0[\mu - u(n)] + \varepsilon_{\text{int}} \quad \leftarrow \quad \varepsilon_{\text{int}} = \int_0^n u(n) dn = \int_0^n \xi n dn = \frac{1}{2} \xi n^2$$

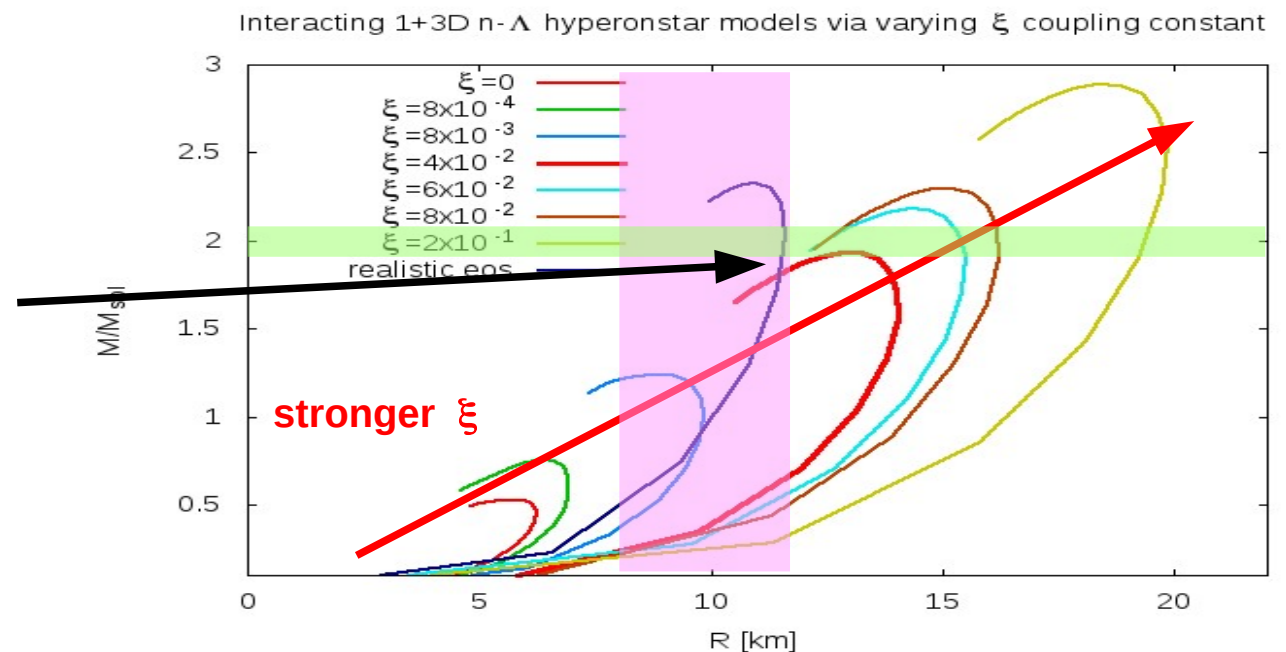
$$p(\mu) = p_0[\mu - u(n)] + p_{\text{int}} \quad \leftarrow \quad p_{\text{int}} = nu(n) - \int_0^n u(n) dn = n\xi n - \int_0^n \xi n dn = \xi n^2 - \frac{1}{2}\xi n^2 = \frac{1}{2}\xi n^2$$

$$n(\mu) = u_0[\mu - u(n)] = u_0[\mu_0]$$

- Simán változik a paraméter: $10^{-4} < \xi < 10^{-1}$

- Ha nő a paraméter értéke ξ → nagyobb lesz az M_{max} és R_{max}

- Realisztikus csillagot kapunk



[Sz. Karsai, GGB, E. Forgács-Dajka: In prep]

Legegyszerűbb eset: 5D, taszító kölcsönhatással

- bevezethető $u(n)$ *taszító potential*, ami a sűrűségtől függ: $u(n) \sim n$
- Lineáris közetítéssel: $u(n) = \xi n$ → Ennek hatása megjelenik az állapotjelzőkben \mathbf{p} , ε

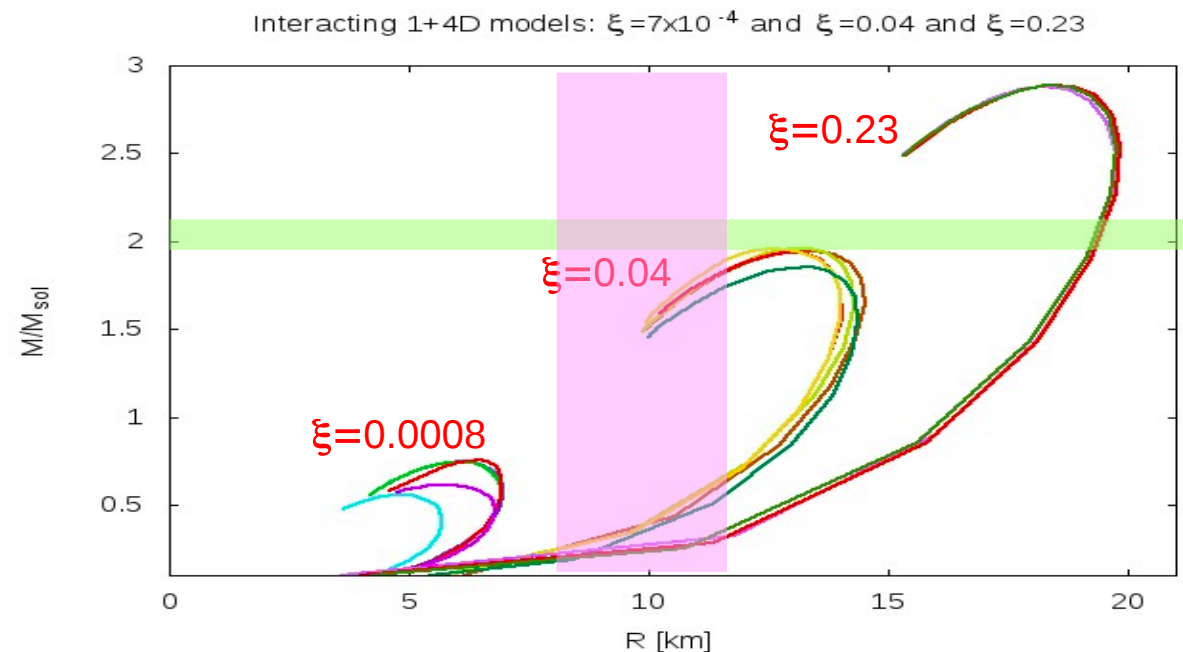
$$\varepsilon(\mu) = \varepsilon_0[\mu - u(n)] + \varepsilon_{\text{int}} \quad \leftarrow \quad \varepsilon_{\text{int}} = \int_0^n u(n) \, dn = \int_0^n \xi n \, dn = \frac{1}{2} \xi n^2$$

$$p(\mu) = p_0[\mu - u(n)] + p_{\text{int}} \quad \leftarrow \quad p_{\text{int}} = nu(n) - \int_0^n u(n) \, dn = n\xi n - \int_0^n \xi n \, dn = \xi n^2 - \frac{1}{2} \xi n^2 = \frac{1}{2} \xi n^2$$

$$n(\mu) = u_0[\mu - u(n)] = u_0[\mu_0]$$

- Simán változik a paraméter: $10^{-4} < \xi < 10^{-1}$
- Ha nő a paraméter értéke ξ → nagyobb lesz az M_{max} és R_{max}
- Realisztikus csillagot kapunk
- **Az R_c változtatása nem okoz jelentős változást**

[Sz. Karsai, GGB, E. Forgács-Dajka: In prep]



Mekkora paramétereket ad a Kaluza–Klein tériidő

- Kaluza–Klein csillag $1+3+1_c$ tériidőben

- Általánosított metrika:

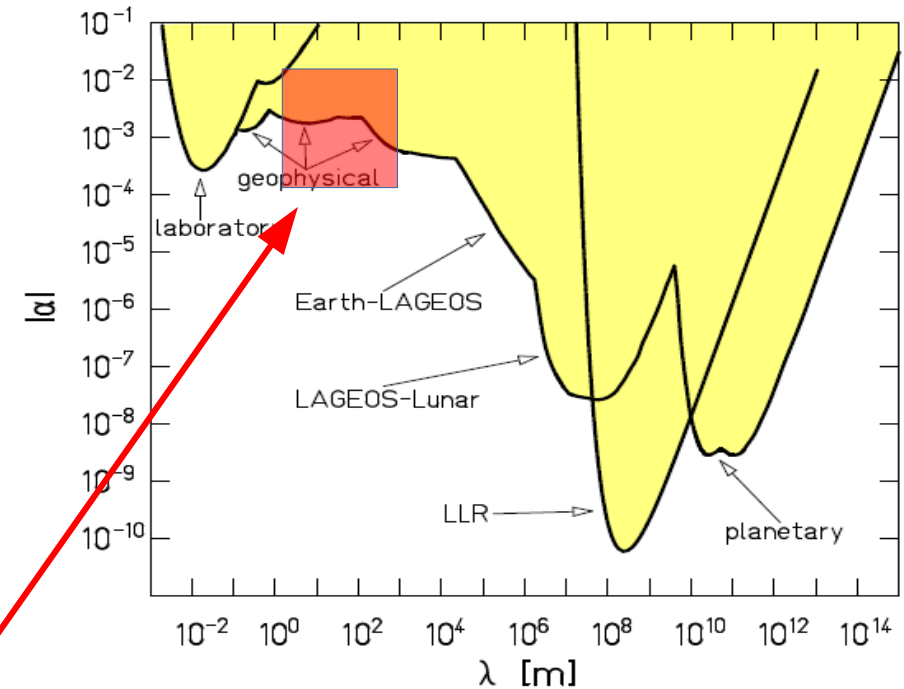
$$ds^2 = -\Phi^{2/3}(d\Psi + A_r dx^r)^2 + \Phi^{-1/3}g_{rs}dx^r dx^s$$

- Lagrange függvény (Brans–Dicke):

$$\mathcal{L} = R^{(5)} = R^{(4)} + \frac{\Phi}{4} F^{rs} F_{rs} + \frac{g^{rs}}{6} \cdot \frac{\Phi_{,r} \Phi_{,s}}{\Phi^2}$$

- Ennek a hatása \rightarrow GR potenciál korrekciója

$$V(r) = -G_\infty \frac{m_1 m_2}{r} \left(1 + \alpha \cdot e^{-r/\lambda} \right)$$



Egyszerű modellkísérlet alapján paraméterek a KK

Mit tanultunk?

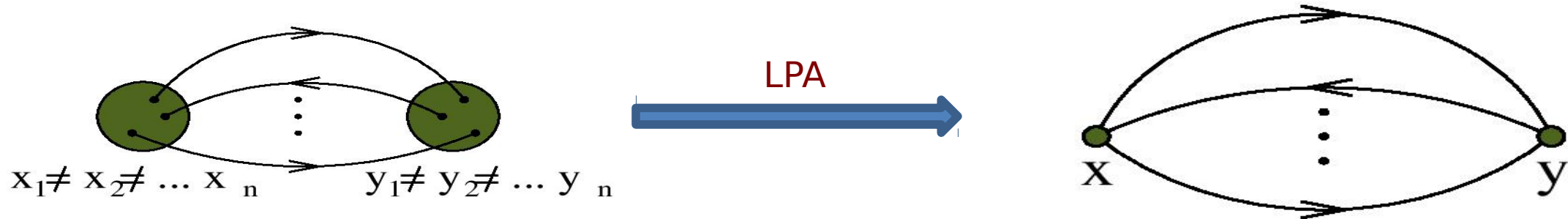
- **Kompakt csillag EoS FRG módszerrel**
 - Egy-fermion egy-bozon fermion gáz EoS, Yukawa csatolással
 - Mikroszkópikus szint (EoS, fázisok, kompresszibilitás): 10-25%
 - Makroszkópikus (asztrofizikai) szint (M,R,kompaktság): 5-10%
 - Mérésekkel majdnem ebben a tartományban: ~10% hiba
- **Kaluza-Klein csillagok vizsgálata**
 - Nem-Newtoni (NNi) gravitációelméletek tesztelése
 - Speciális esetben összekapcsolható a KK csillag és magfizikai EoS
 - Kölcsönhatással 2M csillag, nem zárják ki mérhető NNi paraméterek

BACKUP

Local Potential Approximation (LPA)

What does the ansatz exactly mean?

LPA is based on the assumption that the contribution of these two diagrams are close. (*momentum dependence of the vertices is suppressed*)



This implies the following ansatz for the effective action:

$$\Gamma_k [\psi] = \int d^4x \left[\frac{1}{2} \psi_i K_{k,ij} \psi_j + U_k (\psi) \right]$$

Interacting Fermi-gas at finite temperature

Ansatz for the effective action:

$$\Gamma_k[\varphi, \psi] = \int d^4x \left[\bar{\psi} (i\partial - g\varphi) \psi + \frac{1}{2} (\partial_\mu \varphi)^2 - U_k(\varphi) \right]$$



Wetterich -equation

$$\partial_k U_k = \frac{k^4}{12\pi^2} \left[\underbrace{\frac{1 + 2n_B(\omega_B)}{\omega_B}}_{\text{Bosonic part}} + 4 \underbrace{\frac{-1 + n_F(\omega_F - \mu) + n_F(\omega_F + \mu)}{\omega_F}}_{\text{Fermionic part}} \right]$$

Bosonic part

Fermionic part

$$U_\Lambda(\varphi) = \frac{m_0^2}{2} \varphi^2 + \frac{\lambda_0}{24} \varphi^4$$

$$\omega_F^2 = k^2 + g^2 \varphi^2$$

$$\omega_B^2 = k^2 + \partial_\varphi^2 U$$

$$n_{B/F}(\omega) = \frac{1}{1 \mp e^{-\beta\omega}}$$

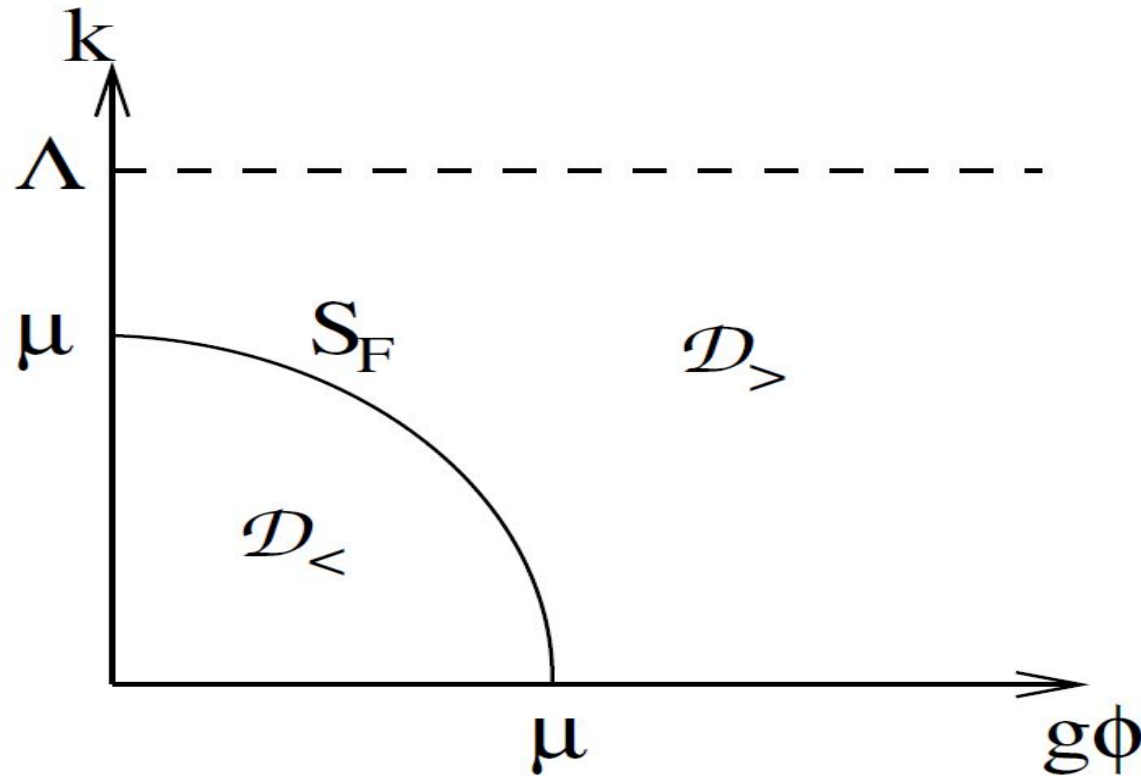
Interacting Fermi-gas at zero temperature

$$T=0, \mu \neq 0$$



$$n_F(\omega) \rightarrow \Theta(-\omega)$$

We have two equations for the two values of the step function each valid on different domain



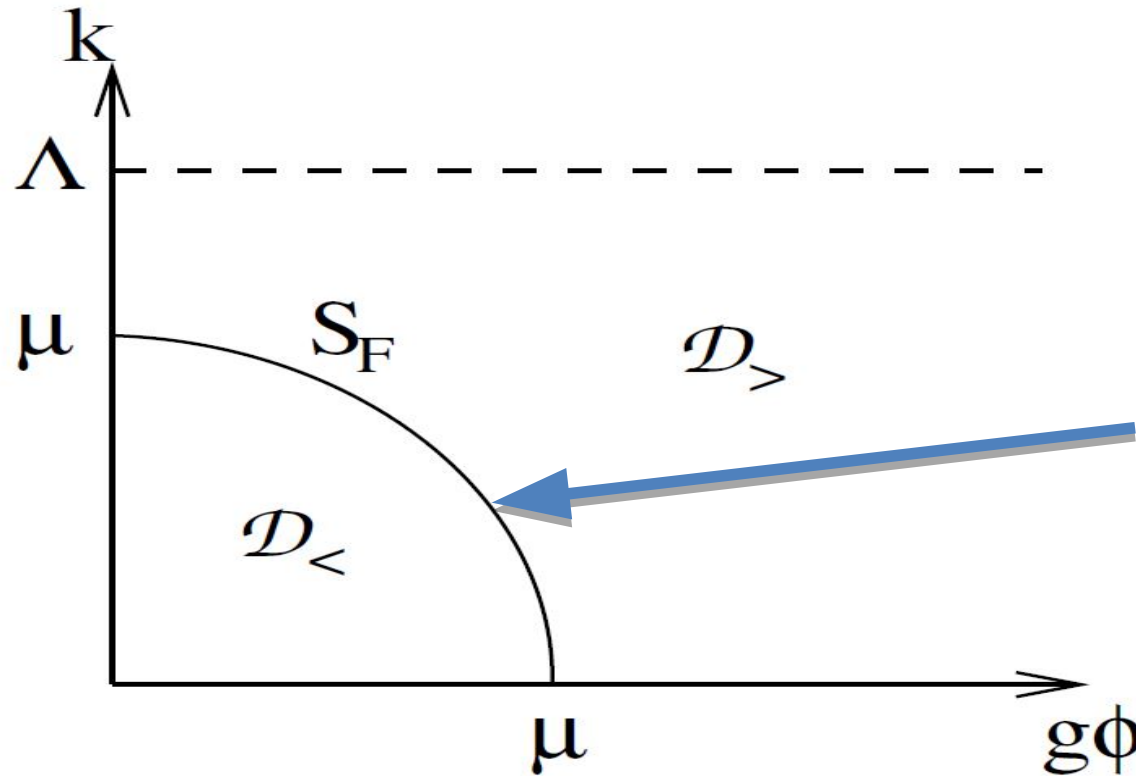
Interacting Fermi-gas at zero temperature

$$T=0, \mu \neq 0$$



$$n_F(\omega) \rightarrow \Theta(-\omega)$$

We have two equations for the two values of the step function each valid on different domain



$$k_F = \sqrt{\mu^2 - g^2 \varphi^2},$$

Fermi-surface

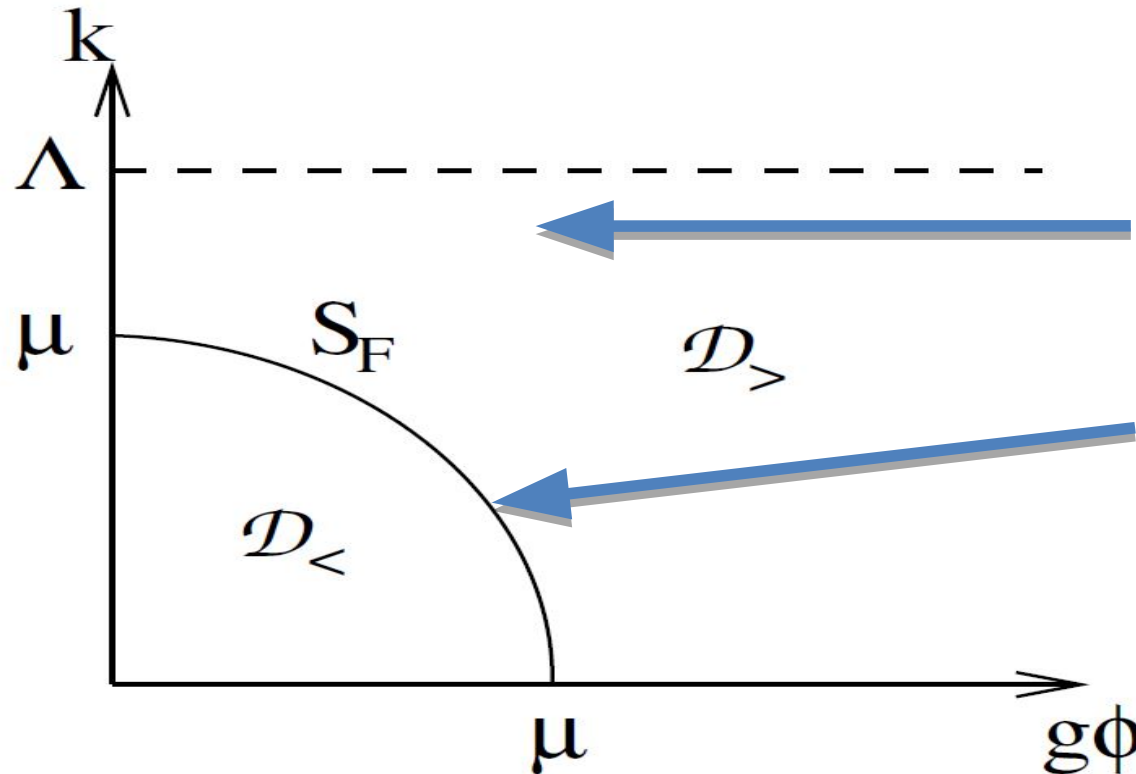
Interacting Fermi-gas at zero temperature

$T=0, \mu \neq 0$



$$n_F(\omega) \rightarrow \Theta(-\omega)$$

We have two equations for the two values of the step function each valid on different domain



$$\partial_k U_k = \frac{k^4}{12\pi^2} \left[\frac{1}{\omega_B} - \frac{4}{\omega_F} \right]$$

$$k_F = \sqrt{\mu^2 - g^2 \varphi^2},$$

Fermi-surface

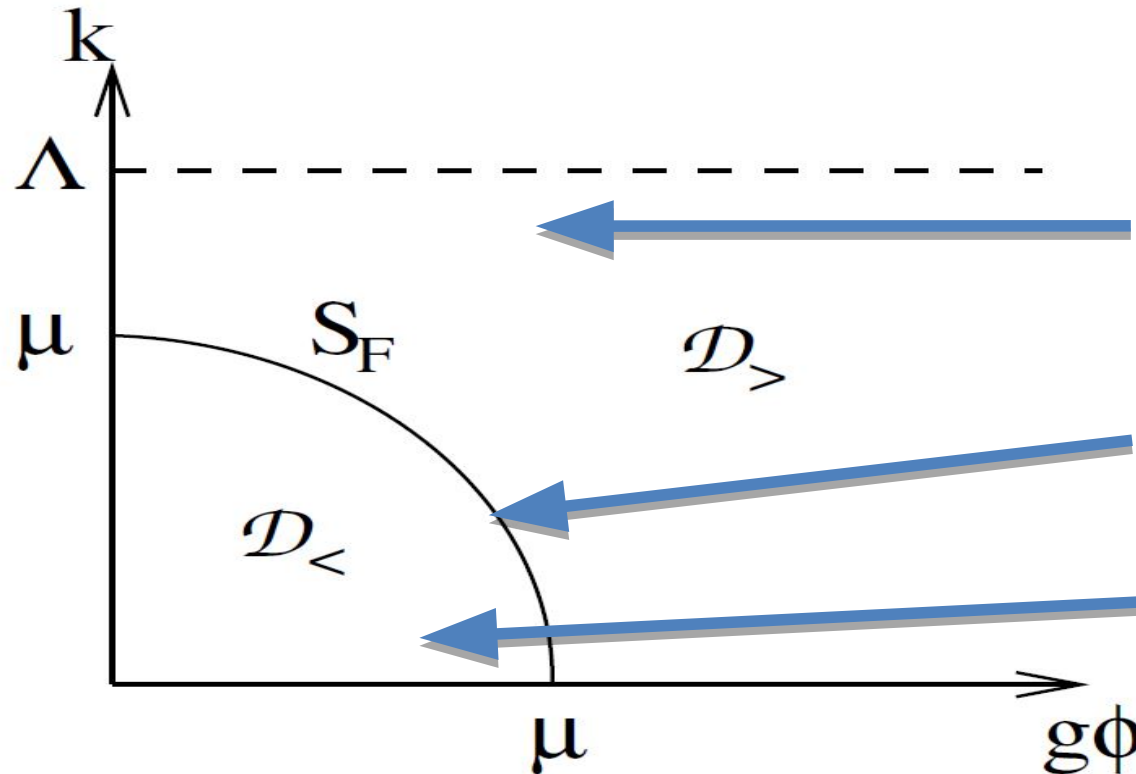
Interacting Fermi-gas at zero temperature

$T=0, \mu \neq 0$



$$n_F(\omega) \rightarrow \Theta(-\omega)$$

We have two equations for the two values of the step function each valid on different domain



$$\partial_k U_k = \frac{k^4}{12\pi^2} \left[\frac{1}{\omega_B} - \frac{4}{\omega_F} \right]$$

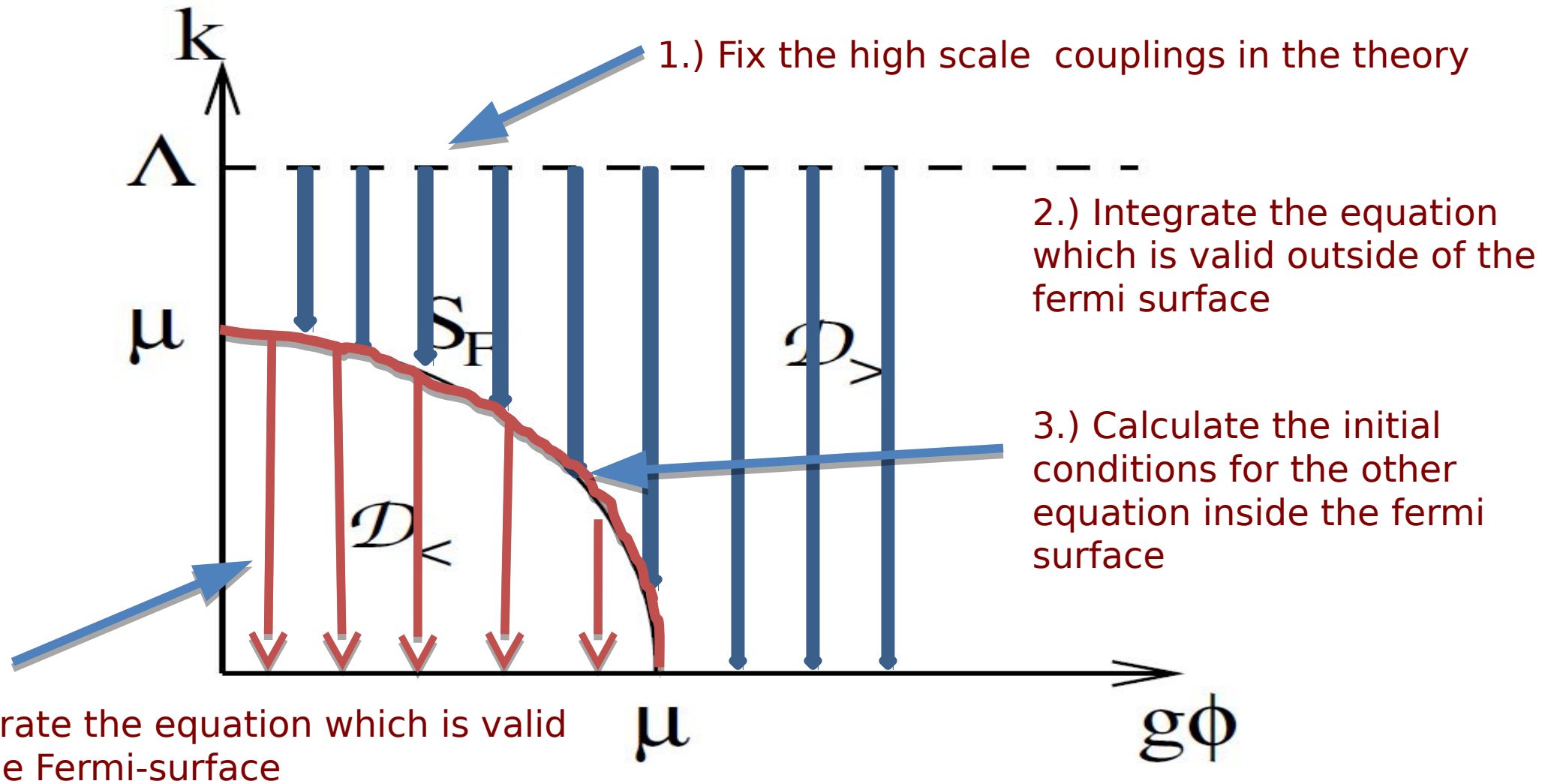
$$k_F = \sqrt{\mu^2 - g^2 \varphi^2},$$

$$\partial_k U_k = \frac{k^4}{12\pi^2} \frac{1}{\omega_B}$$

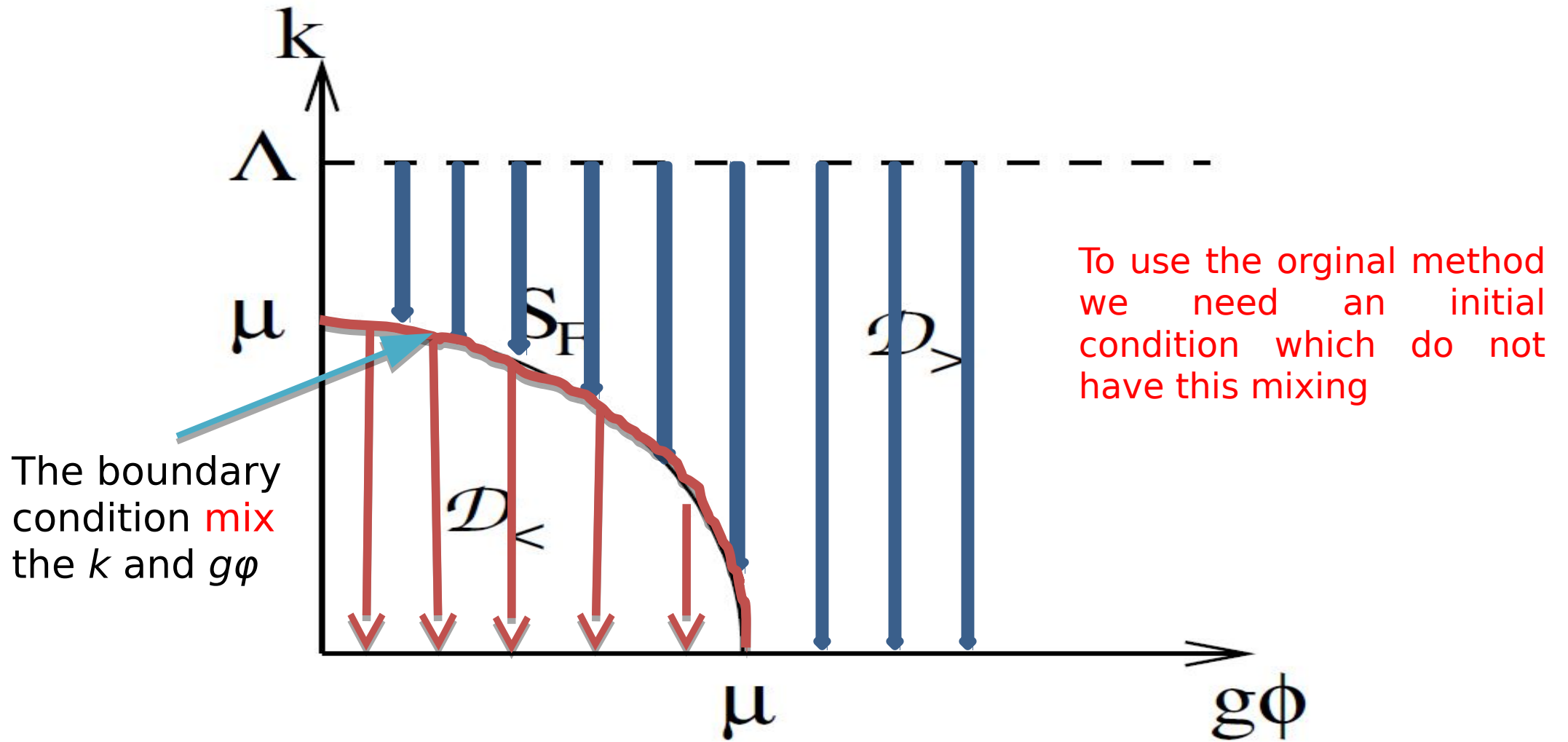
Fermi-surface

Fermionic vacuum fluctuations and thermodynamic fluctuations cancel

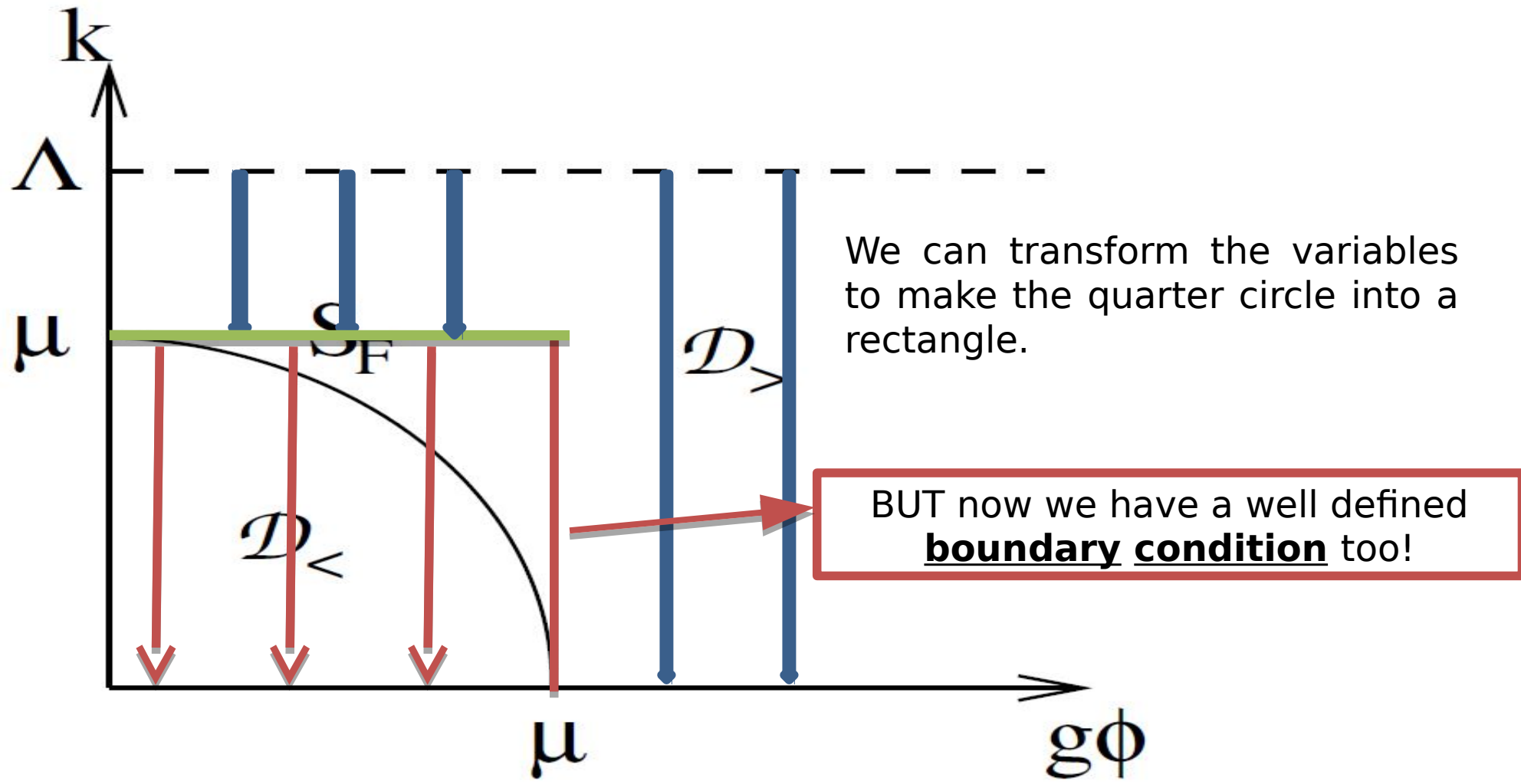
Integration of the Wetterich-equation



BUT...



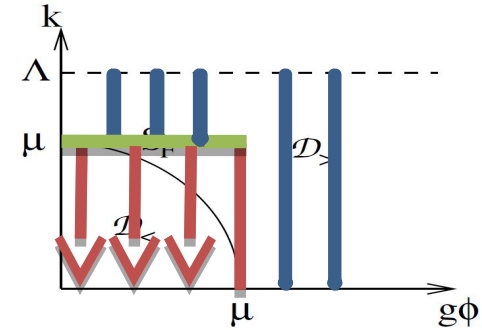
Solution: Need to transform the variables



Solution: Circle \rightarrow Rectangle transformation

- ▶ Coordinate transformation is required with: $(k, \varphi) \mapsto (x, y)$
 - mapping the Fermi-surface to rectangle
 - Keep the symmetries of the diff. eq.
 - Circle-rectangle transformation:

$$x = \varphi_F(k), \quad y = \frac{\varphi}{x}$$



- ▶ Transformation of the potential:

$$\tilde{U}(x, y) = V_0(x) + \tilde{u}(x, y)$$

with boundary condition at the Fermi-surface, V_0

- ▶ Transformed Wetterich-eq: $x\partial_x \tilde{u} = -xV_0' + y\partial_y \tilde{u} - \frac{g^2(kx)^3}{12\pi^2} \frac{1}{\sqrt{(kx)^2 + \partial_y^2 \tilde{u}}}$;
- ▶ and the new boundary conditions: $\tilde{u}(x = 0, y) = \tilde{u}(x, y = \pm 1) = 0$.

Solution of transformed Wetterich by an orthogonal system

- ▶ Solution is expanded in an orthogonal basis to accommodate the strict boundary condition in the transformed area

$$\tilde{u}(x, y) = \sum_{n=0}^{\infty} c_n(x) h_n(y) \quad h_n(1) = 0 \quad \int_0^1 dy h_n(y) h_m(y) = \delta_{nm}$$

- ▶ The square root in the Wetterich-equation is also expanded:

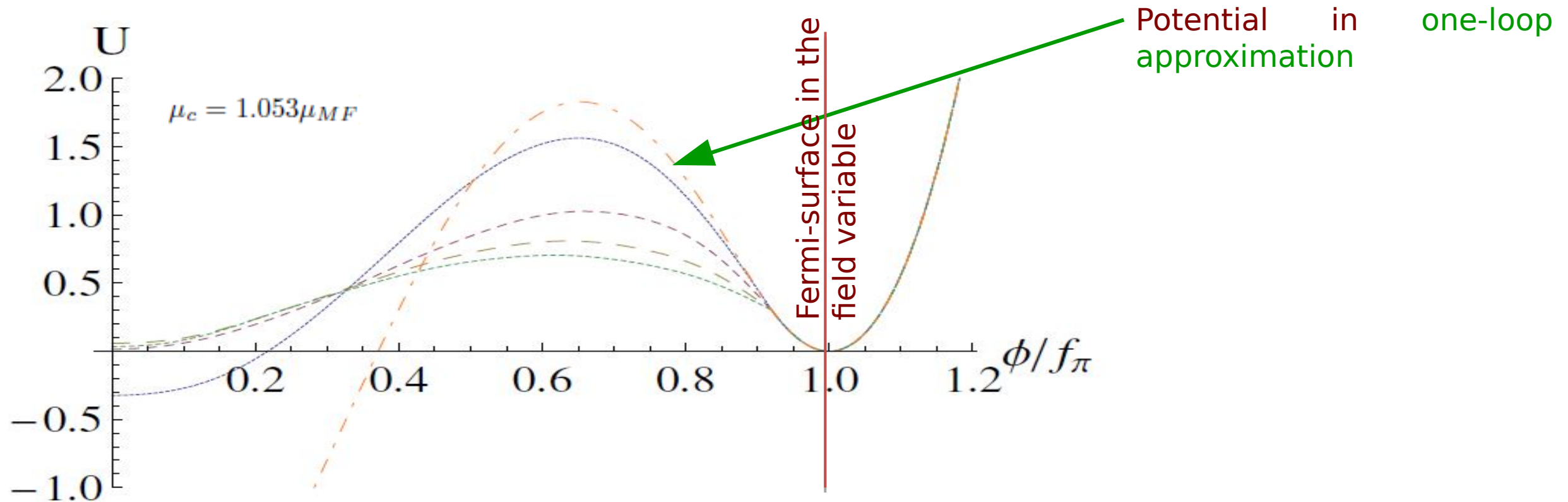
$$x c'_n(x) = \int_0^1 dy h_n(y) \left[-x V'_0 + y \partial_y \tilde{u} - \underbrace{\frac{g^2 (kx)^3}{12\pi^2} \sum_{p=0}^{\infty} \binom{-1/2}{p} \frac{(\partial_y^2 \tilde{u} - M^2)^p}{\omega^{2p+1}}}_{\text{Expanded square root}} \right]$$

Where: $\omega^2 = (kx)^2 + M^2$

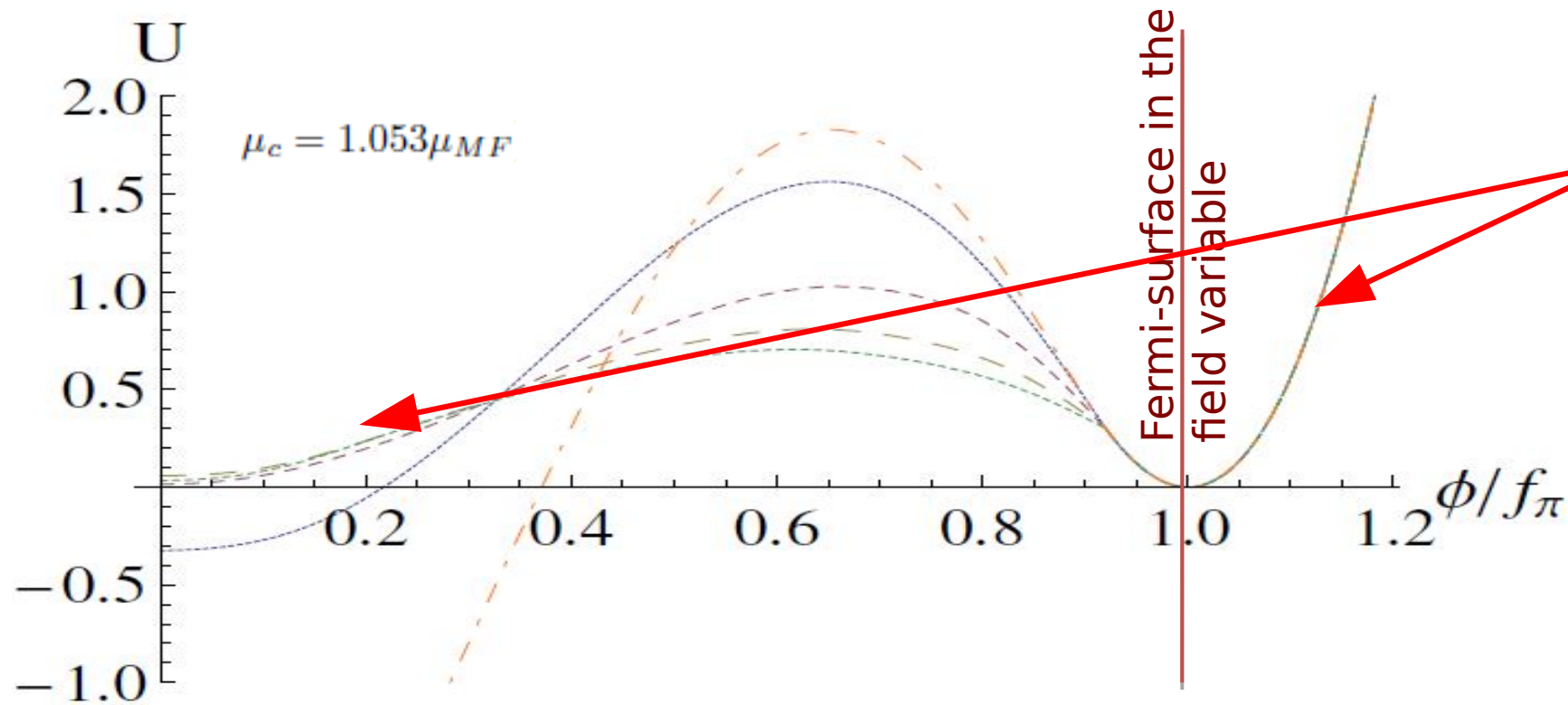
Expanded square root

We use harmonic base: $h_n(y) = \sqrt{2} \cos q_n y, \quad q_n = (2n + 1) \frac{\pi}{2}$

Result: The Effective Potential & Comparison



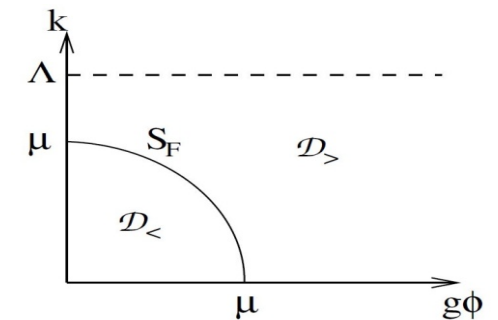
Result: The Effective Potential & Comparison



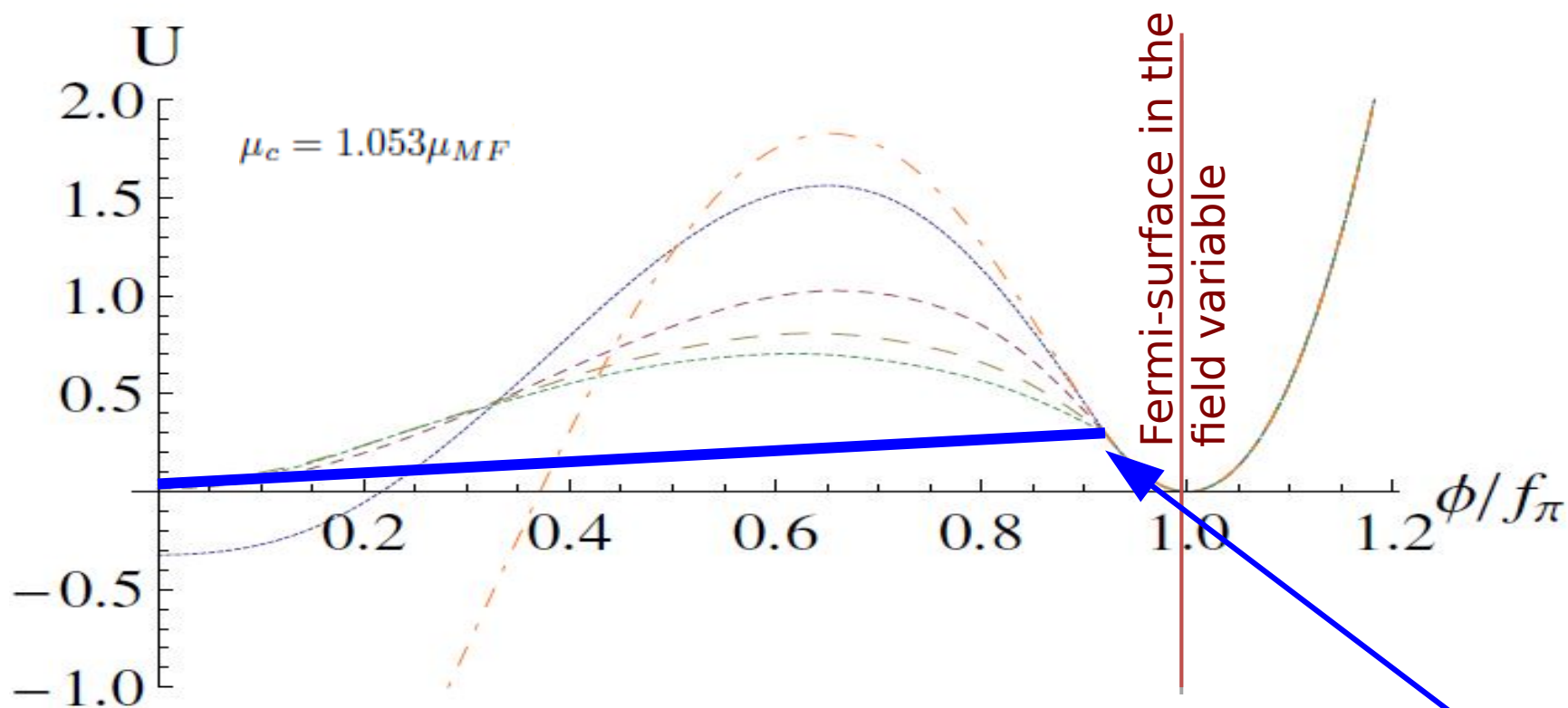
Potential in one-loop approximation

Higher orders of the Taylor-expansion for the square root converge fast where the potential is **convex** → **coarse grained action**

Solution changes only below Fermi-surface, since switch to another equation



Result: The Effective Potential & Comparison



Potential in one-loop approximation

Higher orders of the Taylor-expansion for the square root converge fast where the potential is **convex** → **coarse grained action**

In the **concave** part of the potential solution is slowly converges to a straight line, because the free energy (effective potential) must be convex from thermodynamical reasons → **Maxwell construction**